

He

I (He, Li⁺, Be⁺⁺) I 3667-B9 1929
B9 - 2258-IX

Hylleraas & a.

Naturwissenschaften 1929, 17, 982-3

"Ionization potentials of atom configurations with two 1 electrons."

10

✓@

c.a., 1930, 1285

I-3615

1930

He (I)

Kellner G.W.

Naturwissenschaften 1930, 18, 86

"Ionization potentials of
atom configurations with two electrons"

C.A., 1930, 2046

Bp - 57-X

1936

He

Wu-Ta-You

(A)

Phil. Mag. 1936,
22, 837-846

He I

1937.

Robinson H. D.

(3)

1397 - 54130-1

"Phys. Rev"

1937, 14-18.

He

BP-2872-III

1938

Eriksson H. A. S

(γ)

"Z. Physik", 1938, 109,
762-73.

He

BP-5427-II

1947

Bates D.R

"Proc. Roy. Irish. Acad"

(y,A,) 1947, st A, N12, 151-61

The Study of negative ions by...

He Bayet M. Michel Bayet 1951.

He₂ Compt rend Acad Sci 1951, 232, 7, 612
He₂ О действии гелия, способствующего
электрическое возбуждение резонансных
радио. Сигнал гелия.

Что He⁺, присутствует в ракете, или нет.
Что есть гелиевый ион образует ~~ион~~
~~гликационный~~ He⁺. Тригон узаре и Симониди
He, который в () свою очередь является
с гелиевыми галактиками между He₂.

He (I-1188) | BqP-1165-III | 1952

Bogaardt M.; et al.

(y)

"Physica", 1952, 18, 249-64.

1-1215

B9P-5388-III

1952

He, Ar, Xe (I)

Hanle W., Riede D.

Z.Physik, 1952, 133, 537-40.

Excitation and ionization functions
in the scattering of fast electrons.

Ch.A., 1953, 7309F



AP-1

10

He I

139-1151-III | 1953

Chandrasekhar S; et al.

(g)

"Phys. Rev"

1953, 91, N5, 1172-73.

I-1264

, BP II - 1085

I953

H, He, Li, Be, B, C, N, O, F, Ne, Na, Mg, Al, Si, P, S, Cl(A)

Skinner H.A., Pritchard H.O.

Trans. Faraday Soc., I953, 49, I254-62.

Measure of electronegativity.

Ch.A., I954, 7952c

HO



✓qp

T-1261

1953

He (I)

Sessler A.M., Foley H.M.

Phys. Rev., 1953, 92, 1321-2.

The relativistic correction to the
groundstate energy of helium.

Ch.A., 1954, 24691

7-1251

I /He, Ne, Ar, Kr, Xe, N₂, HCl, CO₂)

I953

Morrison J.D.

J.Chem.Phys.I953, 21, N 10, I767-I772
()

Studies of ionization efficiency.
Part III. The detection and interpretation
of fine structure.

PX, I955, 2055I

H0



9P V

He

Пок. В. А.

1954

Уф. АН СССР сер. физ., 1954, т XVIII

№ 161-174

OS Уравнения Шредингера для
атома генет.

He ($\tilde{\Gamma} - 1213$) J. F. Hart 1957

X

G. Herkberg

negative
electron
cocktail

" Phys. Rev.
1957, 106, N1, 49-82.

B99-3535a-X

T-1236

1957

He (I)

Kinoshita T.

Phys. Rev., 1957, 105, N 5, 1490-1502
(alpha)

Ground state of the helium atom.

PK, 1953, N 3, 6865

10



✓
P

He

Kb. leet.
percen

B97 - 5428-7

Pleuvinage D. 1957.

"J de Physique et Le
Radium."

1957, 18, 474-75.

He

(2)

B9P - 1270-7

Sucker ♀

1957

P-1010-1011.

1958

He

молек.
расчет

Gray B. F.,

J. Chem. Phys., 1958, 29, 272.

О приближенном расчете
сферических гармоник с различи-
еми порядками зеркал.

I-1327
He⁴
He³

(I)

I958

Herzberg G.

Proc. Roy. Soc., I958, A248, N I254, 309-332
(англ.)

Ионизационные потенциалы и смещения Лемба
в основных состояниях He и He⁴.

РЖХ, I959, № 7,
22172.

10

I-1270

1958

He (I)

Sucher J.

Phys. Rev., 1953, 109, N 3, 1010-1011
(amr.)

Energy levels of the two-electron atom
to order β ry, ionization energy of
helium.

PK, 1953, 72936

10



V

φ

T-1328

He⁴, He³ (I)

T-1308

1960

Herzberg G.

J. Opt. Soc. America, 1960, 50, N. 4, 404
(англ.)

Лейбовский сдвиг основных состояний He⁴
и He³.

РЖХИМ., 1961,
8Б44

10



9P✓

1960

H-

Ni

1Б49. О возбужденных связанных состояниях отрицательных атомных ионов. Holstein E. On excited bound states of negative atomic ions, «J. Chem. Phys.», 1960, 33, № 1, 310—311 (англ.).—На основании эмпир. экстраполяционной ф-лы оценены разности энергий между потенциалами возбуждения и ионизации отрицательных ионов H-, He-, Li-. Предсказаны стабильные отрицательные возбужденные ионы H- ($1s2p$, 3P), He- ($1s^22p$, 2P) Li- ($1s^22p^2$; 1D) и, возможно, He- ($1s^23p$, 2P). Е. Никитин

20.1961.1

He . I

21Б60. Энергетические уровни и спектры нейтрального атома $\text{He}({}^4\text{HeI})$. Martin William C.

Energy levels and spectrum of neutral helium (${}^4\text{HeI}$). «J. Res. Nat. Bur. Standards», 1960, A64, № 1, 19–28 (англ.).—Приведены таблицы энергетич. уровней He, длины волн линий в области 320–21 132 Å, их классификация и оценка относительных интенсивностей. Таблицы составлены на основе сопоставления и проверки наилучших опубликованных эксперим. данных. Длины волн более половины линий рассчитаны по разностям соответствующих энергетич. уровней (особенно в УФ-области). Обсуждены и сопоставлены с эксперим. данными теоретич. представления о схеме энергетич. уровней He^4 . Показано, что первый ионизационный потенциал He^4 , вычисленный как среднее по трем сериям $3d^3D$ и f^3F^0 ; $2p^3P^0_{1,2} - nd^3D$ и $2p^1P^0_1 - nd^1D_2$ и равный $198310,81 \text{ см}^{-1}$, хорошо согласуется с экспериментально измеренным значением $198310,82 \pm 0,15 \text{ см}^{-1}$.

Ю. Коровин

Х. 1961. 21

I - 1246

1961

K T

10B89. Энергетические уровни и спектр нейтрального атома гелия He^4 . I. Martin William C. Energy levels and spectrum of neutral helium (${}^4\text{He}$ I). «J. Res. Nat. Bur. Standards», 1960, A64, № 1, 19—28 (англ.).— Путем точных измерений получена таблица энергетич. уровней и длин волн спектральных линий нейтрального атома He^4 в области 320—21132 Å. Проведено сравнение полученных эксперим. результатов с теорией.

Ф.10B89.1961

Me

Riviere A.C.,

Sweetman D.R.

1960

Phys. Rev. Letters, 5, 560

Dicoocysteacys H_2^+ u He nog
geïntribueert metenrekenen
nooit.

(Cei. H_2^+) III

1(90)

He (расчет D₀)

1961

Brigman, G.H., Brient S.J., Matsen F.A.
J.Chem.phys., 1961, 34, N 3, 958-960
(англ.)

Взаимодействие триплетного и нормального атомов гелия.

РЖХим., 1961, 22Б51

to

7-1196

I96I

Kr, He,
Hg } (I)

Derman F.H., Morrison J.D.

J.Chem.Phys., I96I, 34, N 4, I407-I410 (AHM.)

Ionization potentials of multiply charged krypton, xenon and mercury.

PX, I962,
23661.

40

I96I

He

Erling Holoeien

Phys. Norvegica, I, 53

Investigation of quasistationary states of two-electron atomic systems with a special study of negative atomic ions.

1961

He

Hamka H. F.

агенции

J. Chem. Phys., 1961, 34, 884.

пара

Определение тесной взаимодействия
пара гидроуглеродов с молекулами гелия

2

He

1261

New emission continuum of helium in the vacuum ultra-violet region. Robert E. Huffman, W. W. Hunt, Jr., and Yoshio Tanaka (Air Force Cambridge Research Labs., Bedford, Mass.): *J. Opt. Soc. Am.* 51, 693(1961).—A condensed discharge was used at pressures of 150–800 mm. The new continuum extends from at least 1050 to beyond 4000 Å. Under the same conditions, the He mol. continuum also appeared in the region 600–900 Å. and the very much broadened, self-absorbed principal series of He I, beginning at 584.33 Å. An excited state of He_2^+ may be responsible for the continuum. George M. Murphy

C.A.1961-657.20
19463a

1962

H-
(He)

1 1S , 2 1S , and 2 3S states of H- and of He. C. L. Pekeris (Weizmann Inst., Rehovoth, Israel). *Phys. Rev.* 126, 1470-6 (1962). The ionization energy J , including mass-polarization and relativistic corrections, but not the Lamb shift correction, was evaluated for the 1 1S state of H- by using determinants up to order $n = 444$. $J(444) = 6083.0943 \text{ cm.}^{-1}$, and, by extrapolation, $J(\infty) = 6083.0958 \text{ cm.}^{-1}$. A search for bound states 2 1S and 2 3S of H- led to neg. results. In the case of He, an upper bound to the nonrelativistic energy eigenvalue ν for the 1 1S state was evaluated at $n = 1078$ to be $\nu_+ = 198,317.866 \text{ cm.}^{-1}$, as against the previously detd. lower bound of $\nu_- (1078) = 198,317.374 \text{ cm.}^{-1}$. For the 2 3S state this gap is already completely closed at $n = 715$, with $\nu_+ (715) = 38,453.1299 \text{ cm.}^{-1}$ and $\nu_- (715) = 38,453.1292 \text{ cm.}^{-1}$. At $n = 1078$, $J = 38,454.82-7375 \text{ cm.}^{-1}$, and the electron charge d. at the nucleus $D(0)$ is

C.A. 1963. SB-1
143h-144a

(All. Takence H-) III

-3.18414092, in agreement with previously extrapolated values. This substantiates a disagreement of the order of 1 part in 10⁵ between theory and expt. in the hyperfine structure of the 2 ³S state of He³ which was established by White *et al.* (CA 54, 52401a). With Suh and Zaidi's value for the Lamb shift of $-0.109 \pm 0.009 \text{ cm.}^{-1}$, the ionization energy of the 2 ³S state is $38,454.718 \pm 0.009 \text{ cm.}^{-1}$, as against Herzberg's exptl. value of $38,454.73 \pm 0.05 \text{ cm.}^{-1}$. For the 2 ¹S state $J(615) = 32,033.318 \text{ cm.}^{-1}$, which, with a Lamb shift of $-0.104 \pm 0.014 \text{ cm.}^{-1}$, evaluated by S. and Z., leads to an ionization energy of $32,033.214 \pm 0.014 \text{ cm.}^{-1}$. The exptl. value is, according to Herzberg, equal to $32,033.26 \pm 0.03 \text{ cm.}^{-1}$, or, at worst, $\pm 0.05 \text{ cm.}^{-1}$. A summary is given of the verification of the Lamb shift in 2-electron atoms.

CA

1962

27828) EXCITED S STATES OF HELIUM. C. L. Pekeris (Weizmann Inst., Rehovoth, Israel). Phys. Rev., 127: 509-11(July 15, 1962).

~~Ky. - see
pacer
as such
He~~
As part of a program aiming to determine all the observed term-values of two-electron atoms on the basis of the Schrödinger wave equation, the 1s ns levels of helium up to $n = 9$, in both the singlet and the triplet states were evaluated. The previous method, using perimetric coordinates, was extended to allow for the asymmetry between the 1s and the excited electrons. The mass polarization and relativistic corrections were also determined. The difference between the ionization energies $J(220)$, obtained by solving a determinant of order 220, and the experimental values, ranges from 3.6 cm^{-1} for 3^1S to 5.8 cm^{-1} for 9^1S , and from 0.5 cm^{-1} for 3^3S to 5.7 cm^{-1} for 9^3S . The extrapolated values indicate that with a faster computer than WEIZAC it should be feasible to determine all of the 31 observed 1s ns levels ($n \leq 17$) of helium to within the experimental accuracy. (auth)

NSA • 1962
16.90

I-1259

I962

He (I)

Salpeter E.E., Raidi M.H.

Phys. Rev., I962, 125, II I, 248-255
(anrl.)

Lamb shift excitation energy in
the ground state of the helium atom.

PX, I962,
I46I2

to

1962

He

Correlation function for the helium 1^1S state. O. C. Simpson and D. McColl (Argonne Natl. Lab., Lemont, Ill.). U.S. At. Energy Comm. TID-17152, 18 pp.(1962). Tables of values and graphs of the correlation function for the 1^1S state of the He atom are given for 2 different He 1^1S functions, and some comparison of Hartree-Fock and Hylleraas wave functions for the He ground state is made. From Nucl. Sci. Abstr. 17(17), Abstr. No. 29395(1963).

TCNG

c.A.1964.61.13
15527 gh

He I

B0P-4125-IV | 1963

Acerib R.

уровни
экспр.

"J. Opt. Soc. America; 1963,
53, N8, 918-23.

Empirical relations for...

T-3/91

1963

J(He, Ne, Ar, Kr, Xe)

Blanc Claudio, Blanc Daniel, Degeilh
André, Malcscot Claude.

Application de la spectrométrie
de masse à l'étude de l'ionisation
des gaz. "J.phys.et radium", 1962, 23,
n° 4, 219-222 (франц.; рус. ани.)

РХ., 1963, 5, 644

(HO)



Ergo ep.

1963

He⁴

14 Д75. Трехатомное связанное состояние He^4 .
 Blatt J. M., Lyness J. N., Larsen Sigurd Yves. Three-body bound state in He^4 . «Phys. Rev.», 1963, 131, № 5, 2131—2132 (англ.)

Приведены результаты численных вычислений энергии связи систем двух- и трехатомного He^4 . Вычисления проведены для нескольких потенциалов парного взаимодействия между атомами (потенциал 6—12 Леннард-Джонса, модель твердых шаров с потенц. ямой и др.) и для различных значений параметров потенциалов. В ряде вариантов расчетов с достаточно малым диаметром твердого шара (доли Å) связанное состояние He^4 имеется и тогда, когда энергия связи He_2^4 равна нулю. Однако при более правдоподобном значении диаметра потенциала отталкивания (~ 2 Å) существует корреляция связанных состояний He_2^4 и He_3^4 , выражаяющаяся в том, что последние реализуются или исчезают примерно при одних и тех же значениях параметров потенциала. Воп-

90.1964.ЧД

см. реф.

рос о существовании связанного состояния He_3^4 имеет прямое отношение к вычислению третьего вириального коэф. He^4 . Имеющиеся теоретич. и эксперим. исследования взаимодействия атомов He^4 при низких т-рах не дают однозначного ответа даже на вопрос о существовании связанного состояния He_2^4 . Проведенные расчеты могли бы быть особенно полезными в сочетании с эксперим. данными о 2- и 3-вириальных коэф. He^4 при т-рах 1—20° К. Требуемая для этого точность измерений составляет, соответственно, 1 и 20% для 2-го и 3-го гириальных коэффициентов.

Н. Кузнецов

1963

9 Д14. Расчет автоионизационных уровней Не. Вигк
ке Р. Г., McVicar D. D. Smith K. Calculation of
autoionization levels in He. «Phys. Rev. Letters», 1963, 11,
№ 12, 559—561 (англ.)

Проведен расчет ширины и положения некоторых
автоионизационных уровней Не. Для этого рассчитано
рассеяние $e - \text{He}^+$. В расчете использовано разложение
полной волн. ф-ции системы по атомным волн. ф-циям,
предложенное в предыдущей работе (РЖФиз, 1962,
11B31). Используемое разложение имеет следующие пре-
имущества: 1) виртуальные переходы в $2s$ - и $2p$ -со-
стояния трактуются как точные, переходами в высшие
состояния пренебрегается и 2) перемешивание дискрет-
ных уровней и континуума получается из начальных ус-
ловий, а не вследствие возмущений, фазовые сдвиги вы-
числены методом итераций на электронной счетной
машине.

Ю. Беляев

Ф. 1964. 97

1963

K_c

Considine J. P., Bauman R. P.

Li⁺

J. Chem. Phys., 1963, 38, 1278 (v 6)

O⁺⁶

Screening parameters for two-,

Nc⁺⁸

three-, and four-electron sys-

tems.

symmetric
systems

Fun

He

B ϕ -5624-III

1963

Crosley R.J.S.

Coulson C.A.

Proc. Pfys. Soc., 1963, vol.81, pp2II-2I8

1903

He Davis K. L.

K6.-нез. J. Chem. Phys., 1963, 39, 1183 (N:5)

пред
Компьютерная конвергентная
расчет с 2^{35}S -составом
иерархии. II.

He

кв. мех.

расчеты
атомов.

6 Д56. Радиальный предел в методе наложения конфигураций для изоэлектронного ряда гелия 1^1S . Davis H. L. Radial limit in the configuration-interaction method for the 1^1S state of the helium isoelectronic sequence. «J. Chem. Phys.», 1963, 39, № 7, 1827—1832 (англ.)

Методом наложения конфигураций вычислена энергия основных состояний всех членов изоэлектронного ряда гелия от отрицат. иона водорода до двухэлектронного иона кальция. Пробные волн. ф-ции строились с помощью базисов, включающих разное число радиальных ф-ций от 21 до 66. Приведена таблица значений энергии основных состояний двухэлектронных систем ($1 < Z < 20$), вычисленных с помощью 21, 28, 36, 45, 55 и 66-конфигурационных ф-ций, и эффективных зарядов, соответствующих миним. значениям энергии для заданных базисов. Там же даны предельные значения энергии, которые могут быть получены при рассмотрении конфигураций, включающих только члены с $l=0$. Представлена таблица коэф. разложения для 66-конфигурационных волн. ф-ций, отвечающих следующим членам изоэлектронного ряда гелия: $Z=1, 2, 3, 5, 10$ и 20 . Предельное значение энергии для гелия хорошо согласуется с результатами других расчетов.

А. Иванова

Ф. 1964. 68

He (Te)

XI 1632

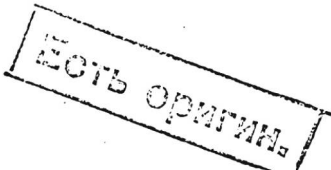
1963

Dewar M. J. S., Chung Q. L. H.,
J. Chem. Phys., 1963, 39, N7,
1741-47

SPO - (split-p-orbital) method IV
Calculations for the $(2p)^2$ state
of helium

40

ppp64



1963.

He-

Ellison F.O., Hufn N.T.

J. Chem. Phys., 1953, 39, 2051
(n.s.)

Use of rescaled eigenfunctions
as variational wavefunction in
calculations on atoms and ions.

1963

195

He, Li⁺, Be⁺⁺,
B⁺⁺⁺, O⁶⁺,
Ne⁸⁺, Mg¹⁰⁺

Hart J.F., Herzberg G.,
Z. Physik, 171, 83

Диаграмма наименований спутников и
нейтральных атомов ^{23}S атома He и
изоморфных им

Этот отпечаток № 195



☒

He

Kaefman et al., 1963

Astrophys. J.

$\bar{A}e$ (He⁻) 137, NY, 1296

(Cee. H) III

1963

He
Ar
H
C₂H₄

(checkup)

Electron-impact spectroscopy. Aron Kuppermann and L. M. Raff (Univ. of Illinois, Urbana). *Discussions Faraday Soc.* 1963(35), 30-42. A spectrometer has been devised for detg. electronic energy levels of mols. by inelastic scattering of low-energy electrons (25-75 e.v.). It permits the detection of optically forbidden electronic transitions as clearly as optically allowed ones in a routine manner. The spectrometer was used to obtain excitation spectra for He, Ar, H, and ethylene. For the first 3 of these substances, the spectra agree with previous expts. For ethylene, in addn. to optically allowed transitions, 2 forbidden ones occur at about 4.6 and 6.5 e.v. Variation of peak heights with incident electron beam energy suggest that the 1st corresponds to a triplet state but that the 2nd does not.

S. E. Whitcomb

C.A. 1964. 60. 4
3629 ab

1963

He

О 13 Б1. Решение задачи двух электронов в квантовой механике путем прямого определения натуральных орбиталей. II. Приложение к основным состояниям гелия и изоэлектронных ионов. Kutzelnigg Wergeland. Résolution du problème à deux électrons en mécanique quantique par détermination directe des orbitales naturelles. II. Application aux états fondamentaux de l'hélium et des ions isoélectroniques. «Theoret chim. acta», 1963, 1, № 4, 343—352 (франц.; рез. нем., англ.)

Методом разложения по полной системе функций Лягера получено приближенное решение интегро-дифференциального уравнения для натуральных одноэлектронных функций в изоэлектронном ряду гелия. Полученный ряд по натуральным орбиталям хорошо сходится: существенный вклад в энергию вносят только состояния с главными квантовыми числами менее 4. В результате расчета удалось учесть 95% энергии корреляции. Исследована роль различных слагаемых в энергии корреляции. Дано приближенное представление корреляционного потенциала. Сообщение 1 см. РЖХим, 1965, 6Б17.

Т. Ребане

x·1965·13

He

1963

alpha by
cos.

Ground state of atomic helium. Wilbur Lakin. U.S. At.
Energy Comm. NYO-10430, 14 pp.(1963). Math. From
Nucl. Sci. Abstr. 17(24), Abstr. No. 41556(1963). TCNG

C. I. 1964 CONB 15162 e.

1963

X1 - 2011

New autoionizing atomic energy levels in He, Ne, and Ar.
 R. P. Madden and K. Codling (Natl. Bur. of Stds., Washington,
 D.C.). *Phys. Rev. Letters* 10, 516-18(1963). A 180-m.e.v.
 electron synchrotron was used as a continuum light source for
 absorption spectroscopy, 180-470 Å. Autoionizing states
 caused by 2-electron transitions were found in He, Ne, and Ar.
 Such autoionization can take place when neutral atoms are ex-
 cited to energy levels above their 1st ionization limit. The life-
 time of the discrete level is detd. by the strength of the interaction
 of these states with the continuum states, resulting in an inter-
 ference imparting an unusual shape to the absorption band near
 the discrete level. In Ar at 0.3 mm. with absorption path
 length ~ 83 cm. there are discrete windows in the absorption
 continuum. This region of the spectrum lies 35-40 e.v. above
 the 1st ionization limit of 24.58 e.v. for He. The absorption in
 He is enhanced on the low-frequency side and reduced on the
 high-frequency side. The breadths of the anomalies decrease
 with progression to the higher series members. The intensity
 distribution in these anomalies is in qual. agreement with theo-
 retical predictions. Autoionized lines in Ne were observed in the
 250-280-Å. range, the 1st ionization potential of Ne being 21.56
 e.v., at 0.1 mm. pressure and 95 cm. absorption path. Some
 autoionized lines were found with Ar at 420-470 Å. (1st ioniza-
 tion potential 15.76 e.v.) at 0.01 mm. pressure and for a 105-cm.
 absorption path length.

Manfred Mannheimer

He, Ne, Ar
 when due
 (88) 200

C.A. 1963

59 · 8

8250 de

He

Ne

Ar

ЗД148. Новые автоионизационные атомные энергетические уровни He, Ne и Ar. Madden R. P., Coding K. New autoionizing atomic energy levels in He, Ne, and Ar. «Phys. Rev. Letters», 1963, 10, № 12, 516—518. (англ.)

1963

На синхротроне до 180 МэВ Национального бюро стандартов (США), используемом в качестве источника сплошного спектра в измерениях поглощения в области 180—470 Å, наблюдались двухэлектронные переходы до автоионизационных состояний в атомах He, Ne и Ar. Вакуумный спектрограф с решеткой (600 штрихов/мм) обеспечивал в области 200 Å дисперсию $\sim 1 \text{ Å/mm}$ при разрешающей способности $<0,1 \text{ Å}$. Спектры в далекой УФ-области (для He 180—210 Å, для Ne 250—280 Å, для Ar 425—465 Å) характеризуются наложением дискретной структуры на непрерывное поглощение, связанное с фотоионизацией. Приведены фотографии и денситометрический график спектров поглощения. Наблюденные линии приписаны переходам $1s^2 ^1S_0 - 2s2p ^1P_1$ (для первой линии серии He), $2s^2 2p^6 ^1S_0 - 2s2p^6 np^1 P_1$ (Ne) и $3s^2 3p^6 ^1S_0 - 3s3p^6 np^1 P_1$ (Ar). Показано, что появление этих серий следует ожидать и теоретически. Библ. 15 назв.

А. Шекленн

об. 1964. 35

2011

X/1

He (Te)

x¹ 2034

1963

Meath W.J., Sando K.M.,
Goscinski S.O., Hirschfelder J.O.,
J. Chem. Phys., 1963, 39, N10,

2429.34

Truncated reaction operators

p9064

20

1963

He

Perkins J. F.

J. Chem. Phys., 1963, 39, n^o 3, 68%

Строение молекул S-состав
могут быть определены
аналогично методу бре-
зентерова метода.

(сост. Be⁺⁺)

phi 1964. 68

1963

He

The correlation energies of excited states of the helium sequence. R. Perrin and A. L. Stewart (Queen's Univ., Belfast, Ire.). *Proc. Phys. Soc. (London)* 81, 28-34(1963). The method of superposition of configurations was used to det. the contributions from radial and angular correlation to the 2nd-order term in the expansion of the energies of excited states of the 2-electron systems in inverse powers of the nuclear charge. Comparison with the similar calcn. carried out by Sharma and Coulson in 1962 by using an expansion in terms of Hylleraas coordinates shows that the superiority of the method of incomplete sepn. of variables over the method of superposition of configurations is not so pronounced as for the ground state. The contributions to the 2nd-order energy of the $1s2s^1S$, $1s2s^3S$, $1s2p^1P$, and $1s2p^3P$ states from correlation are -0.0180, -0.0041, -0.0068, and -0.0069 rydberg, resp., compared with the Hartree-Fock contributions -0.2068, -0.0906, -0.2931, and -0.1358 rydberg, resp. 3rd-order terms were also calcd.

CA

C.A. 1963 · 58 · 10 ·

9753 a

He
(T)

| 39-2972-11 | 1963

Reeves C.H.

J. Chem. Phys., 1963,
39 (1), 1-10

1963

He

Roger der Agobian, Jean Louis Otto, Rolland Richard,
Roland Cagnard.

Bi

Compt. Rend. 257 (25), 3844.

Stimulated emission of
new infrared transitions
of neon.

C.A. 1964.60.8

3804h

(Cu^{II}, Ne)

1963

B9P KI - 3446

~~Cd I~~
He I

Cwmp

Infrared emission spectra of cadmium and helium. Jacques Seguier. *Compt. Rend.* 256, 1703-4(1963). The spectra of Cd and He were observed in the spectral region 1.6-3.7 μ . The following Cd I lines were observed: (proposed assignment, frequency (cm.⁻¹)) 8 ³D₁ - 6 ³P₂, 10,764.8; 7 ³D₁ - 6 ³P₁, 9528.5; 7 ³D₂ - 6 ³P₁, 9531.3; 7 ³D₂ - 6 ³P₂, 9361.8; 7 ³D₂ - 6 ³P₂, 9357.2; 5 ³F₂ - 5 ³D₁, 8607.9; 5 ³F_{2,3} - 5 ³D₂, 8595.8; 6 ³D₁ - 6 ³P₀, 6962.6; 6 ³P₂ - 6 ³P₁, 6897.7; 6 ³D₁ - 6 ³P₁, 6891.9; 6 ³D₂ - 6 ³P₂, 6723.6; 6 ³D₁ - 6 ³P₂, 6717.8; 5 ¹D₂ - 4 ³F, 6361.9; 7 ³P₂ - 5 ³D₃, 5576.8; 6 ¹D₂ - 6 ¹P₁, 5229.3; 7 ³S₁ - 6 ³P₀, 4172.6; 7 ³S₁ - 6 ³P₁, 4101.9; 7 ³S₁ - 6 ³P₂, 3927.8. New transitions were observed in the He spectrum at 7980.34 cm.⁻¹ (4 ³P - 3 ²S) and 5115.52 cm.⁻¹ (4 ³P - 3 ³D). Walter J. Lafferty

C.A. 1963 SB. 12
120856

B

He (E_i)

XI 2357

(1255)

Stewart A. L.

Advances Phys., 1963, 12, v 47, 239-253/and]

The properties of the helium atom and
the two-electron systems

Hevesi, 1965, 367-

10

He

Li⁺

of a g u o n o m u a y a u s

1965
545) PHOTO-IONIZATION OF HELIUM AND IONIZED LITHIUM. A. L. Stewart and T. G. Webb (Queen's Univ., Belfast). Proc. Phys. Soc. (London), 82: 532-6 (Oct. 1, 1963).

The work of Stewart and Wilkinson on the photo-ionization of helium using six-parameter Hylleraas ground state and Hartree-Fock continuum wave functions was extended to higher energies. Agreement to within 10% is obtained with the recent measurements of Baker, Bedo, and Tomboulian over the spectral range 504-180 Å. Results for Li⁺ based on the same approximations are also presented. (auth)

N.S.A. 1964. 18.2

1963

Cd He

, № 20. Инфракрасные спектры испускания кадмия и гелия. Séguier Jacques. Spectres d'émission infrarouge du cadmium et de l'hélium. «C. r. Acad. sci.», 1963, 256, № 8, 1703—1704 (франц.)

Изучены ИК-спектры испускания He и Cd в области 1,6—3,7 μ ; между экспериментально и теоретически вычисленными данными наблюдается хорошее соответствие. Для He были обнаружены новые линии 12 526 и 19 542 Å, идентифицированные как линии типа $4^3P - 3^3S$ и $4^3P - 3^3D$ соответственно. Ряд линий в спектре Cd (17 635, 23 735, 25 220, 25 655, 29 290, 30 083, 30 115, 30 175 и 35 610 Å) идентифицирован не был; помимо этого, линия 15 258 Å, указанная Пашеном, в спектре не наблюдалась и, очевидно, не соответствует теоретич. спектру Cd.

Б. Рассадин

Х. 1964. 45

1963

He

7 Б20. Инфракрасные спектры испускания кадмия и гелия. Séguier Jacques. Spectres d'émission infrarouge du cadmium et de l'hélium. «C. r. Acad. sci.», 1963, 256, № 8, 1703—1704 (франц.)

Изучены ИК-спектры испускания He и Cd в области 1,6—3,7 μ ; между экспериментально и теоретически вычисленными данными наблюдается хорошее соответствие. Для He были обнаружены новые линии 12 526 и 19 542 Å, идентифицированные как линии типа $4^3P - 3^3S$ и $4^3P - 3^3D$ соответственно. Ряд линий в спектре Cd (17 635, 23 735, 25 220, 25 655, 29 290, 30 083, 30 115, 30 175 и 35 610 Å) идентифицирован не был; помимо этого, линия 15 258 Å, указанная Пашеном, в спектре не наблюдалась и, очевидно, не соответствует теоретич. спектру Cd.

Б. Рассадин

Х. 1964. 2520

Георгие H.S Taylor, F.E Harris! 1965-64г.

He, H Adv. Physics. 1965-64, 7N3, 287.

Квантово-механическое изу-
чение He, H⁻, He-He и
He - H систем.

(однородное магнитное поле -
изменяющееся с течением времени
в определенном соотношении)

He

1963

✓ 9 Б3. Поправки возмущения первого порядка к приближению Хартри — Фока для гелия. Weiss A. W., Martin J. B. First-order perturbation corrections to the Hartree — Fock approximation for helium. «Phys. Rev.», 1963, 132, № 5, 2118—2122 (англ.)

С помощью вариационного метода и теории возмущений, в которой в качестве исходной взята волновая функция Хартри — Фока, в первом приближении вычисляются средние значения одно- и двухэлектронных операторов и энергия основного состояния для атома Не и его изоэлектронного ряда (H^- , Li^+ , Be^{2+}). Энергия получена в виде разложения по убывающим степеням Z , начиная с Z^2 . Показано, что уже первое приближение дает существенное улучшение результатов, хотя расхождение с точными значениями величин еще велико (ошибка для энергии, напр., остается равной $3 \cdot 10^{-2}$ эв). Более высокие приближения играют особенно важную роль для отрицательных ионов и должны быть учтены при вычислении, напр., электронного средства.

А. Зимин

X·1965·9

1964

He

№ 9 Д33. Вычисления зависящего от температуры отношения интенсивностей линии He II-4686 Å и окружающего ее континуума. Berg H. F., Tondello G.
 Calculations on the temperature sensitive intensity ratio of the He II-4686 Å line and its neighbouring continuum.
 «Ber. Kernforschungsanlage Jülich», 1964, № 182, 11 pp., ill. (англ.)

Отмечается, что с помощью метода, в котором используется отношение интенсивностей линии и близлежащего континуума, удобно определять т-ру нейтрального водорода и ионов гелия при т-рах, превосходящих 35 000° К. Авторы статьи проводят вычисления интенсивностей непрерывного спектра нейтрального и ионизованного гелия в области $\lambda=4686$ Å в диапазоне т-р 10 000—100 000° К. Результаты расчета представлены на

св. 1965. 98

графиках. Рассчитывается также интенсивность линии Не II-4686 Å и находится ее отношение к интенсивности близлежащего континуума. Результаты этих вычислений, относящиеся к интервалу $T=20\,000-100\,000^{\circ}$ К приведены на графике. Отмечается сильная температурная зависимость величины этого отношения. Рассматриваются полученные различными авторами критерии для плотности электронов, необходимые для существования термодинамич. равновесия. Указывается, что если используются только верхние уровни, то нет необходимости требовать существования термодинамич. равновесия по всем состояниям. В этих условиях авторы получают свой критерий для плотности электронов. Н. Генералов

1964

He
Wolodya
pacient

Solution of the self-consistent-field equations for atoms by the application of BESM-2M. V. F. Brattsev. *Vestn. Leningr. Univ.* 19(10), *Ser. Fiz. i Khim.* No. 2, 24-30(1964). A method of solving S.C.F. equations by applying the computer BESM-2M is given. By this program (entirely automatic), ground and excited states of light atoms ($Z = 2-18$) were calcd. As an example, calcns. related to He were exampd. S. Folek

C.A. 1964. 61. 10
11474.c

He(8i) XI 1586 1964

Chan Y.M., Dalgarno A.,
Phys. Letters., 1964, 13, N2,
130 - 131

The calculation of atomic
energy spectra

DCP 65



20

ECP P. K.

1964

He,
He₂
CH₄ / H₂

12103 HELIUM AFTERGLOW IN A FLOWING SYSTEM. C. B. Collins and W. W. Robertson (Univ. of Texas, Austin). 50p. (CONF-531-9)

From American Physical Society 1964 Southwestern Meeting, Tucson, Ariz., Feb. 1964.

Atomic Spectrum. Spectroscopic investigation of a flowing helium afterglow revealed the presence of strong lines of neutral helium. An examination of the population distribution of the excited atomic states revealed the presence of a Saha-equilibrium between the upper states and the free electrons indicating that the primary process of populating these states was the collisional-radiative recombination of He⁺. A comparison of the axial variation and pressure dependence of the intensity of the emission with the He²⁺ and He⁺ concentrations strengthened this conclusion. Observations were made at times from 50 – 250 μ sec into the afterglow (flow velocity $\sim 6 \times 10^4$ cm/sec) in a system having a diffusion half-life for He⁺ of the order of 100 μ sec, an ion density of 5×10^{12} /cc, and a maxi-

NASA 1968-19-7

mum electron temperature corresponding to ~0.15 ev.

Molecular Spectrum. Spectroscopic investigation of a flowing helium afterglow revealed the presence of strong bands of He_2 . An examination of the axial variation and pressure dependence of the intensity of the emission and He_2^+ concentration, as evidenced by titration, served to identify the dominant reaction populating the excited molecular states as being the collisional-radiative recombination of He_2^+ . (auth)

He,

He₂

спектр

10 Д81. Молекулярный спектр в послесвечении гелия. 1964
Collins C. B., Hurt W. B., Robertson W. W. The
molecular spectrum in a helium afterglow. «Atomic Colli-
sion Processes». Amsterdam, 1964, 517—524 (англ.)

Исследовались спектры послесвечения (ПС) He, про-
пущенного через зону СВЧ-разряда. ПС имеет яркую ро-
зовато-фиолетовую окраску. В зависимости от давления
He длина области ПС менялась от нескольких см до
15 см и более. Спектр ПС состоит из линий He* и по-
лос He₂. Для выяснения процессов образования носите-
лей ПС изучались зависимости интенсивности спектров
He* и He₂ от давления He (5—45 мм рт. ст.) и времени
(60—250 мсек. после выхода из зоны разряда), причем
одновременно измерялась относит. конц-ия ионов He₂⁺
с помощью метода титрования добавками O₂ или N₂ (ре-

Ф. 1965 · 1075

гистрировалось свечение, обусловленное возбужденными ионами O_2^+ и N_2^+ , образующимися при перезарядке). Зависимости интенсивности спектра He_2 и конц-ии He_2^+ от давления симбатны, поэтому сделан вывод, что He_2 образуется при рекомбинации иона He_2^+ с электроном. Зависимость интенсивности спектра He^* от давления имеет другой характер, что указывает на образование He^* при реакциях частиц, отличных от He_2^+ . Предполагается, что He^* образуется при рекомбинации ионов He^* , присутствующих в области ПС, а не ионов He_2^+ .

В. Скурат

1964

{ He Collins C. B., Robertson W. W.

{ He⁺ J. Chem. Phys., 1964, 40, 201 (v. 3)

He₂⁺ Спектр, состоящий из 6 линий
излучения звук.

Излучение состоит из 6 линий
излучения, наблюдаемых в излуче-
нии звука He.

Deng

1964

He

Collins C. B., Robertson W. W.

J. Chem. Phys., 1964, 40, 2202 (N° 8)Résumé résumé. I. Announces
concept.(con. $\bar{\text{He}}_2$)

He

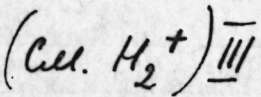
кб.-мех.
расчет

Conroy H.

J. Chem. Phys.,
41, N 5, 1336

1964

Ур-ние передвижера для
мол-л. III. Расчет зерни
основного состояния
посредством генрализ-
ации.



He

Crossley. R.J.S.

1964

H-148

(A,y,) "Proc. Phys. Soc." (L.)

1964, 83, N533, 379-389

1964

He

6 Д9. Одноконфигурационные расчеты возбужденных состояний гелия. Davidson Ernest R. Single-configuration calculations on excited states of helium. «J. Chem. Phys.», 1964, 41, № 3, 656—658 (англ.)

Методом самосогласованного поля Рутана вычислены потенциалы ионизации ε_n возбужденных состояний $1s2p^3P$, $1s2p^1P$, $1s3p^3P$, $1s3p^1P$, $1s4p^3P$, $1s4p^1P$, $1s3d^3D$, $1s3d^1D$, $1s4d^3D$, $1s4d^1D$, $1s4f^3F$, $1s4f^1F$ атома Не. Отличие величин ε_n от эксперим. значений не превышает 1%. В качестве базисных ф-ций при вариационном расчете использовались ф-ции Слейтера, число которых составляет: 4 для $1s$ -оболочки, 10 для $4p$ -оболочки и 6 для всех остальных рассмотренных оболочек. С. Ветчинкин

9·1965·68

He

1964

17 Б8. Одноконфигурационные расчеты возбужденных состояний гелия. Davidson Ernest R. Single-configuration calculations on excited states of helium. «J. Chem. Phys.», 1964, 41, № 3, 656—658 (англ.)

С использованием вариационного принципа в рамках метода самосогласованного поля получены наилучшие одноконфигурационные волновые функции, позволяющие, в частности, вычислять энергию не слишком высоких возбужденных уровней с точностью 0,5—1%. Этот метод существенно лучше согласуется с экспериментальными данными, чем, напр. теория псевдовозмущений, использованная для тех же расчетов. Метод может быть использован для изучения возбужденных состояний водорода.

А. Зимин

X · 1965 · 17

De Heer, F. J. Van den Bos. J.

1964₂

Physica 30, 1964, 741 - 744.

Bozdrugmenie reevers noorder
reevers.

$\text{He}^+ + \text{He} \rightarrow \text{He}^+ + \text{He}^+$
word verder ongeveer een
5 u 100 keV. ●

He⁴

1964

Тонкая
структуря
уровней

2Д8. Тонкая структура уровней n^3P атома He⁴.
Descoûbes Jean-Pierre. Structure fine des niveaux n^3P de ${}^4\text{He}$. «С. г. Acad. sci.», 1964, 259, № 2,
327—330 (франц.)

Методом пересечения уровней измерена тонкая структура первых состояний типа n^3P атома He⁴. Возбуждение атомов производилось электронным ударом; направление скорости электронов составляло прямой угол с направлением постоянного магн. поля H_0 . Регистрировалась разность интенсивностей плоско-поляризованных компонент испускаемого вдоль магн. поля света, электрич. векторы которых составляли углы соответственно α и $\alpha + \pi/2$ с направлением скорости налетающих электронов. При $\alpha = 0$ и $\alpha = \pi/2$ регистрировались кривые поглощения, а при $\alpha = \pi/4$ и $3\pi/4$ — кривые дисперсии. Определены точки пересечения (при изменении H_0) подуровней $(J, M) = (2, 2)$ с $(1, 0)$ и $(2, 1)$ с $(1, -1)$. Вычислены расстояния между компонентами тонкой

• 1965.28

струкуры ${}^3P_1 - {}^3P_2$ и ${}^3P_0 - {}^3P_1$, равные соответственно (в Мгц): для 3P 658,55 и 7740 ± 980 ; 4P $270,7 \pm 0,2$ и 2970 ± 300 ; 5P $135,5 \pm 0,2$ и 1500 ± 200 ; 6P $78,24 \pm 0,4$ и 860 ± 200 . По ширине линий поглощения определены времена жизни атома в указанных состояниях n^3P , равные соответственно (в 10^{-7} сек): $0,90 \pm 0,10$; $1,67 \pm 0,17$; $2,06 \pm 0,3$; $2,7 \pm 0,5$.

Т. Ребане

дак

He^4

1964

— 9 Б12. Тонкая структура уровней n^3P атома He^4 .
Descoubes Jean-Pierre. Structure fine des niveaux n^3P de ${}^4\text{He}$. «С. г. Acad. sci.», 1964, 259, № 2, 327—330 (франц.)

Методом пересечения уровней измерена тонкая структура первых состояний типа n^3P атома He^4 . Возбуждение атомов производилось электронным ударом; направление скорости электронов образует прямой угол с направлением постоянного магнитного поля H_0 . Регистрировалась разность интенсивностей плоскополяризованных компонент испускаемого вдоль магнитного поля света, электрические векторы которых составляли углы соответственно α и $\alpha + \pi/2$ с направлением скорости налетающих электронов. При $\alpha = 0$ и $\alpha = \pi/2$ регистрировались кривые поглощения, а при $\alpha = \pi/4$ и $3\pi/4$ — кривые дисперсии.

2 · 1965.9

Определены точки пересечения (при изменении H_0) подуровней $(J, M) = (2,2)$ с $(1,0)$ и $(2,1)$ с $(1, -1)$. Вычислены расстояния между компонентами тонкой структуры $n^3P_1 - n^3P_2$ и $n^3P_0 - n^3P_1$ (в Мгц), равные соответственно: для 3^3P $658,55 \pm 980$; 4^3P $270,7 \pm 0,2$ и 2970 ± 300 ; 5^3P $135,5 \pm 0,2$ и 1500 ± 200 ; 6^3P $78,24 \pm 0,4$ и 860 ± 200 . По ширине линий поглощения определены времена жизни атома в указанных состояниях n^3P , равные соответственно (в 10^{-7} сек.): $0,90 \pm 0,10$, $1,67 \pm 0,17$, $2,06 \pm 0,3$, $2,7 \pm 0,5$.

Т. Ребане

He

спектр

№ 11 Д255. Спектроскопическое исследование импульсного высокочастотного разряда в гелии. Фуголь И. Я., Пахомов П. Л., Резников Г. П. «Оптика и спектроскопия», 1964, 16, № 6, 941—948

1964

Исследована кинетика свечения гелиевой плазмы в импульсном безэлектродном ВЧ-разряде в области давлений 0,1—40 мм рт. ст. при различных мощностях импульса. Убывание интенсивности линий за время ВЧ-импульса при 290° К объяснено на основе механизма атомной рекомбинации. При понижении температуры газа до 77° К обнаружены особенности высвечивания и наличие интенсивного послесвечения у ряда линий спектра HeI. Для объяснения послесвечения при 77° К привлечен процесс диссоциативной рекомбинации молекулярных ионов, в образовании которых существенную роль играют метастабильные 2^3S атомы He. Определены временные константы свечения гелиевой газоразрядной плазмы. Библ. 12 назв.

96.1964. 110

1964

И.ч.
расчеты
агонов
(He)

5 Б13. Радиальная корреляция в гелии. Handleig
George S., Joy Hubert W. Radial correlation in he-
 lium. «J. Chem. Phys.», 1964, 40, № 8, 2408 (англ.)

Исследована возможность представления электронной волновой функции основного состояния атома Не в виде линейной комбинации парных произведений одноэлектронных функций Слейтера. Вариационным методом рассчитаны энергии основного состояния Не и его волновой функции, включающей 3 и 4 члена. С учетом 8 и 11 вариационных параметров получены значения энергии $-2,8781$ и $-2,8788$ ат. ед. соответственно. Эти величины несколько меньше, чем в расчетах по методу Хиллерааса.

С. Ветчинкин

x.1965.5

He

1964

*W. Heiss
Peerless*

Approximate Hartree-Fock wave function for the helium atom.
Joseph T. Zung (Coll. of William and Mary, Williamsburg, Va.),
and Robert G. Parr. *J. Chem. Phys.* 41(9), 2888-92(1964).
The given function is a good anal. approxn. to the Hartree-
Fock orbital of the He atom, giving an energy of -2.86167
a.u., vs. the exact Hartree-Fock energy, -2.86168 a.u. Differ-
ences between this and other approx. orbitals, and the exact H.-F.
orbital, are discussed. The orbital form due to Green is recov-
ered as a special case. It also yields the energy -2.86167 a.u.,
but it gives less accurate values for $\langle r \rangle$, $\langle r^2 \rangle$, $\langle r^3 \rangle$, and $\langle r^4 \rangle$ than are
given by the generalized form.

RCJQ

C.A. 1964. 61. 12
13887 f

He^4

136

Def. coag.

The ground state of liquid helium-four. William Lauchlin McMillan (Univ. of Illinois, Urbana). *Univ. Microfilms* (Ann Arbor, Mich.), Order No. 64-8414, 49 pp.; *Dissertation Abstr.* 25(2), 1285(1964). SNDC

C.A. 1964 61 · 12
13893 c

1964

He

W. H. S.
paper

A survey of Gaussian two-electron functions. I. The ground state of the helium atom. J. V. L. Longstaff and K. Singer (Univ. London). *Theoret. Chim. Acta* 2(4), 265-80(1964)(in English). The energy of the ground state of He is calcd. according to the variation method with trial functions formed from a no. of different types of linear combinations of Gaussian functions. These functions are compared with respect to (a) their convergence toward the exact wave function with increasing no. of linear terms, (b) the effectiveness of different kinds of correlation functions, and (c) numerical labor.

RCTC

C.A. 1964.61.12
13887e

1964

He

6 Д8. Исследование гауссовых двухэлектронных волновых функций. I. Основное состояние атома гелия.
Longstaff J. V. L., Singer K. A survey of gaussian two-electron functions. I. The ground state of the helium atom «Theoret. chim. acta», 1964, 2, № 4, 265—280 (англ.; рез. франц., нем.)

Рассчитана энергия основного состояния атома Не вариац. методом с использованием волн. ф-ций, представляющих линейные комбинации гауссовых ф-ций. Исследованы сходимость ф-ций при увеличении числа членов, эффективность различных корреляционных членов и методы численных расчетов. Исследование предпринято с целью использования полученных волн. ф-ций двухэлектронных систем в сложных молекулярных системах.

А. Зимин

Ф. 1965. 69

He

Bsp-10029-X

1964

Mackacek M
Scherr CW

Te, pacific

p-3157 -5 2



He-

Minn F.L.

1964

Biss. Absts., 25, 12, 869

Oglio-germanofobie hiperacce-
sive pacemaker hyper-
fibrillations peroxides cecumice:

H₃, Li-atom, He-



He Richards H. L. 1964
Diss. Absts, 1964, 24, N10, 4012

Angular dependence of the
scattering of metastable helium
atoms in helium and neon

He
спектр

1964

22 Б14. Исследование спектра гелия методом электронного удара с помощью аппаратуры с высокой разрешающей способностью. Skerbele Ausma M. Lassettre Edwin N. Higher-resolution study of the electron-impact spectrum of helium. «J. Chem. Phys.», 1964, 40, № 5, 1271—1275 (англ.)

Описан источник электронов с электростатич. анализатором скоростей до рассеяния. Прибор применен к исследованию неупругого рассеяния вперед электронов с энергиями 250, 300 и 350 эв на атомах гелия. Малая ширина (в энергетич. шкале) электронного пучка позволила разделить потенциалы возбуждения гелия 5^1P - и 6^1P -состояний, различающихся на 0,17 эв. Более точно определены потенциалы возбуждения, соответствующие состояниям гелия 2^1S , 2^1P , 3^1P , 4^1P . Е. Пшеничнов

Х. 1964 № 22

He

Аннот.

1964

8·Д29. Исследование спектра гелия методом электронного удара с помощью аппаратуры с высокой разрешающей способностью. Skerbele Ausma M., Lassettre Edwin N. Higher-resolution study of the electron-impact spectrum of helium. «J. Chem. Phys.», 1964, 40, № 5, 1271—1275 (англ.)

Описан источник электронов с электростатич. анализатором скоростей. Эта аппаратура позволяет произвести селекцию по скоростям электронного пучка до рассеяния. Прибор применен к исследованию неупругого рассеяния электронов под углом $\sim 0^\circ$ на атомах гелия.

ф. 1964. 88

Эксперименты проводились с начальными энергиями электронов 250, 300 и 350 эв. Ширина (в энергетич. шкале) электронного пучка была такой, что оказалось возможным разделить потенциалы возбуждения гелия в 5^1P - и 6^1P -состояния, различающиеся на 0,17 эв. Более точно, чем ранее, определены потенциалы возбуждения, соответствующие состояниям гелия 2^1S , 2^1P , 3^1P , 4^1P . Для серии $1^1S - m^1P$ ($m=1, \dots, 5$) определены силы осцилляторов. Получено хорошее согласие с результатами Далгарно и Стюарта.

Е. Пшеничнов

Ne, the (Te) XI 2327 1964

Simpson J.A., Mielczarek S.R.

Cooper J., 1964, 54,

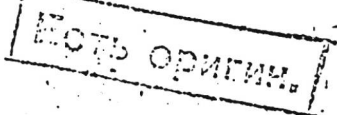
J. Opt. Soc. America

N2, 269-270

Сагс лс13

рср64

10



1964

X-174

He

и.чев.
рвон

О 7Д23. Расчет атомов гелия и лития в адиабатическом приближении. Веселов М. Г., Лабзовский А. Н., Штофф А. В. «Гр. Комис. по спектроскопии. АН СССР», 1964, вып. 1, 72—80.

Проведено численное интегрирование ур-ний для ряда состояний атомов гелия и лития в адиабатич. приближении с учетом обмена. Вычислены вероятности соответствующих оптич. переходов. Произведено сравнение полученных термов и волн. ф-ций с результатами расчетов по методу Хартри—Фока.

☒

ф. 1965. 78

~~He₂⁺⁺~~

1965

W. J. Ley - part

Some excited states of He₂⁺⁺: mixed basis-set calculations.
J. C. Browne (Univ. of Texas, Austin). *J. Chem. Phys.* 42(4),
1428-31(1965)(Eng). Quantum-mech. calcns. were made which
yield approx. potential curves for the lowest $^1\Sigma_u^+$, $^3\Sigma_u^+$, and $^3\Sigma_g^+$
states and the 1st excited $^1\Sigma_g^+$ state of He₂⁺⁺. The $^3\Sigma_g^+$ and
 $^3\Sigma_u^+$ states exhibit no min. in their computed potential curves,
but the $^1\Sigma_u^+$ and $(^1\Sigma_g^+)^*$ states are bound. Rigorous lower
bounds of 0.29 and 0.24 ev. are found for D_e of $^1\Sigma_u^+$ and $(^1\Sigma_g^+)^*$,
resp. The probable errors in these D_e are <0.1 ev. RCJQ

C.A. 1965 62: 7
4242 ab

He

1965

Inelastic scattering of electrons by helium. G. E. Chamberlain (Natl. Bur. of Stds., Washington, D.C.) and H. G. M. Heidman. *Phys. Rev. Letters* 15(8), 337-8(1965)(Eng). Resonances in the inelastic scattering of electrons by He were studied at 19.3-58.2 ev. The cross section of the $2^3 S$ is due almost entirely to resonance structures. There is a steplike rise in the $2^3 S$ and $2^1 S$ excitation cross section at the threshold. Above this, resonance structures are assocd. with the neg.-ion states from the $n = 3, 4$, and 5 levels of He. Resonance structure is shown in the $2^3 S$, $2^1 S$, and $2^3 P$ loss curves due to the neg. ion states at 57.1 and 58.2 ev.

Lilyan S. Mastrolia

C.A 1966.64-1
Q7c

He
Li

1965

6 Д21. Расчет некоторых возбужденных состояний He и Li. Cook D. B., Миггелл J. N. Calculation on some excited states of helium and lithium. «Molec. Phys.», 1965, 9, № 5, 417—425 (англ.)

Вычислена энергия E перехода из основного в некоторые возбужденные синглетные и триплетные состояния He, а также Li. Обсуждается отличие ΔE величины от значения, найденного по ф-ле Ридберга (водородоподобный атом). Расчет произведен в одноэлектронном приближении. В качестве волн. ф-ции возбужденного электрона использованы водородоподобные ф-ции; рассмотрены различные представления волн. ф-ции остова. Найдено, что для s -термов значения E близки к экспе-

(8)

ф. 1966. 68



рим. величинам только в том случае, если при расчете учитывается изменение состояния остова при переходе. Изменение энергии корреляции меньше, чем изменение энергии, связанное с поляризацией остова. Для p -термов вклады кулоновского, обменного и корреляционных взаимодействий в величину Δ сопоставимы друг с другом. Для d -термов основной вклад в величину Δ вносит изменение корреляции оптич. электрона с остовом.

С. Ветчинкин

Эффектная инжекционная люминесценция в $ZnSe_xTe_{1-x}$

App. Phys. Letters, 1965, 7, N 6, 146—148.

Efficient visible injection electroluminescence from $p-n$ junctions in $ZnSe_xTe_{1-x}$.

Aven M.
Фн3. 10

539.2

1965

He⁻

Hg⁻

magnet.

Yerbury

Identification of energy levels of negative ions. U. Fano and J. W. Cooper (Natl. Bur. of Stds., Washington, D.C.). *Phys. Rev.* **138(2A)**, 400-2(1965)(Eng). Levels of He⁻ at 57.1 and 58.2 ev. and of Hg⁻ at 4.0₇, 4.2₉, and 4.8₉ ev. are identified spectroscopically as $2s^2 2p\ ^2P$, $2s2p^2\ ^2D$, $6s6p^2\ ^4P_{1/2,3/2,5/2}$, resp. The identification combines elements of spectroscopy and collision theory.

RCPJ

+1

C.A. 1965. 62-11
12450h-12451a

17

1965

He
Be²⁺
Be
Ne
W. M. J.
paired
(x) well

Continuous representations in the statistical theory of electronic energies. The self-consistent field. George S. Handler (Tufts Univ., Medford, Mass.) and Sidney Golden. *J. Chem. Phys.* 42(4), 1290-3(1965)(Eng). Calcns. were carried out for He (³S and ¹S), Be²⁺ (¹S), Be(¹S), and Ne(¹S). Binding energies are ~6% greater than exptl. values. No shell structure in electron d. was obtained, which reflects an inadequacy of the theory in approximating such properties. The ds. obtained gave relatively good estimates of the mean values of r^n , $-2 \leq n \leq +2$

RCJQ

C.A. 1965 · 62 · 7
41258



1965

18703

IDENTIFICATION OF ENERGY LEVELS OF
NEGATIVE IONS. U. Fano and J. W. Cooper (National
Bureau of Standards, Washington, D. C.). Phys. Rev., 138:
A400-2(Apr. 19, 1965).

Levels of He^- at 57.1 and 58.2 ev and of Hg^- at 4.0, 4.2,
and 4.8 ev are identified spectroscopically as $2s^2 2p\ ^2P$,
 $2s2p\ ^2D$, $6s6p\ ^4P_{1,3,5}$, respectively. The identifica-
tion procedure, which combines elements of spectroscopy
and collision theory, is described. (auth)

NIA-1965-19-10

He

(6_i)

• 12 Д15. Волновые функции возбужденных состояний нейтрального гелия. Green Louis C., Kolchin Ele-
; а пог K., Johnson Norma C. Wave functions for the
excited states of neutral helium. «Phys. Rev.», 1965, 139,
№ 2A, 373—378 (англ.) 1965

Вариационным методом Ритца рассчитаны энергия и волны. ф-ции основного и 1S , 3S , 1P , 3P , 1D , 3D возбужденных состояний атома He. Рассмотрены термы, соответствующие возбуждению электрона в состояния, характеризуемые главными квантовыми числами $n \leq 9$ для S-термов и $n \leq 8$ для P- и D-термов. Пробная волн. ф-ция представлена в виде ряда взаимодействующих конфигураций, составленных из ф-ций Слейтера. Общее число конфигураций равно 50 для состояния 1^1S , 42 для 2^1P и 2^3P , 7 для 5^3S , 8 для 6^3S , 9 для 7^3S , 4^1P и 4^3P . Погрешность в оценке нерелятив. значения энергии возбужденных состояний составляет 10^{-5} — 10^{-6} ридберг; достигнутая точность несколько выше, чем в аналогичных расчетах Пекериса (РЖФиз, 1963, 1Д9). Вместе с тем, погрешность в оценке энергии основного состояния относительно велика (0,000684. ридберг). С. Ветчинкин.

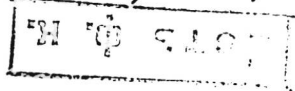
90. 1965. 128

XI - 3025

(1965)

He (mas. used.)

Goldfarb L.J.B., Hug A.,
Helv. Phys. Acta,
1965, 38, n6, 541-50



10

He R. H. St. John, T.S.C. Wee No 1965

J. Opt Soc of America 1963, V53
N.Y. pg. 426 -

Biphasic waveforms to be
achieved feasible however.

He
spec. Madden R.P., Codling K., 1965.
Astrophys. J., 1965, 141, 364.-375.

Низкотемпературное излучение в звездных

1965

4 Д70. Идентификация энергетических уровней отрицательных ионов. Fano L., Cooper J. W. Identification of energy levels of negative ions. «Phys. Rev.», 1965, 138, № 2A, 400—402 (англ.)

Большое число резонансов, наблюдавшихся при расщеплении медленных электронов на атомах Hg и инертных газов, объясняется обратимым образованием в процессе столкновения отрицат. ионов по схеме $e + A \rightarrow A^- \leftrightarrow e + A$. При идентификации энергетич. уровней, соответствующих наблюдаемым резонансам при 57,1 и 58,2 эв в случае He и при 4,07; 4,29 и 4,89 эв в случае Hg, учет того, что четность и полное квантовое число I системы до и после столкновения должны оставаться неизменными, позволяет ограничить число исходных состояний $e + A$ следующими: $3S_{1/2}$, $^2P_{1/2}^0$, $3/2$, $^2D_{3/2}, 5/2$, $^2F_{5/2}^0, 7/2$ и т. д. Далее энергетич. соображения позволяют отыскать конфигурацию электронных оболочек (в случае He^- — оболочка из трех электронов с $n=2$) и термы. Указанные выше резонансы соответствуют $2s^2 2p^2 P$ - и $2s2p^2 2D$ -состояниям He^- и $6s6p^2 4P_{1/2}, 3/2, 5/2$ -состояниям Hg^- .

Ю. Беляев

9.1966.42

1965

*He**И. Мер.
расчт.*

7 Д24. Прямое вычисление матрицы плотности первого порядка для атомов. Hall G. G., Jones L. L., Rees D. The direct calculation of the first-order density matrix for atoms. «Proc. Roy. Soc.», 1965, A283, № 1393, 194—202 (англ.)

Показано, что задача расчета матрицы плотности первого порядка может быть сведена к решению одноэлектронных ур-ний. Указанные ур-ния сформулированы в общем случае и решены аналитически для основного состояния атома He, триплетного 3S -состояния атома He и для основного состояния атома Li. С помощью найденных матриц плотности рассчитаны средние значения целого ряда одноэлектронных операторов, которые хорошо согласуются с данными прецизионных расчетов. Указывается, что собств. состояния матрицы плотности представляют собой т. наз. натуральные орбитали, причем эти орбитали с точностью до членов первого порядка включительно совпадают с молекулярными орбиталями неограниченного метода Хартри—Фока. Сформулирован-

45. 1965. 70

ная теория включает произвольный параметр (постоянную экранирования), который можно определить из условия стационарности средних значений операторов относительно его вариаций; при этом вклад в среднее значение от приближения первого порядка для матрицы плотности обращается в нуль.

В. Быховский

H₂

12 Д319. Распределение интенсивности в хопфилдовском сплошном спектре гелия, измеренное по фотоионизации Ar, Kr и Xe. Metzger P. H., Cook G. R. Flux distribution of the Hopfield helium continuum from the photoionization of Ar, Kr, and Xe. «J. Opt. Soc. America», 1965, 55, № 5, 516—520 (англ.)

Измерено распределение абр. интенсивности излучения импульсного разряда в капилляре с гелием в области сплошного спектра Хопфилда (600—1000 Å). Измерения производились с помощью ионизационной камеры, заполняемой Ar, Kr или Xe, и снабженной фотокатодом. Одновременно регистрировались фототок, пропорциональный пропусканию газа и ионизационный ток, про-

92. 1965. 120

1965

порциональный скорости образования ионов в камере.
Комбинирование этих данных, с учетом 100% квантово-
го выхода ионизации для области между ионизационным
потенциалом и сериальным пределом для автоионизован-
ных состояний, дает возможность определить абр. ин-
тенсивность излучения, попадающего в камеру, и вычис-
лить поперечное сечение фотополионизации для Ag, Kr, Xe.
Для ионизационного континуума и для ряда переходов
на уровнях, лежащие между ионизационными пределами
Ag, Kr, Xe, рассчитаны силы осцилляторов. Библ. 21 назв.

1065

He

12 Д18. Корреляционные орбитали для возбужденных состояний He и H-. Pritchard H. O., Wallis A. Anthony. Correlated orbitals for excited states of He and H-. «J. Chem. Phys.», 1965, 42, № 10, 3548—3552 (англ.)

Рассчитан ряд возбужденных $msns$ - и $msnp$ -состояний атома He ($m=1, 2, n=2, 3$), а также некоторые (с $m=n=2$) состояния H-. Расчеты проводились с волн. ф-циями, включавшими в себя множители типа $(\zeta r_{12})^k \exp(+c\zeta r_{12})$. Здесь ζ и c — параметры. Результаты расчетов приведены в таблице вместе с эксперим. данными. Исследована корреляция между $\langle E \rangle$, $\langle 1/r \rangle$ и $\langle 1/r_{12} \rangle$ для $1s2s(^3S)$ -состояния He.

Е. Пшеничнов

Ф. 1065 · 128



1965

He

5 Д25. Новые автоионизационные уровни в гелии.
Rudd M. E. New autoionizing levels in helium. «Phys.
Rev. Letters», 1965, 15, № 14, 580—581 (англ.)

Более ранние измерения автора («Phys. Rev. Letters», 1964, 13, 503), исследовавшего тонкую структуру энергетич. спектра эмиттированных при автоионизации возбужденного He электронов, расширены и уточнены с аппаратом более высокого разрешения. Наблюдались электроны, эмиттированные под углом 160° к первоначальному ионному лучку; давление He 5—6 μ рт. ст., энергия ионов H^+ или H_2^+ 75 кэв. Пик около 62,15 эв отнесен к терму $(2p^2)^1S$, рассчитанному, но еще не наблюденному ранее, что позволило выполнить калибровку измерений с точностью 0,05 эв. Серии $(2sns)^1S$ и $(2snp)^3P$, первые члены которых уже наблюдались, прослежены более полно (вплоть до $n=5$). Указывается, что отнесение термов этих серий облегчается тем обстоятельством, что тринплетные термы не возбуждаются при бомбардировке протонами, но возбуждаются при бомбардировке ионами H_2^+ . Результаты измерений подробно табулированы.

В. Быховский

XI-2273

р. 1966. 58

Б9 - 6076 - X

1965

He

(реф)

4 Д34. Состояния $2^{1,3}P$, $3^{1,3}P$ и $4^{1,3}P$ атома He и состояние 2^1P иона Li^+ . Schiff B., Lifson H., Pekeiris C. L., Rabinowitz P. $2^{1,3}P$, $3^{1,3}P$, and $4^{1,3}P$ states of He and the 2^1P state of Li^+ . «Phys. Rev.», 1965, 140, № 4A, 1104—1121 (англ.)

Вариационным методом рассчитаны синглетные и тройные $2P$ - $3P$ - и $4P$ -состояния атома He и 2^1P -состояние иона Li^+ . При расчете использовались волни. ф-ции типа Брейта, число параметров в ф-циях достигало 560. Учтены поправки на движение ядра и релятив. поправки порядка $\alpha^2 \text{Ry}$. Точность расчета превышает точность эксперимента. Приведены также численные значения математич. ожиданий различных операторов. В приложениях даны методы вычисления интегралов с ф-циями, содержащими зависимость от углов. Л. Лабзовский

дп. 1966

42

☒

Pop - BO #6 - R.

11965

He

Schiff B., Lifson H.,
Pekeris C. L., Rabinowitz P.



Phys. Rev., 140 (4A), 1104-21.

$2^1, 3P$, $3^1, 3P$, and $4^1, 3P$
states of He⁺ and the 2^1P
state of Li⁺.



He

1 Д36. Разрушение атомных частиц электрическим полем и электронным ударом. Смирнов Б. М., Чубышов М. И. «Ж. эксперим. и теор. физ.», 1965, 49, № 3, 841—851

1965

(A) Рассмотрена задача о распаде атомной частицы в постоянном однородном электрич. поле. Получено асимптотически точное (в пределе малой напряженности поля) выражение для вероятности отрыва электрона в единицу времени. Найденный результат используется для определения энергии связи электрона в отрицат. ионе гелия по экспериментально измеренной зависимости времени жизни иона от напряженности внешнего электрич. поля, в котором он распадается. Энергия сродства атома гелия к электрону оказывается равной $0,06 \pm 0,005$ эв. Вычислено сечение разрушения отрицат. иона электронным ударом, в результате которого освобождается s-электрон. При этом предполагается, что

2578

11

окт. 1966

180

сечение развала велико по сравнению с характерным размером отрицат. иона и что налетающий электрон движется по классич. орбите. Эти предположения оправдываются полученным результатом. Рассмотрены два механизма разрушения отрицат. иона: «выдавливание» слабо связанного электрона отрицат. иона статич. полем налетающего электрона и разрушение за счет изменения во времени поля налетающего электрона. Показано, что при больших скоростях столкновения второй механизм дает результат, соответствующий борновскому приближению. Зависимость сечения разрушения H^- от скорости налетающего электрона сравнивается с результатами других расчетов.

1966

Solution of the two-electron problem in quantum mechanics by direct determination of the natural orbitals. III. Refined treatment of the helium-atom and the helium-like ions. R. Ahlrichs, W. Kutzelnigg, and W. A. Bingel (Univ. Goettingen, Ger.). *Theoret. Chim. Acta* 5(4), 289-304(1966)(Eng); cf. CA 59, 10773a. Natural orbitals (NO) and natural expansion coeffs. for the ground states of the He atoms and some iso-electronic ions are caled. directly as numerical self-consistent solutions of integro-differential equations derived previously. These new applications differ from the previous ones insofar as larger and more flexible sets as 1-electron functions are used and as certain simplifications are no longer made. The wave functions and energies obtained compete with the best configuration interaction results known and are obtained in an easier and more

43
C. A. 1966. 65. 8
11541 def

straightforward way. Plots of the NO's show clearly that different NO's of the same state are localized in the same region of space. Special attention is given to the problem of the convergence of the natural expansion and to the role of the correlation potential, which is defined as the difference between the effective 1-electron Hamiltonians for the 1st (strongly occupied) NO and the Hartree-Fock (HF) orbital, resp. If this correlation potential is taken into account by using an iterative procedure better approxns. to the first NO than the HF orbitals are obtained. If only the energy is considered, it is, except for the H⁻-ion, irrelevant whether or not the difference between the 1st NO and the HF orbital are ignored. 35 references.

RCTC

He I

1966

He II

12 Д171. Получение спектральных линий He I и He II с помощью возбужденных ионов He^+ , ускоренных с помощью генератора Ван-де-Граафа. Bashkin S., Beauchemin G., s. j. Production de raies spectrales de He I et He II par l'excitation d'atomes He^+ accélérés au moyen d'un Van de Graaff. «Canad. J. Phys.», 1966, 44, № 7, 1603—1607 (франц.; рез. англ.)

Пучок ускоренных ионов He^+ , проходящий через узкую щель, использован для получения возбужденных атомов He I и He II. Наблюдались три спектральные линии He I и шесть He II. Три линии He II обнаружили своеобразные изменения интенсивностей.

ф. 1966 · 120

He

1966

/ Correlation effects in atoms. I. Helium. F. W. Byron,
Jr., and C. J. Joachain (Univ. of California, Berkeley). *Phys.
Rev.* 146(1), 1-8(1966)(Eng). The variational-perturbation
method has been applied to the study of correlation effects in
the He atom. Starting from the Hartree-Fock Hamiltonian
as zeroth-order approxn., the correlation energy is evaluated
through 5th order in perturbation theory. With a 10-parameter
trial wave function, $E_{\text{corr}} = -0.0419$ at. units, which differs
from the exact value by 0.4% and shows the rapid convergence
of this type of Hartree-Fock perturbation theory. Comparison
is also made with similar calcns. using Hartree or hydrogenic
Hamiltonians as starting points.

RCPJ

C.A. 1966.65.2

1586g

1966

6 Д15. Различные орбитали для различных спинов.
Основное синглетное S-состояние атома гелия.
Chong D. P. Different orbitals for different spins. Singlet S ground state of helium. «J. Chem. Phys.», 1966, 45, № 9, 3317—3318 (англ.)

Так называемый «неограниченный» метод Хартри — Фока, использующий различные радиальные ф-ции для состояний, отличающихся лишь проекцией спинов электронов, применен для основного синглетного состояния атома Не. Ф-ция атома Не представлена в виде разложения по натуральным орбиталям, число которых в данном случае равно 2. Натуральные орбитали, в свою очередь, разложены по базисной системе одноэлектронных ф-ций Шалла и Лёвдина. Получающаяся система алгебраич. ур-ний решается численно, число базисных ф-ций достигает 6. Метод дает примерно 39% полной энергии корреляции и 94% энергии радиальной корреляции.

Л. Лабзовский

3

³He

1966

—49400g Propagation of nuclear spin polarization in stationary and moving ³He. G. Escher and P. Turowski (Tech. Hochsch., Karlsruhe, Ger.). *Z. Angew. Phys.* 21(6), 500-3(1966)(Ger). Degrees of polarization were calcd. according to Colegrove, *et al.* (CA 60, 1256b). The polarization of the ³He nuclear spin generated by optical pumping was propagated from the polarization cell to attached spaces largely free from loss if the polarization cell and attached spaces were kept in a sufficiently homogeneous uniform magnetic field. Using the earth's field for generating and carrying polarization resulted in relatively low degrees of polarization. At 0.4 torr, strong polarization was seen in the secondary cells of both stationary and moving systems, while at 1.4 torr polarization was no longer seen in the moving system.

C. McGehee

C.A. 1967: 66-12

He

Garcia J. D.

1966

Phys. Rev., 1966, 147, n° 1,
66-68.

Размеры и форма нейральных к.
структур и ацидофильных в
мозгу.

(coll. He)

He 1966

Near ultraviolet-visible atomic absorption spectra of the noble gases. J. A. Goleb (Argonne Natl. Lab., Argonne, Ill.). *Anal. Chem.* 38(8), 1059-61(1966)(Eng). A schematic diagram of the app. for at. absorption measurement by the Schueller-Gollnow water-cooled hollow-cathode emission tube is given. The at. absorption and absorption spectra of He, Ne, Ar, Kr, and Xe are given. Of 300 spectral lines checked, $\sim \frac{1}{3}$ showed significant absorption. At. absorption can be used for the detn. of noble gases. The sensitivity is comparable to sensitivities reported for common impurities employing routine at. absorption techniques.

F. Schossberger

+4

C.A. 1966. 65.9
13030 g



1966

He
Ne
Ar
Kr
Xe

✓ 4 Д224. Атомно-абсорбционные спектры инертных газов в видимой и ближней ультрафиолетовой области.
 Goleb J. A. Near ultraviolet-visible atomic absorption spectra of the noble gases. «Analyt. Chem.», 1966, 38, № 8, 1059—1061 (англ.)

С применением разряда в сквозном полом катоде в качестве поглощающей ячейки измерено поглощение ряда линий в спектрах He, Ne, Ar, Kr и Xe, начинающихся с нижнего возбужденного уровня. Источником света служил разряд в охлаждаемом водой полом катоде с силой тока 30 мА при давлении инертного газа 2..мм рт. ст. Силу тока разряда в сквозном полом катоде поддерживали равной 75 мА, а давление газа — 1,0 (He), 0,8 (Ne), 0,5 (Ar, Kr, Xe) мм рт. ст. Из 300 исследованных линий в видимой и ближней УФ-области ~100 линий испытывают при данных условиях заметное поглощенис. Наиболее чувствительные в поглощении линии (в Å): He

+4

☒

φ. 1967. 42

3888,65 (51,5), He 5875,62 (45,5), He 6678,15 (28,4), Ne
6402,25 (73,5), Ne 6143,06 (52,3), Ne 6382,99 (45,4), Ar
8115,31 (73,7), Ar 7635,11 (72,6), Ar 8014,79 (59,1), Kr
8059,50 (60,0), Kr 8190,05 (55,5), Kr 7601,51 (52,6), Xe
8231,63 (51,1), Xe 8280,12 (47,1), Xe 8205,34 (31,0).

В скобках указана величина поглощения (в %). Величина относит. стандартного отклонения составляет $\sim 1,7\%$,

Библ. 12.

В. Мосичев

He

H⁻

^{1S}e

1966

12 Д16. Расчет энергий ^{1S_e} автоионизационных состояний He и H⁻. Holøien E. Energy calculation of ^{1S_e} autoionizing states of He and H⁻. «Proc. Phys. Soc.», 1966, 88, № 2, 538—539 (англ.)
Исправления к статьям РЖФиз, 1958, № 10, 22538;
1959, № 4, 7826.

дп. 1966. 12 №



1966

Energy calculation of $^1S^o$ autoionizing states of He and H $^-$.
E. Holocien (Univ. of Colorado, Boulder). *Proc. Phys. Soc.* (London) 88(2), 538-9(1966)(Eng). A serious error was found in a previous calcn. of the energy of the lowest $^1S^o$ autoionizing state of He and H $^-$ made by Holocien in 1958 using the 20-order subset in the basis. The error lies in the incorrect root which is assocd. with the state. New results obtained by reexamn. of the particular roots assocd. with the 2 lowest autoionizing states are compared in detail with those obtained by expt. and other approx. methods.

RCPN

C.A. 1966. 65.2

1420a

1966

He
15^e- состояния.
4 Д20. Новое исследование $^1S^e$ автоионизационного состояния He и H-. Holstein-Erling, Midtdal John. New investigation of the $^1S^e$ autoionizing states of He and H-. «J. Chem. Phys.», 1966, 45, № 10, 3897 (англ.)

Сообщается, что ранее полученные авторами результаты (РЖФиз, 1967, 2Д9) хорошо согласуются с данными работы Барке и Тейлора (РЖФиз, 1967, 1Д44).

18

ф. 1967. 42

He I

Вр -5460-IV

1966

6 Д192. Значения некоторых термов в гелиевой изоэлектронной последовательности. Kelly Raymond L., Booth Roger G. Some term values in the helium isoelectronic sequence. «J. Opt. Soc. America», 1966, 56, № 11, 1639 (англ.)

На электронной вычислительной машине проведена оценка параметров A , B и C для расчета термов в Неизоэлектронной последовательности (HeI, LiIII, BeIII, BIV, CV, NVI, OVII, FVIII, NeIX, NaX, MgXI и AlXII) по экстраполяционной ф-ле вида $T = A + \overline{BZ} + CZ^2$. Получены численные величины следующих термов: $1s^2\ ^1S$, $2s^1S$, $2s^3S$, $2p^3P$, $3p^3P$, $2p^1P$, $3p^1P$, $4p^1P$, $5p^1P$, $6p^1P$ и $3d^3D$. Для термов $2s^1S$ и $2s^3S$ расчет проводили двумя способами: по ф-ле Акериба $T = (a + bz)z$, параметры a и b определяли заранее по

09.1967. 62

19

известным величинам термов данной серии; по интервалам между $2s^1S$ - и $2s^3S$ -термами путем описания их полиномом 2-й степени. При этом получены совпадающие результаты. Для переходов $2s^2S - np^1P$, $n=3$ и 4, предсказанные длины волн равны (в Å): 1419,65 и 1092,50 (LiII), 661,45 и 529,97 (BeIII), 380,84 и 288,06 (BIV), 247,14 и 186,24 (CV); 173,05 и 130,16 (NVII), 127,92 и 96,03 (OVII) и 98,34 (FVIII). В. Мосичев

He

1966

Auto-ionizing states in helium. Lester Lipsky and Arnold Russek (Univ. of Connecticut, Storrs). *Phys. Rev.* 142(1), 59-71(1966)(Eng). The validity of the method of diagonalizing a truncated, finite-dimensional submatrix of the Hamiltonian for the calcn. of some properties of some autoionizing states is demonstrated, using projection operators. The truncation procedure is an example of the Feshbach formalism (*CA* 57, 16056g). It differs from other approaches employing the Feshbach formalism mainly in point of view and in the particular choice of the projection operators. Detailed calcns. using the diagonalization method are carried out for the lowest autoionizing states of He with symmetry $^1S^o$, $^1P^o$, or $^3P^o$. The basis used for the singlet S states is of dimension 42, including all properly antisymmetrized hydrogenic functions with $Z = 2$ for all angular configurations up to $g-g$. For the P states all angular configurations up to $f-g$ are included, resulting in a 55-dimensional basis set.

C.A. 1966. 64.8

10417.48

The eigenvalues are compared with several different calcns. of resonances in electron-He⁺ elastic scattering, and with the observation of these states by optical absorption in He and by inelastic scattering of electrons, protons, and H₂⁺ on He. The eigenvectors represent the doubly excited states after the excitation has occurred and before they decay, so that they can be used to calc. absorption cross sections and lifetimes. The detailed characteristics of the eigenvectors corroborate the classification scheme of Cooper, *et al.* (*Phys. Rev. Letters* 10(12), 518-21(1963)) as far as they have gone. Good agreement is found between the calcd. level structure and the exptl. results.

RCPJ

He

Lotz W.

1966

A8C Accession No. 43169,
Rept. No. JPP-1/49. avail.
Dep. mn, 29 pp.

Ionization potentials of
atoms and ions from H
to Ni. ● (See. II)

He

Mittleman M.

1966

Phys. Rev. Letters, 1966, 16,
N 12, 498.

Однократная и двойкран-
тая ионизация He
зарегистрирована.

(See. Иониза-
ция)

sp. 1966. 87 37

He (E_i) II #2189 1966

Peat P.D., Brown R.J.C.

Canad. J. Phys., 1966, 44, 16, 1349 -
-1357/accuracy

A simple density matrix approach
to atomic spectra.



Pugy, 1966, 12/218

He

(J)

SP-11-2296

1966

The ionization energy of the helium atom. M. J. Seaton (Univ. Coll., London). *Proc. Phys. Soc. (London)* 87(1), 337-9(1966)(Eng). An improved method of calcg. series limits T_{∞} is presented: this consists in varying simultaneously T_{∞} and the coeffs. in the energy expansion of the quantum defect so as to obtain a least-sqs. fit to observed series term values. Analysis of the 1D , 3D , and 3F series of He using this method gives $T_{\infty} = 198\ 310.74 \pm 0.02\ \text{cm.}^{-1}$, compared with $198\ 310.82 \pm 0.05\ \text{cm.}^{-1}$ obtained by Herzberg (*CA* 54, 14927b), the quoted error estimates being standard deviations in fitting procedures. An independent estimate of $198\ 310.77 \pm 0.02\ \text{cm.}^{-1}$ is obtained for the 3F series using a polarization formula. The best est. of T_{∞} for He is $198\ 310.75\ \text{cm.}^{-1}$, with the error in fitting procedures unlikely to exceed $\pm 0.02\ \text{cm.}^{-1}$

RCPN

C.A. 1966. 64.5
5771

БР-XI-2296

1966

He

6 Д23. Энергия ионизации атома гелия. S. e. a.-
tton M. J. The ionization energy of the helium atom.
«Proc. Phys. Soc.», 1966, 87, № 1, 337—339 (англ.)

(9)

Предложен уточненный метод определения предельного значения T_∞ энергии системы термов (энергии ионизации) атома He. Метод состоит в подборе величины T_∞ и коэф. разложения квантового дефекта $\mu(T)$ по степеням T/R таким образом, чтобы получить наилучшее согласие энергий ряда термов T_n из ф-лы $T_n = T_\infty - R(n - (\mu))^{-2}$ с их эксперим. значениями (R — постоянная Ридберга). С помощью эксперим. данных для серий, соответствующих переходам $n'D \rightarrow 2'P$, $n^3P \rightarrow 2^3P$ и $n^3F \rightarrow 3^3D$, получено значение $T_\infty = 198310,74 \pm 0,02 \text{ см}^{-1}$. Поляризационная ф-ла для серии 3F дает $T_\infty = 198310,77 \pm 0,02 \text{ см}^{-1}$. Наилучшим значением для T_∞ является величина $198310,75 \text{ см}^{-1}$. Погрешность не превышает $0,02 \text{ см}^{-1}$ и связана с использованием метода наименьших квадратов.

А. Шерстюк

3

оф 1966. 6 №

Физ. 10

539.2

Wentorf R. H. Jr, Darrow K. A.

Semiconducting diamonds by ion bombardment.

Phys. Rev., 1965, 137, N 5A, 1614—1616.

Получение полупроводниковых алмазов под действием ионной бомбардировки. Библиогр. 12 назв.

He

ВФ-5549-1к

1966

Д1Д12. Релятивистские поправки к собственным значениям $2^{1,4}S$ -состояний в изоэлектронном ряду He.
Stewart A. L. The relativistic corrections to the eigenvalues of the $2^{1,3}S$ states of the helium sequence. «Proc. Phys. Soc.», 1966, 88, № 2, 311—314 (англ.)

Методом Далгарно и Стоарта вычисляются релятив. поправки (ΔJ_R) к потенциалам ионизации (J) для $1s2s^{1,3}S$ -состояний, отвечающих элементам изоэлектронного ряда He. Полученные выражения для ΔJ_R с точностью до малой поправки совпадают с точными расчетами Пекериса для He и Li^+ . С помощью нерелятив. значений для J , рассчитанных Гартом и Герцбергом, для Be^{2+} , B^{3+} и O^{6+} получено соответственно: 284 740, 490 438 и 1 437 765 см^{-1} . Соответствующие эксперим. значения J равны: 284 729, 490 455 и 1 437 660 см^{-1} . Е. П.

+5

5549

1

дн. 1966. 10

☒

1966
A652
 $\text{Zi} (\text{H}, \underline{\text{He}}, \text{Li}, \text{C}, \text{N}, \text{O}, \underline{\text{F}}, \underline{\text{Ne}}, \text{Na}, \text{Mg}, \text{Al}, \text{Si},$
 $\text{Cl}, \underline{\text{Ar}}, \text{K}, \text{Ca}, \text{Ti}, \text{Fe}, \text{Cse}, \underline{\text{Kr}}, \underline{\text{Xe}}, \text{Cs})$

Стреганов А.Р., Свентицкий Н.С.,

Атомиздат, М., 1966, 899 стр

Таблицы спектральных линий нейтральных и
ионизованных атомов.

10

He

1967

10 Д22. Некоторые свойства атомарного He.
Bell K. L., Kingston A. E. Some properties of atomic
helium. «Proc. Phys. Soc.», 1967, 90, № 4, 901—907
(англ.)

Методика уточнения теоретич. значений сил осцилляторов f_n на основе использования известных значений сумм вида $S(k) = \sum_n f_n (E_0 - E_n)^k$. (РЖФиз, 1958, № 5,

*физик.
св-ва*

10364) применяется для расчета различных свойств атомарного He. Результаты расчетов последних лет, выполненных различными авторами, позволили использовать в качестве исходных данных более точные теоретич. значения сил осцилляторов некоторых дипольных переходов из основного состояния в состояния дискретного и непрерывного спектра. Значения сил ос-

Ф. 1967. 10

цилляторов, для которых не имеется точных теоретич. данных, получены посредством аналитич. аппроксимации. Для уточнения исходных данных использованы известные значения $S(k)$ при $k=2, 1, 0$, и -1 . Полученные результаты позволили вычислить значения лэмбовского сдвига, средних энергий возбуждения, сечений ионизации при высоких энергиях, показателя преломления для длин волн $600 \text{ \AA} < \lambda < 5462 \text{ \AA}$, постоянной Верде для длин волн $600 \text{ \AA} < \lambda < 9000 \text{ \AA}$ и постоянной ван-дер-ваальсовского взаимодействия. Погрешности большинства вычисленных величин, согласно оценке, не превышают 1%, что подтверждается сравнением с имеющимися эксперим. данными. Т. обр., точность полученных авторами значений значительно превышает точность соот-

цих значений, вычисленных ранее этим же

А. И. Шерстюк

He (³S)

1967

ЗД48. Измерение сродства к электрону атома гелия с помощью фотоотрыва электрона от положительного иона в луче лазера. Gehm B., Gusinow M. A., Hall J. L. Electron affinity of helium via laser photodetachment of its negative ion. «Phys. Rev. Letters», 1967, 19, № 13, 737—741 (англ.)

(A)

XV - 968

Установка состояла из источника отрицат. ионов, масс-фильтра, лазера, анализатора электронов по энергиям и системы регистрации электронов. Калибровка шкалы энергий анализатора производилась путем изучения фотоотрыва от отрицат. ионов H^- и D^- с известной энергией связи электрона. Для величины сродства к электрону $He(^3S)$ получено $0,08 \pm 0,002$ эв. Величины сечений фотоотрыва при $\lambda = 5145 \text{ \AA}$ для образования атомов He в конечных состояниях 3P и 3S соответственно равны $7 \cdot 10^{-19}$ и $5 \cdot 10^{-18} \text{ см}^2$.

Г. К.

9. 1968. 38

He

(A)

6392e Electron affinity of helium via laser photodetachment of its negative ion. B. Brehm, M. A. Gusinow, and J. L. Hall (Natl. Bur. of Stds., Boulder, Colorado). *Phys. Rev. Lett.* 19(13), 737-41(1967)(Eng). The 1st direct measurement of the electron affinity of He (2^3S) is reported by the technique of energy analysis of electrons photodetached from a beam of neg. He ions by monochromatic (laser) light. With the monochromatic source one expects the electron energy spectrum to show a sharp peak at the appropriate energy-conserving kinetic energy. Transitions from excited ion states and (or) residual excitation left in the neutral atom (or mol.) will consequently appear directly in the electron energy spectrum. The app. consists basically of: ion source, Wien (mass) filter, laser light source, electron energy analyzer, and pulse-counting and control electronics. The affinity of He (2^3S) is 80.0 mv. with ~ 2 mv. probable error. A value of ± 8 mv. is assigned as the error limits at 95% confidence for systematic effects. 9 references.

JDIN

XI-968
1967

CIA 1968 68-2

ВФ - 5921-*V*

1967

He

1 Д19. Использование волновых функций типа функций Экарта для расчета возбужденных состояний двух-электронных атомов. Chong D. P. Eckart-type wave-functions for excited states of two-electron atoms. «Molec. Phys.», 1967, 12, № 6, 599—600 (англ.)

(1)

Представлены результаты численных расчетов низших $1,3P$ -, $1,3D$ - и $1,3F$ -состояний He, Li^+ , Be^{2+} и B^{3+} с помощью волн. ф-ций типа ф-ций Экарта. Получено удовлетворительное согласие между рассчитанными потенциалами ионизации и имеющимися эксперим. данными. Указано, что полученные результаты могут служить основой для сравнения с более трудоемкими расчетами. Волн. ф-ции Экарта могут быть полезны при сравнительном изучении приближенных значений вероятностей перехода.

Е. А. Пшеничнов

09. 1968. 18

18

He

1967

I Д19. Использование волновых функций типа функций Экарта для расчета возбужденных состояний двухэлектронных атомов. Chong D. P. Eckart-type wavefunctions for excited states of two-electron atoms. «Molec. Phys.», 1967, 12, № 6, 599—600 (англ.)

оценка

Представлены результаты численных расчетов низших ${}^1, {}^3P$ -, ${}^1, {}^3D$ - и ${}^1, {}^3F$ -состояний He, Li⁺, Be²⁺ и B³⁺ с помощью волни. ф-ций типа ф-ций Экарта. Получено удовлетворительное согласие между рассчитанными потенциалами ионизации и имеющимися эксперим. данными. Указано, что полученные результаты могут служить основой для сравнения с более трудоемкими расчетами. Волни. ф-ции Экарта могут быть полезны при сравнительном изучении приближенных значений вероятностей перехода.

Е. А. Пшеничнов

(+3)

9.1968.10

He, Ne, Ar, Kr, Xe (смесь газов) 118. (1967)

Cox H. L.

XI-2624

dissert. Abstz, 1967, 28 (6),
2368.

С.Л. 1968, 68, №20, 90005м. 10

He

1967

12 Д20. Автоионизация D -состояний Не ниже уровня $n=2$ He^+ . Cooper J. W., Ormonde S., Humphrey C. H., Vitke P. G. Autoionizing D states in He below the $n=2$ level of He^+ . «Proc. Phys. Soc.», 1967, 91, № 2, 285—287. (англ.)

Вычислен спектр автоионизационных D -состояний в атоме Не ниже уровня $n=2$ в He^+ . Метод определения резонансов основан на приближении сильной связи $1s - 2s - 2p$ -состояний, соответствующих электрону сплошного спектра в поле He^+ . Рассмотрены спиновые состояния $S=0$ и $S=1$ и полный угловой момент системы $L=2$ при энергиях ниже первого порога возбуждения иона He^+ . В окрестности резонансов вычисленные фазы аппроксимировались ф-лой:

99. 1967-12

$$\delta(E) = \delta_0 + \operatorname{ctg} n^{-1} \frac{E_r - E}{1/2\Gamma},$$

на основании которой оценивались положения резонанса E_r и ширина уровня Γ . Сдвиг уровня из-за связи с открытыми каналами не оценивался. Отмечено, что ширины всех резонансов, за исключением 1D -серии, не доступны для прямой эксперим. проверки ($\Gamma \sim 10^{-4}$ — 10^{-8} эв).

В. Д. Объедков

He

1967

11 Д25. Исследование методом пересечения уровней сверхтонкой структуры уровней атома гелия, возбужденного электронным ударом. Descombe J. P. Mesures, à l'aide de la méthode des croisements de niveaux, de structures hyperfinées de l'hélium excité par choc électronique. «Colloq. internat. Centre nat. rech. scient.», 1967, № 164, 335—344 (франц.; рез. англ.)

Методом пересечения уровней в магн. поле измерена сверхтонкая структура уровней атомов гелия (He^4 , He^3), возбуждаемых электронным ударом. Возбуждение атомов Не производилось пучком медленных электронов, скорости которых перпендикулярны направлению внешнего магн. поля. В этих условиях возникает разница в заселенности различных зеемановских подуровней и, кроме того, в зависимости от угла наблюдения излучения изменяется картина интерференции когер. излучения

9. 1967. 112

различных зеемановских подуровней, вырожденных при пересечении (РЖФиз, 1965, 9Д42). Из зависимости интенсивности линейно поляризованного излучения от угла наблюдения для переходов с $\Delta M=1$ и 2 получены тонкая и сверхтонкая структуры уровней и естественная ширина линий излучения следующих низколежащих возбужденных состояний атомов He⁴ и He³: (3÷9)³P, (3÷7)³D. По величине естественной ширины линий излучения вычислены времена жизни указанных состояний.

Ю. Н. Беляев

1967

He

) 5 Д170. Определение абсолютных сечений ионизации атомов гелия, неона, аргона и молекулы ацетилена электронным пучком с энергией электронов от 100 до 2000 эв. Gaudin Albert, Hagemann Robert. Déterminations absolues des sections efficaces totales et partielles d'ionisation de l'hélium, du néon, de l'argon et de l'acétylène, pour des électrons de 100 A 2000 eV.

«J. chim. phys. et phys.-chim. biol.», 1967, 64, № 7—8, 1209—1221 (франц.; рез. англ.)

Полное и парциальные эффективные сечения ионизации He, Ne, Ar и C₂H₂ были определены экспериментально в области энергий электронов от 100 до 2000 эв. Полное эффективное сечение ионизации определялось

sp. 1968. 5 №

5

путем измерения положения тока ионов, образующихся в камере ионизации при прохождении электронного пучка по траектории известной длины. Электронный ток изменялся от 0,5 до 4 μ а в области энергий электронов 100—2000 эв. Давление в ионизационной камере было порядка $3 \cdot 10^{-5} \div 10^{-4}$ мм рт ст. Погрешность определения общих эффективных сечений ионизации не превышает 10% и определяется, в основном, погрешностью в определении силы ионного тока. Общее эффективное сечение ионизации складывается из парциальных эффективных сечений образования n -кратно заряженных ионов:

$$\sigma_{общ} = \sigma_1 + 2\sigma_2 + \dots + n\sigma_n.$$

Относит. кол-во n -кратно заряженных ионов измерялось на масс-спектрометре с разрешением 150. Экспериментально определены абр. значения эффективных парциальных сечений ионизации для однократно и двукратно заряженных ионов Не, от однократно до четырехкратно заряженных ионов Ne, от однократно до пятикратно заряженных ионов Ar и для следующих осколков молекулы ацетилена: $C_2H_2^+$; C_2H^+ ; C_2^+ ; CH^+ ; C^+ ; $C_2H_2^{++}$; C_2H^{++} . Согласно приближению Бете — Борна эффективное сечение ионизации σ уменьшается с увеличением энергии ионизующих электронов и может быть записано:

$$\sigma_n \quad (n > 1) = \frac{A_n + \lg B_n + E}{E} + \frac{C_n}{E}$$

где первый член соответствует оптически разрешенному переходу (дипольный тип) и второй член — оптически запрещенному переходу (квадрупольный тип). Постоянная A соответствует относит. вероятности дипольного перехода, C — относит. вероятности квадрупольного перехода и B — величина, обратная энергии, соответствующей потенциальному ионизации. Экспериментально построенные зависимости $\sigma_n \times E$ как функции $\lg E$ позволили определить области применимости законов $\sigma E = A \lg BE$ и $\sigma E = \text{const}$ для ионизации исследуемых газов в области энергий электронов от 100 до 2000 эв.

Г. П. Петрова

He 3

1967

4 Д351. Микроволновое излучение однозаряженного He^3 в области H(II). Goldwirе H. C., Jr, Goss W. Miller. Microwave radiation of singly charged helium 3 from H II regions. «Astrophys. J.», 1967, 149, № 1, Part 1, 15—22 (англ.)

Обсуждается сверхтонкая структура основного состояния He^3 (II). Время жизни в верхнем сверхтонком состоянии для спонтанного излучения 3,46 см оценено в 16 000 лет. Спиновая т-ра He^3 (II) в области H (II) равна кинетич. т-ре в этой области. Показано, что ожидаемые интенсивности излучения сверхтонких переходов основного состояния в области H (II) находятся на пре-

09.1968.4

деле чувствительности современных приборов. Наблюдение микроволни. излучения сверхтонких переходов He^3 позволяет повысить чувствительность обнаружения He^3 на 2—3 порядка по сравнению с обычными оптич. методами; нижний предел чувствительности для микроволни. излучения достигает $\sim 10^{-5}\text{He}^3/\text{Н}$. Обсуждаются причины возникновения He^3 в межзвездном пространстве.
Библ. 27.

Э. В. Б.

He

(1967)

8 Д29. Расчет энергии метастабильного состояния $(1s2s2p)^4P^0$ He⁻ и Li. Holøien E., Midtdal J. Energy calculation of the metastable $(1s2s2p)^4P^0$ state of He⁻ and Li. «Proc. Phys. Soc.», 1967, 90, № 3, 883—885 (англ.)

Исправлена алгебраич. ошибка, допущенная в ранее опубликованной статье этих же авторов (РЖФиз, 1956, № 10, 28264) в выражении для матричных элементов оператора кинетич. энергии иона He⁻. Поправочный член отличен от нуля только при использовании базисных ф-ций, учитывающих корреляцию. Приведены исправленные значения полной энергии состояния $(1s2s2p)^4P^0$ с использованием 4 и 15 базисных ф-ций для He⁻ и коэф. разложения по 15 базисным ф-циям для He⁻ и Li. Новое значение энергии для Li лучше согласуется с эксперим. данными. А. И. Шерстюк

Ф. 1967. 82

9

1967

He, Ne,
H₂, Kr, Xe

sunspots.

grappa

90005m An electron diffraction study of helium, neon, argon, krypton, and xenon. Hollace Lawton Cox, Jr. (Indiana Univ., Bloomington, Indiana). *Diss. Abstr. B* 28(6), 2368(1967)(Eng). Univ. Microfilms (Ann Arbor, Mich.), Order No. 67-15,079, 129 pp.

SNDC

+4

C.A. 1968-68-20



He

Lotz W.

1907

J. Opt. Soc. Amer., 57,
N^o, 873.

также как и
аналогично
μ γо Zn • (см. He)

He 4

He 3

(Уровни)

11 Д274. Структура уровней He^4 и He^3 , возбужденных электронной бомбардировкой. Маулен Michel-le, Descoubes Jean-Pierre. Structure de niveaux de ${}^4\text{He}$ et ${}^3\text{He}$ excités par bombardement électronique transversal. «С. г. Acad. sci.», 1967, 264, № 24, В 1653—В 1655 (франц.)

Измерение интенсивности двух взаимно-перпендикулярных составляющих светового излучения возбужденных уровней с помощью фотоумножителей и использование многоступенчатого анализатора позволило улучшить схему регистрации метода пересечения уровней. (РЖФиз, 1966, 4Д32). Найдены новые и уточнены ранее определенные уровни тонкой и сверхтонкой структуры He^4 и He^3 в области 2600—12 800 Å. Данные об уровнях, переходах, временах жизни приведены в таблице.

Г. В. Маргулис

09. 1967. 11. 8

he

1987

- 16651c Atomic heat of quartz at liquid helium temperatures.
N. S. Natarajan (Natl. Phys. Lab., New Delhi). *Indian J. Pure Appl. Phys.* 5(8), 372-3(1967)(Eng). The heat capacity of quartz was measured at liq. He temps. with the help of a hermetically sealed vacuum calorimeter and a value for the Debye temp. (Θ) = 542°K . is obtained, which is very much nearer to the theoretical value worked out by earlier investigators (Anderson, CA 30: 3709⁴).
RCXZ

DHO

C.A. 1988. 08. 4

1964

He

Pebay - Peyroula Y. C.
Chenevier M., & Zullet G.

Colloq. Int. Centre Nat. Rech
Sci., N162, 71-92.

Electronic bombardment
as a method for studying
excited atomic levels.

(See. Hg)

1967

He

COMICS A
yes

22014j Ionization of the helium atom by electron impact.
Pecul, K. (Inst. Nucl. Res., Warsaw/Zeran, Poland). *Acta Phys. Pol.* 1967, 32(4), 605-9 (Eng). Cross sections for the ionization of the He atom by electron impact were calcd. in the Born approxn. by using several sets of parameters in the wavefunction for the initial and final state. Some errors in the results published by other authors are cor. The dependence of the calcd. cross section on the choice of wavefunction is discussed.
17 references.

JDJN

C.A. 1968-69-6

He

1967

4 Д177. Возбуждение гелия, азота и оксиа азота быстрыми протонами и атомами водорода. R. b. D. s. o. n. J. M., Gilb ody H. B. Excitation of helium, nitrogen and nitric oxide by fast protons and hydrogen atoms. «Proc. Phys. Soc.», 1967, 92, № 3, 589—601 (англ.)

Путем спектроскопич. анализа света, излучаемого в результате спонтанного распада возбужденных частиц, определены сечения возбуждения He , N_2 и NO протонами и сечения возбуждения He и N_2 атомами водорода. Энергия протонов E изменялась от 60 до 400 кэв, а энергия атомов водорода от 60 до 150 кэв. Измерения проводились в условиях однократных столкновений в интервале 3900—6000 А. Пучок протонов с интенсив-

+2

09.1968.4

⊗

нностью до 0.1 мк от ускорителя Ван-де-Граафа или пучок атомов водорода, образуемый в результате перезарядки протонов, проходил через щель $3 \times 5 \text{ мм}$ в камеру столкновений диаметром 15 см , наполненную Не или N_2 до давл. $5 \cdot 10^{-3} \text{ мм рт. ст.}$ или NO до давл. $10^{-3} \text{ мм рт. ст.}$ Излучаемый с короткого пути и под данным телесным углом свет попадал в спектрограф. Выходные сигналы от фотоумножителя усекорялись и регистрировались с помощью самописца. Абс. точность измерения сечений составляла $\pm 20\%$. В случае Не определены ф-ции возбуждения уровняй 4^1S , 5^1S , 4^1D и 5^1D при столкновении с протонами и уровня 4^1S при столкновении Не с атомами водорода. Показано, что сечения возбуждения уменьшаются с ростом энергии протонов. Так, напр., сечение возбуждения уровня 4^1S падает от $34 \cdot 10^{-20} \text{ см}^2/\text{атом}$ при $E=60 \text{ кэв}$ до $7.4 \cdot 10^{-20} \text{ см}^2/\text{атом}$ при $E=350 \text{ кэв}$.

При возбуждении уровня 4^1S атомами водорода сечение также уменьшается с ростом энергии, но при одинаковом значении энергии оно в два—три раза меньше, чем в случае возбуждения протонами. В N_2 наиболее интенсивное излучение связано с первой отрицат. полосой перехода $2\Sigma_u^+ - x^2\Sigma_g^+$. Возбуждение его при энергии протонов выше 100 кэв происходит в результате столкновения, включающего ионизацию азота. В NO наблюдается излучение линий 4649 \AA OII и 5005 \AA NII . Они связаны с одновременно происходящими процессами диссоциативной ионизации. Сечения возбуждения заметно больше при столкновении молекул N_2 и NO с протонами, чем с атомами водорода. Измеренные значения сечений возбуждения сравниваются с данными других авторов. Абс. значения сечений весьма сильно расходятся по величине, но имеют одинаковую зависимость от энергии.

И. Флакс

He

1884

- 67795q Extended Hartree-Fock calculations for the helium ground state. Roland Lefebvre and Yves G. Smeyers (Centre Mecan. Ondulatoire Appl., Paris). *Int. J. Quantum Chem.* 1(4), 403-19(1967)(Eng). The extended Hartree-Fock (EHF) wavefunction of an n -electron system is defined (Loewdin, *Phys. Rev.* 97, 1509(1955)) as the best Slater determinant built on 1-electron spin orbitals having a complete flexibility and projected onto an appropriate symmetry subspace. The configuration interaction equiv. to such a wavefunction for the 1S state of a 2-electron atom is discussed. There is in this case an infinite no. of solns. to the variational problem with energies lower than that of the usual Hartree-Fock function, and with spin orbitals satisfying all the extremum conditions. Two procedures for obtaining EHF spin orbitals are presented. An application to the ground state of He within a basic set made up of $4(s)$, $3(p_0)$, $2(d_0)$, and $1(f_0)$ Slater orbitals has produced 90% of the correlation energy. 15 references.

RCMS

C.A. 1967. 67. 14

1967

He

10 Д21. Энергетические состояния гелия. I. Новый тип волновых функций для однократно возбужденных 1S -состояний. Schrader David M. Helium states. I. Novel wave functions for singly excited 1S states. «Theoret. chim. acta», 1967, 7, № 2, 97—102 (англ.; рез. нем., франц.)

Прямым вариац. методом проведены расчеты энергий и воли. ф-ций 2^1S -, 3^1S - и 4^1S -состояний атома Не с одним возбужденным электроном. В качестве пробных ф-ций выбирались частично учитывающие корреляцию ф-ции вида:

$$\psi = \phi(akr_<) \psi_n(kr_>),$$

где $r_<$ и $r_>$ — соответственно меньшее и большее из значений r_1 и r_2 . $\phi(r)$ — водородоподобная 1 s-ф-ция, а

09.1967.10

$\psi_n(r)$ — водородоподобные ns -ф-ции ($n=2, 3, 4$) с экранированным зарядом ядра. При минимизации энергии по параметру a на волн. ф-ции не налагалось требования ортогональности к ф-ции основного состояния. Для состояния 2^1S получено 2 минимума, причем более глубокий из них при $a=0,3175$, как показал анализ интегралов перекрывания с более точными волн. ф-циями, приближенно соответствует основному состоянию, тогда как минимум при $a=1,7250$ относится к 2^1S -состоянию. Для 3^1S - и 4^1S -состояний получено по одному минимуму. Расчеты дают для энергий 2^1S -, 3^1S - и 4^1S -состояний соответственно значения — 2,13920, — 2,059102 и — 2,032653 ат. ед., тогда как эксперим. значения равны — 2,14600, — 2,06130 и — 2,03361 ат. ед.

А. И. Шерстюк

He

VI-4051

1967

11 Д17. Общее рассмотрение метастабильных компонент. Watel Guy, Considérations générales sur les métastables. «Bibliogr. CEA», (1967, № 89, 55 р., ill. (франц.; рез. англ.)

Обзор наиболее изученных метастабильных состояний атомов He, Ne, H и Hg.

Обзор

метастабильных
состоиний

49. 1967. 110

2

He

1968

8 Д185. Ионизация метастабильными атомами гелия по Пеннингу. Bell K. L., Dalgarno A., Kingston A. E. Penning ionization by metastable helium atoms. «J. Phys. (Proc. Phys. Soc.) [formerly «Proc. Phys. Soc»], 1968, B 1, № 1, 18—22 (англ.)

Рассчитаны константы C ван-дер-ваальсовского взаимодействия между состояниями 2^1S и 2^3S атома гелия и атомами и молекулами Ne, Ar, Kr, Xe, H₂, O₂, N₂, CH₄, Li, Na, K, Rb, Cs и O. Использован метод частотно-зависящей дипольной поляризуемости. Необходимые параметры частиц (силы, осцилляторов и дипольные поляризуемости) либо заимствованы из эксперим. данных, либо рассчитаны. Ошибка в константе C предполагается не выше 30%, а в ряде случаев значительно меньше. Для оценки константы скорости ионизации по Пеннингу использовано предположение об образовании

09. 1968. 89

долгоживущего вращающегося комплекса (HeX)* и модель Джиномузиса — Стивенсона, при этом сечение ионизации дается следующей ф-лой $\sigma_c = 1,66 \cdot 10^{-16} (C/E)^{1/3} \text{ см}^2$. Ранее в предположении применимости ф-лы для сечения передачи импульса было получено следующее соотношение $\sigma_c = 1,39 \cdot 10^{-16} (C/E)^{1/3} \text{ см}^2$. Рассчитанные с помощью первой ф-лы вероятности пенинговой ионизации существенно отличаются от вероятностей, рассчитанных по второй ф-ле, причем расхождение не может быть объяснено уточнением констант ван-дер-ваальсовского взаимодействия С. Оценены сечения пенинговой ионизации с участием He(2^3S), по которым отсутствуют какие-либо эксперим. данные.

В. К. Быховский

ВФ-62-1Х

1968

He

кв. - нех.
расчет

10 Д99. Коррелированные атомные и молекулярные волновые функции с ограниченным гауссовским базисом. Chesick J. P., Fraser S. J., Linnett J. W. Correlated atomic and molecular wavefunctions using limited Gaussian basis sets. «Trans. Faraday Soc.», 1968, 64, № 2, 257—268 (англ.)

Основным недостатком гауссовского базиса в атомных и молекулярных расчетах является тот факт, что для вычисления с заданной точностью полной энергии системы гауссовых ф-ций требуется приблизительно вдвое больше, чем слейтеровских. Авторы высказывают предположение, что плохая сходимость при вычислении полной энергии обусловлена в первую очередь плохой аппроксимацией волн. ф-ций внутренних электронов. Отсюда следует, что вычисления с гауссовским базисом

9. 1968

108

☒

целесообразнее проводить для величин, содержащих разности молекулярных и атомных вкладов, напр. для энергий диссоциации. В связи с этим на основе гауссовского базиса рассчитаны энергии атомов и молекул He , Li^+ , Be^{2+} , Li , Be^+ , Be , H_2 , Li_2 , Li_2^+ и LiH . Учитывалась корреляция пары внешних электронов с помощью корреляционного множителя вида $\exp(-cr_{12}^2)$, где r_{12} — межэлектронное расстояние. Энергии диссоциации молекул H_2 , Li_2 и LiH рассчитаны с точностью до $0,2-0,4$ эв. Рассчитаны также некоторые другие характеристики молекул (частоты колебаний и т. п.).

Л. Н. Лабзовский

He

✓ 19 Б22. Коррелированные атомные и молекулярные волновые функции, построенные из ограниченных гауссовых базисных наборов. Chesick J. P., Fraser S. J., Linnett J. W. Correlated atomic and molecular wavefunctions using limited Gaussian basis sets. «Trans. Faraday Soc.», 1968, 64, № 2, 257—268 (англ.)

При использовании ограниченных гауссовых базисных наборов исследовано электронное строение He, Li⁺, Be²⁺, Li, Be⁺, Be, H₂, Li₂⁺, Li₂, LiH с целью исследования возможности получения разумных значений колебательных частот, энергий диссоциации и потенциалов ионизации с неточной функцией остова, которая дает неправильные величины полной энергии системы. Путем введения в волновую функцию специального члена электронной корреляции учитывались корреляционные эффекты для внешних электронных оболочек Be, H₂, Li₂ и LiH. Энергии диссоциации для H₂, Li₂ и LiH рассчитаны с ошибками 0,20, 0,31 и 0,40 эв соответственно.

Резюме

X · 1968 ·

19

1968-62-1X

1968

He

11 Д19. Состояние 2^3S гелия. Егмоляев А. М.,
 Sochilin G. B. 2^3S state of helium. «Internat. J. Quant.
 Chem.», 1968, 2, № 3, 333—339 (афр.; рез. франц., нем.)

Ранее примененный только к основному состоянию атома гелия быстро сходящийся метод теперь обобщается на случай возбужденных S -состояний. Метод основывается на разложении волн. ф-ции по степеням $\sqrt{r_1^2 + r_2^2}$,

$\ln(r_1^2 + r_2^2)$, $w = r_{12}/\sqrt{r_1^2 + r_2^2}$. Для внутреннего и внешнего электронов используются различные эффективные заряды ядра. Математич. ожидания для различных операторов очень хорошо согласуются с данными других работ.

З. Б. Рудзикас

90, 1968 · 118

1968

He

109982x Quantum mechanical study of the $F^1\pi_u$ and $f^3\pi_u$ states of helium. Gupta, Balkrishna (Univ. of Texas, Austin, Tex.). 1968, 128 pp. (Eng). Avail. Univ. Microfilms, Ann Arbor, Mich., Order No. 68-10,838. From *Diss. Abstr. B* 1968, 29(2), 718.

SNDC

ab. recd.

Received

C.A. 1968-69-26

He

8 Д13. Тонкая структура терма 3^3D атома гелия.
Kaul R. D. Helium 3^3D fine structure. «J. Opt. Soc. Amer.», 1968, 58, № 3, 429 (англ.)

1968

Методом спектроскопии пересечения уровнями исследовалась тонкая структура терма 3^3D_1 атома гелия. Возбуждение атомов гелия производилось бомбардировкой ионами H_2^+ , обладавшими энергией 40 кэв. В направлении, перпендикулярном к пучку ионов, прилагалось постоянное магн. поле (напряженность которого подбиралась так, чтобы достигались пересечения различных зеемановских уровней тонких компонент $J=1, 2, 3$ с $\Delta m_J=2$). В направлении, перпендикулярном как к пучку ионов, так и магн. полю, регистрировалась интенсивность линии испускания 5875 Å (переход 3^3D-2^3P), поляризованного вдоль ионного пучка. По расположению сигнала пересечения уровня определено тонкое расщепление терма 3^3D . Для разностей энергии компонент тонкой структуры найдено: $3^3D_1-3^3D_2 (1327,2 \pm 1,1) \text{ МГц}$, $3^3D_2-3^3D_3 (72,7 \pm 1,0) \text{ МГц}$. По ширине сигнала найдено время жизни уровня $3^3D (1.32 \pm 0.07) \cdot 10^{-8} \text{ сек.}$ Т. К. Ребане

Ф. 1968. 88

1968

He.

40739z Ionization of helium near threshold by electron impact. Krige, G. J.; Gordon, S. M.; Haarhoff, P. C. (Chem. Div., At. Energ. Board, Pelindaba, S. Africa). *Z. Naturforsch.*, A 1968, 23(9), 1383-5 (Eng). The threshold law for the cross section of ionization for simple monat. gases by electron impact has recently been reinvestigated (J. W. McGowan and E. M. Clarke, 1968 and C. E. Brion and G. E. Thomas, 1968). By using the retarding p.d. technique, it has been found that the ionization efficiency curve for He^+ is nonlinear for at least 2 ev. above threshold, and that over this region, it is in agreement with the one reported by Brion and Thomas, who used a 127° electrostatic energy selector. No definite conclusion can be drawn regarding the situation prevailing at higher energies.

Raylene Adams Coad

use of ageing
freely from
y gap will

C.A. 1969. 90. 10

1968.

He.

3 Д246. Определение коэффициента поглощения для линии Не по контуру спектральных линий с помощью интерферометра Фабри—Перо. Макаров А. П. «Оптика и спектроскопия», 1968, 25, № 4, бт1—бт3

Рассчитаны зависимости $\Delta v_d / \Delta v_D$ от $K_0 l$ (Δv_d — ширина дисперсионной части контура, Δv_D — допплеровская ширина, K_0 — коэф. поглощения в центре линии) для различных параметров смешанного контура (α менялось от 0 до 0,6) для линий Не в газовом разряде. Учтено влияние аппаратного уширения, вносимого интерферометром Фабри—Перо. Полученные величины сравнены с найденными методом полного поглощения.

атомное
абсорб.
исслед.

09.1969. 39

3 ~ jet

1968

1S-2S

nefexog

107951s Multiple ionization of the rare gases by successive electron impacts (0-250 ev.). II. 1S-2S transition in ${}^3\text{He}^+$. P. A. Redhead and S. Feser (Nat. Res. Coun., Ottawa, Can.). *Can. J. Phys.* 46(7), 865-9(1968)(Eng). The tertiary collision sequence of electrons with helium ($\text{He} \rightarrow \text{He}^+ \rightarrow \text{He}^{+m}(2S) \rightarrow \text{He}^{2+}$) was observed with a trapped-ion mass spectrometer. The variation of He^{2+} ion current with electron energy shows a threshold at 40.8 ev., and structure, which results from excitation to autoionizing states of the atom below the $n = 3$ threshold of He^+ , is observed in the range 45-49 ev. Est. of the cross section for the 1S-2S transition in He^+ lie slightly below the values from close-coupling calcns.

RCCN

C.A. 1968. 68. 24

He

Perrrott R. H.,
Stewart A. A.

1968

g.
bi

Proc. Phys. Soc., London,
At. Mol. Phys., [2] 1 (6),
1226.

(Coll. H-) III

1968

He I

(Ei)

179657 The $(ns)^2$ 1S states of the helium atom. Robert
Brent Stevenson (Univ. of Iowa, Iowa City, Iowa). Diss.
Abstr. B 28(7), 2800(1968)(Eng). *Univ. Microfilms* (Ann Arbor,
Mich.), Order No. 67-17,846, 80 pp. SNDC

C.A. 1968.

68-24

He

1968

8 Д14. Инварианты группы R_4 для двукратно возбужденных состояний гелия. Wulfman C. E. R_4 invariants for doubly excited states of helium. «Phys. Letters», 1968, A 26, № 9, 397—398 (англ.)

Двухэлектронные состояния, обозначаемые символом $2s+1\pi B_{N1Q1}(nn')$, предлагаются классифицировать по схеме $NQLM$. Здесь s , π , B и n — полный спин, четность, полный орбитальный момент и главное квантовое число n , а N и Q — новые квантовые числа, соответствующие инвариантам группы R_4 (РЖФиз, 1962, 2A221). Схема $NQLM$ эффективно может быть использована для классификации тех метастабильных состояний, в которых с точностью до первого приближения оба электрона находятся на втором квантовом уровне ($n=2$). Напр., по схеме $NQLM$ состояния ${}^1S_{30}(22)$ и ${}^1S_{10}(22)$ содержат конфигурации $2s^2$ и $2p^2$ в отношении 1,732 и 0,577, а по точным расчетам они равны 1,726 и 0,600, соответственно. Классически Q определяет относительное расположение кеплеровских орбит и является весьма хорошим квантовым числом.

И. В. Чиплис

09. 1968. 89

broadgauge rays (E_i) 11 Dec 1968

Young R.P., He XI 566

U.S. Clearing house Fed. Sci. Tech. Inform.,

AD 1968, AD-680198, 134 pp.

Spectrum transitions and their
wavelengths from 2000 to 10000 Å
for rare gas atoms.

6

(continued) 10

(A, 1969, 10, 124, 110125)

He

XI-95

1969

24 Б21. Приближенные Хартри—Фоковские энергии 1^1S^1 и 2^3S^3 состояний атома гелия для трехпараметрических орбит, построенных обобщением слейтеровских и гауссовых функций. Saggie Robert H., Pilar F. L. Approximate Hartree—Fock energies of the 1^1S and 2^3S states of the helium atom using three—parameter orbitals generalized from Slater and Gaussian functions. «J. Chem. Phys.», 1969, 50, № 6, 2771—2773 (англ.)

(2)

Вариационным методом рассчитана энергия основного 1^1S и возбужденного 2^3S состояний атома гелия с использованием орбиталей вида $\psi = r^n \exp(-\alpha r^m)$. Вариационными параметрами служат n , α и m , так что АО являются функциями промежуточного типа между слейтеровскими и гауссовыми. Миним. значение энергии основ-

X. 1969. 24

ного состояния равно — 2,8615 ат. ед., что всего на 0,0002 ат. ед. выше Хартри — Фоковского значения. Рассчитанная энергия триплетного состояния равна —2,1741 ат. ед., что на 0,0009 ат. ед. меньше оцененной величины Хартри — Фоковского приближения. Интегралы, встречающиеся при расчете энергии с предложенными функциями, вычисляются стандартными методами. Часть из них табулирована.

Е. Никитин

1969

He T

82482r Validity of local thermodynamic equilibrium for the first excited levels of helium I. Deutsch, Claude (Lab. Rech. Phys., Paris, Fr.). *Phys. Lett. A* 1969, 28(7), 525-6 (Eng). Math. The range of validity for the existence of local thermodynamic equil. (LTE) conditions can be extended, when correct values of oscillator strengths, energy differences, lifetimes, and electron excitation cross sections are introduced. Validity criteria for the existence of LTE for He I excited levels are discussed.

GXJN

Mr. W. J. C. Tepke,
Mok. Tepke,
Wabke.

C.A. 1969.

40.18

1969

He

4 Д17. Расчет основного уровня энергии гелия с помощью интегралов по траекториям. Е. в. с. е. с. в. А. М.
«Докл. АН СССР», 1969, 189, № 6, 1197—1199

Предложен метод расчета энергетич. спектров кванто-
вомеханич. системы путем преобразования Фурье реаль-
ной и минимой частей интеграла по траекториям. Рассчи-
тан интеграл по траекториям как ф-ция времени для
атома гелия. Расчет произведен методом Монте-Карло
с помощью программы случайных чисел с отрезком
апериодичности в 400 000 чисел. Нижний уровень энер-
гии атома гелия оценен в 2,92 ат. ед., что отличается от
эксперим. значения на 0,57%.

осн. уровень
энергии

09.1940.

49

1969

He

Д 4 Д16. Основное состояние атома гелия. Федоров Ф. И. «Весці АН БССР. Сер. фіз.-матем.» № 5, 87—91
 АН БССР. Сер. физ.-матем. и., 1969, № 5, 87—91
 Волновая ф-ция основного состояния атома гелия строится из пробных ф-ций типа Хиллерааса

$$\psi = \sum_{v=1}^n C_v \psi_v, \quad \psi_v = u^{k_v} t^{l_v} s^{m_v} e^{-\epsilon_v s},$$

A

алг. не об.

09. 1970.

48

с тем отличием, что показатели k_v и m_v могут принимать целые, полуцелые и отрицат. значения (l_v^{II} —четные) и ε_v наряду с C_v являются вариац. параметрами. [Ф-ции Ψ_v выбирались последовательно из заданной совокупности 193 ф-ций. Приведены параметры ε_v , C_v^{II} и значения энергии E для $n=4, 5 \dots 9$. Полученные значения энергии меняются от $E = -2,902862$ ($n=4$) до $E = -2,90371883$ ($n=9$). Все полученные ф-ции дают значительно лучшие значения энергии, чем любые другие известные ф-ции с тем же числом членов.

Автореферат

He I, II

XI - 195

1969

10 Д174. Атомная спектроскопия с применением ус-
корителя Ван-де-Граафа. Исследование спектров He и N:
Giradreau R., Kerwin L., Drouin R. Spectroscop-
ie atomique à l'aide d'un accélérateur Van de Graaff:
applications à l'hélium et à l'azote. «Canad. J. Phys.»,
1969, 47, № 8 859—863 (франц.)

Исследованы спектры в УФ-области He I, He II, N I,
N II, N III, N IV, N V (энергия He^+ 1,0 Мэв, иона
 N^+ — 1,4 Мэв). Даны принципиальная схема установки
и ее основные параметры. Приведены таблицы длин
воли указанных атомов и ионов и диаграммы Гротриана.

В. Шевелько

+1

9. 1969.

10. 9

151

He (ε_i)

XI-705

(1969)

Grissom J.T., Compton R.N.,

Garrett W.R.,

Phys. letters, 1969, A30, n^o2, 117-118

• 10

zero cps

He

1949

4 Д.18. Применение функций Грина в расчетах атомов и молекул. VI. Поправка первого порядка к собственной функции атома He в основном состоянии. Намека H. F. Use of Green functions in atomic and molecular calculations. VI. The first-order perturbation to the eigenfunction of the helium-atom ground state. «J. Chem. Phys.», 1969, 51, № 3, 1148—1155 (англ.)
Ч. V см. РЖФиз, 1969, 5Д2.

кв.-спектр.
расчет

ф. 1970.

498

1969

8 Д194. Резонансные линии нейтрального гелия в излучении Солнца в ультрафиолетовой области. Негл А. Г. The ultraviolet resonance lines of neutral helium from the sun. «Monthly Notices Roy. Astron. Soc.», 1969, 142, № 1, 53—70 (англ.)

Для интерпретации эксперим. данных по измерению интенсивностей резонансных линий HeI 584 и 537 Å, излучаемых Солнцем, вычислены заселенности уровней Не с помощью модели атома с 41 уровнем. В расчетах учитывались данные измерений поперечных сечений возбуждения с 2^3S -уровня на синглетные уровни и эффект уширения резонансных линий. Библ. 43. Д. А. Кацков

09. 1969 · 87

He

1969

3 Б108. Обобщенная осцилляторная сила для $1^1S \rightarrow 2^1P$ -перехода гелия. Теория ограничения осцилляторных сил. Lassettre Edwin N., Skerbele Ausma, Dillon Michael A. Generalized oscillator strength for $1^1S \rightarrow 2^1P$ transition of helium. Theory of limiting oscillator strengths. «J. Chem. Phys.», 1969, 50, № 4, 1829—1839 (англ.)

Для перехода $1^1S \rightarrow 2^1P$ в гелии определены относит. обобщенные силы осцилляторов как функция изменения момента сталкивающегося электрона. Обоснованность нормализации процесса доказана теоретически и показано, что предел обобщенной силы осциллятора при нулевом изменении момента равен оптической силе осциллятора для любого атома или молекулы. Н. Кузьменко

Х. 1970

3

He

1969

9 Б11. Верхние и нижние границы собственных значений. II. Возбужденные состояния He. Messmer R. P., Birss F. W. Upper and lower bounds to eigenvalues. II. Excited states of He. «Theoret. chim. acta», 1969, 14, № 3, 198—202 (англ.; рез. нем., франц.)

кв.-мех.
рачев.

Вычисленные верхние и нижние границы уровней энергии $1,3P$ ($1\ snp$) атома Не по методу, изложенному в части I. Использовалось 8 базисных орбиталей (4 s -типа и 4 p -типа). Во всех рассмотренных случаях метод авторов, основанный на оптимизации пробных функций относительно ф-лы Темпла — Като, дает хорошие границы уровней энергии (макс. расхождение верхней и

X. 1970. 9

нижней границы составляет 0,005 ат. ед.). Отмечается, что вариац. верхние границы, вычисляемые по методу Девидсона (Z. Chem. Phys., 1965, 42, 4199), несколько более точны. Это связано с тем, что метод Девидсона исходит из требования стационарности энергии: $\delta E = 0$, в то время как метод, применяемый авторами, исходит из условия вида: $\delta E + \omega \delta \Delta = 0$, где Δ — дисперсия энергии, а ω — постоянная. Сообщ. I см. РЖХим, 1970, ЗБ17.

Т. К. Ребанс

He

Oldman R. F.
Broida H. P.

1969

annio

J. Chem. Phys., 51(6),
12464.

(au. N) III

He

1969

9 Д16. Преобразованные слейтеровские функции.

Применение к основному состоянию атома гелия. Shil-
lady D. D. Slater transform functions. Application to the
helium atom ground state. «Chem. Phys. Letters», 1969, 3,
№ 2, 104—106 (англ.)

С использованием преобразованных слейтеровских
ф-ций вида

$$\psi(N, L; M; n, \alpha) = \sqrt{\frac{(2n-1)(2n-2)(2n-3)\alpha^{2n-3}}{2}} \times$$

$$\times \frac{r^{N-1}}{(r+\alpha)^n} Y_{LM}(\theta\varphi),$$

Ф. 1969

98

полученных с помощью преобразования Лапласа из ф-ций $S(m, \alpha, x) = x^m \exp(-\alpha x)$ при $m \geq 1$, вариац. методом исследуется основное состояние атома Не. Рассчитанные значения энергетич. характеристик оказываются лучше, чем полученные с масштабир. преобразованными ф-циями гауссовского и слейтеровского типа, причем отмечено, что многоконфигурационный расчёт в рамках используемого приближения требует гораздо меньшего базиса, чем расчет с ф-циями гауссова и слейтеровского типа. Величина полной энергии оказалась очень близкой к хартри-фоковскому значению. В. Л. Лебедев

1969

He

у 20 Б130. Абсорбционный спектрометр прямой регистрации в вакуумной ультрафиолетовой области. Спектры поглощения He_2 , HF и N_2 . Waggoner M. G., Chow K. W., Smith A. L. Direct-recording absorption spectrometer in the windowless vacuum-ultraviolet. Absorption spectra of He_2 , HF and N_2 . «Chem. Phys. Letters», 1969, 3, № 3, 151—154 (англ.)

спектр поглощений Описан абсорбционный спектрометр для спектральной области 600—1100 Å. Исследованы спектры поглощения He, HF, N₂. Спектр азота, полученный с разрешением в 1,0 Å, находится в соответствии с предыдущими работами. В случае He обнаружено, что в спектральной области 600—610 Å коэф. поглощения пропорциональны квадрату плотности. Наблюдалось поглощение He₂. В спектре HF в области выше и ниже первого ионизационного потенциала резкая колебательная структура не проявляется, а первый переход N→Q осуществляется при 13,0 эв.

О. Г. Гаркуша

д. 1969

20


+2


CV(Ei) 10 11 14 1970
He I, Z_i II (Ei, γ)

Edlen B., Zöfstrand B., X 5026
J. Phys., 1970, B3, N° 10, 1380-8 (and.)

Fermi system of CV.

ected Q.S.K.

10 Ⓢ CA, 1970, Y3, 1/24, 125215n

He⁻

1970

59224r Calculations on some excited states of He⁻. Eliezer, I.; Pan, Y. K. (Dep. Chem., Tel-Aviv Univ., Tel-Aviv; Israel). *Theor. Chim. Acta* 1970, 16(1), 63-74 (Eng). The stabilization technique has been used to examine several possible resonance states for He⁻. Stabilized roots have been obtained at 0.43, 19.3, 20.3, 21.2, 57.3 and 58.3 eV. These results are discussed and compared to exptl. values.

RCTC

8;

ab. itex,

power

C.A. 1970.

72, 12

He⁻

1970

10 Д22. Расчет автоионизационного ${}^4P_{5/2}^0$ -состояния He⁻. Estberg G. N., LaBahn R. W. Calculations on autoionization of the ${}^4P_{5/2}^0$ state of He⁻. «Phys. Rev. Lett.», 1970, 24, № 23, 1265—1267 (англ.)

Рассчитано время жизни автоионизационного ${}^4P_{5/2}^0$ -состояния He⁻ с использованием точных волн. ф-ций начального и конечного состояний. При расчете начальное ${}^4P_{5/2}^0$ -состояние описывалось вариац. волн. ф-цией, соответствующей суперпозиции различных угловых конфигураций. Конечное континуальное ${}^2F_{5/2}^0$ -состояние описывалось волн. ф-цией, полученной методом поляризованных орбиталей. Найденное время жизни $4,55 \cdot 10^{-4}$ сек хорошо согласуется с эксперим. данными.

расчет

09. 1970.

108

He

1970

11 Д45. Кривые потенциальной энергии для молекулы He_2 . Ginter Marshall L., Battino Rubin. Potential-energy curves for the He_2 molecule. «J. Chem. Phys.», 1970, 52, № 9, 4469—4474 (англ.)

В работе приводятся и обсуждаются кривые межатомной потенциальной энергии для ряда известных стабильных возбужденных состояний молекулы He_2 , полученные с использованием данных оптич. спектра. Результаты сравниваются с данными теоретич. расчетов.

З. Б. Рудзикас

Кривые
потенциальной
энергии

09. 1970 · 118

Amerson

He

1970

ionization
of He-Zn

(y)

146556k Ionization potentials, experimental and theoretical, of the elements hydrogen to krypton. Kelly, Raymond L.; Harrison, Don E., Jr. (Nav. Postgrad. Sch., Monterey, Calif.). U.S. Clearinghouse Fed. Sci. Tech. Inform., AD 1970, No. 712454, 32 pp. (Eng). Avail. CFSTI. From U.S. Govt. Res. Develop. Rep. 1970, 70(23), 66. The ionization potential of the isoelectronic sequences He through Zn have been calcd. by the Hartree-Fock method and compared with exptl. results. Tables are presented showing the ionization potentials, as obsd. and extrapolated, for all stages of ionization of the 1st 36 elements.

TCVL

87

(+54)

S, O, S, C, N, O, F, Ne

Ar, Kr, Xe, Rb, Cs, Ba, Ca, Sr

K, Co, Be, Li, H, O, N, Mn

He, Li, C, H, B, Be, O, Si

C.D. 1971.44.26.

He

1970

crepus
useuz.

(80673s) Total ionization cross sections of helium, molecular nitrogen, molecular hydrogen, and oxygen due to electron impact. Khare, S. P.; Padalia, Bhairaw D. (Inst. Advan. Stud., Meerut Univ., Meerut, India). *J. Phys. B* 1970, 3(8), 1073-82 (Eng). The total ionization cross sections of He, N₂, H₂, and O₂ due to electron impact have been calcd. by integrating the expressions given by Khare for the ionization cross sections per unit range. The results are in satisfactory agreement with the exptl. data. Comparison has also been made with other theoretical values.

RCBS

C.A. 1970 73. 16

+3

X

He I

XI-2610

1980

92977c Improved experimental values for some hydrogen-like levels of He I. Litzen, Ulf (Dep. Phys., Univ. Lund, Lund, Swed.). *Phys. Scr.* 1970, 2(3), 103-5 (Eng). The 3d-nf ($n = 4, 5, 6$) and 4f-5g transitions in He I, appearing in the extraphotographic ir, have been measured with a waveno. accuracy better than 0.01 cm^{-1} . Improved level values have been derived for

81
62

rec'd 10/10/80

C.A. 1981. 24. 18

He

XI — 2610

1870

7 Д272. Уточненные экспериментальные значения некоторых водородоподобных уровней He I. Litzén Ulf
Improved experimental values for some hydrogenlike levels of He I. «Phys. scr.», 1970, 2, № 3, 103—105 (англ.)

С большой точностью (лучшей чем $0,01 \text{ см}^{-1}$) измерены длины волн переходов $1s 3d - 1snf$ ($n=4,5,6$) и $1s 4f - 1s 5g$ в атоме He. Приведены уточненные эксперим. значения уровней $1snf^{1,3}F$ и $1s 5g^{1,3}G$. Показано, что эти значения хорошо согласуются с соответствующими величинами, полученными с помощью поляризационной ф-лы Эдлена.

Р. Дагис

81

09. 1871. 78

He

Yamabe T. et al.

1970

Bull. Chem. Soc. Jap.,
43(7), 2012.

8:

(cont'd) III

1971

He I

7Д293. Контуры линий HeI 4471,5 и 4922 Å в дуге постоянного тока. Birkeland J. W., Bacon M. E., Braun W. G. Profiles of the HeI 4471.5- and 4922-Å lines in a dc arc. «Phys. Rev. A: Gen. Phys.», 1971, 3, № 1, 354—358 (англ.)

Измерены контуры линий HeI 4471,5 и 4922 Å в дуге постоянного тока при плотности электронов $0,4-2 \cdot 10^{16} \text{ см}^{-3}$. Приведено описание эксперим. установки с указанием ее параметров.

В. П. Шебелько

09. 1971

495

³He - ⁴He

1971

8Д74. Изотопическое смещение (2^1S_0 — 2^1P_1) линии гелия. B. L. Berger, James M., Lurio Allen. Isotopic shift in the (2^1S_0 — 2^1P_1) line of atomic helium. «Phys. Rev. A: Gen. Phys.», 1971, 3, № 1, 76—81 (англ.)

С помощью описанного ранее метода (РЖФиз., 1969, 11Д250) измерено изотопич. смещение 2^1S_0 — 2^1P_1 линии He. Пучок метастабильных атомов He 2^1S_0 создавался электронным ударом в камере источника, в котором давление газа было $1,7 \cdot 10^{-5}$ мм рт. ст. Возбуждение метастабильных атомов 2^1S_0 в состояние 2^1P_1 происходило в результате поглощения резонансной линии 20582 Å в камере, в которой на расстоянии 0,93 см располагались полюса электромагнита диаметром 7,3 см. Пучки атомов ^4He и ^3He облучались резонансными лампами ^3He и ^4He , соответственно, при этом магн. подуровни $m_J = \pm 1$ состояния 1P_1 испытывали в переменим магн. поле зеемановское смещение. Давление газа в лампах составляло

исопон.
смещение
линии

р. 1971. 8Д

3—6 мм рт. ст., в случае ^4He и 5—7 мм рт. ст., в случае ^3He . Фотоны с длиной волны 584 Å, появлявшиеся в результате распада 2^1P_1 , с переходом в основное состояние 1^1S_0 служили способом контроля (2^1S_0 — 2^1P_1) возбуждения. Использование пучков ^3He и ^4He позволило оценить и внести поправки к возможным систематич. погрешностям, связанным со смещением частоты резонансных ламп, допплеровским смещением и др. Средние значения максим. поглощения, полученные в результате многократных измерений с пучками ^4He и ^3He , равны 2980 и 3049 гс, а с учетом эксперим. ошибок оно в среднем принималось равным 3015 ± 40 гс. При этом измеренное изотопич. смещение $(2^1S_0 - 2^1P_1)$ линии $v(^3\text{He}) - v(^4\text{He}) = 0,1408 \text{ см}^{-1} \pm 0,0019 \text{ см}^{-1}$, что близко к величине $0,1419 \text{ см}^{-1}$, предсказываемой теорией.

И. Флакс

1941

He I

Carre M., et al.

Phys. Rev. Lett., 1941,
24, n° 21, 1407.

Исследование времени
перехода в He I с использованием
изменения ядерного радиуса
ядер атомов, состоящих
из only 8 и 18. атомов

1942, 4031

He

1971

спектр

7 Д278. Спектроскопия каскада вакансий: удобный метод для изучения высокоионизованных атомов и молекул. Егман Р., Веггу Н. G. Vacancy cascade spectroscopy: a convenient method of studying highly ionized atoms and molecules. «Phys. Letters», 1971, A34, № 1, 1—2 (англ.)

Описана методика исследования высокоионизированных атомов и молекул. Ионизация внутренних оболочек атомов исследуемых газов производилась с помощью высокозэнергетич. пучка электронов (2—10 кэв). Наблюдение производилось в направлении, нормальном к электронному пучку, с помощью метрового вакуумного спектрофотометра. Когда энергия электронов превышала энергию связи электронов К-оболочки в несколько раз,

+5

оп. 1971

120



поперечное сечение ионизации K -оболочки достигало 10^4 .
При этих энергиях происходила ионизация и вышележащих оболочек. При давлении в газе от 10^{-2} до 1 ми рт. ст. наблюдалась спектры He , N_2 , O_2 , CO_2 , Cl_2 , Ar и Xe в области $500-2500$ Å. Идентифицировано большое число ионизованных состояний в газах. Предложенная методика может быть использована для измерения времен жизни атомов и молекул в ионизованном состоянии.

Г. М. Р.

1971

He

15 Б13. Исследование релятивистских обменных приближений для атомов He, Ne, Ar, Kr и Xe. Euwema R. N., Stukel D. J. Relativistic exchange approximation study for He, Ne, Ar, Kr and Xe. «Int. J. Quant. Chem.», 1971, 5, Symp. № 4, 55—75 (англ.)

Проведено сравнение ряда приближенных методов оценки обменного члена в хартри-фоковском гамильтониане. Выполнены численные расчеты полной энергии и потенциалов ионизации атомов He, Ne, Ar, Kr, Xe. Наибольшей точностью обладает метод градиента плотности (см. F. Hermann, J. B. Ortenburghen, J. D. Van Dyke, Int. J. Quant. Chem., 1970, 3S, 827), к-рый дает также самое низкое значение полной энергии.

А. Зембеков

+4



Х. 1971.15

He

H₂

(E_i)

X. 1973 N 22.

1971.

22 Б7. Линейное приближение суммирования по точкам для расчета электронных энергий. Применение к He и H₂ при использовании диофантовых точек Конроя. Carlson Charles M. A linear sum-over-points approach for computing electronic energies: application to He and H₂ using Conroy Diophantine points. «Chem. Dyn.» New York e. a., 1971, 49—63 (англ.)

Развит метод численного интегрирования для вариаций построения волновой функции многоэлектронной задачи, в к-ром в кач-ве основного используется ур-ние $\varepsilon_i = \sum_p \Phi_i^*(p) H(p) \Phi(p) \omega_p / \sum_p \Phi_i^*(p) \Phi(p) \omega_p$, где Φ — пробная функция вида $\sum c_i \phi_i$, ω_p — весовой множитель для точки p , H — гамильтониан, ϕ_i — базисные функции. Условие равенства всех ε_i , выполняющееся для точной

и

4.2

100% вспом.
100% 4-45.

функции ϕ , приводит к вёковому ур-нию с матрицами H и S на базисе функций ϕ_i . Схема интегрирования по точкам соответствует диофантовому методу в форме, предложенной Конроем (см. РЖХим, 1968, 20Б36). В кач-ве примера выполнены расчеты Не и H_2 . Каждая координата (сферич. для Не и эллиптич. для H_2) преобразовывалась к новой переменной с областью изменения $[0,1]$, причем преобразование содержало варьируемый параметр, выбираемый из условия минимальности отклонения матрицы H от симм. матрицы. Пробная волновая функция для Не включала от одного до девяти слагаемых вида $\Phi_i = P[r_1^l r_2^m r_{12}^n \exp(-\rho_a r_1 - \rho_b r_2)]$, P — симметризатор, ρ_a и ρ_b — параметры. Число точек суммирования 269. Для H_2 использованы пробные функции, предложенные Гудисменом (см. РЖХим, 1967, 10Б4); число точек суммирования 577. Приведены значения энергии при двух способах преобразования координат для Не и при одном для H_2 , а также зависимость значений энергии от значений варьируемого параметра. Наилучшее согласие с вариац. значениями энергии на тех же функциях получено для H_2 : различия составляют $\sim 0,0001$ ат. ед. для функций с 8—9 членами.

М. Е. Ерлыкина

He

XI-2640

1941

расчет
основных
состояний

J 1 Д27. Атомные волновые функции, "полезные" для молекулярных расчетов: некоторые состояния атома He
Gupta B. K. Atomic wavefunctions useful for molecular calculations: some states of the He atom. «Indian J. Pure and Appl. Phys.», 1971, 9, № 4, 261—262 (англ.)

Рассчитаны энергия и волн. ф-ции основного состояния 1^1S и возбужденных состояний 2^3S , 2^1P и 2^3P атома He. Волн. ф-ции построены исходя из орбиталей слэтеровского типа с образованием ф-ций связи с последующим проектированием на соответствующие состояния и учетом конфигурац. взаимодействия. Производилась

9, 1972, 19

оптимизация всех орбитальных экспонент. Полученные ф-ции удобны для использования в молекулярных расчетах методом валентных связей с использованием конфигурац. взаимодействия. Рассчитанные значения энергии сопоставлены с экспериментальными и отмечено, что при одинаковой точности волн. ф-ции возбужденных состояний требуют меньшего числа конфигураций, чем ф-ция основного состояния.

А. Багатурьянц

He

1971

) 11 Д306. Точное измерение интервала $2^3P_0 - 2^3P_1$ тонкой структуры гелия. Кропоу А., Hughes V. W., Johnson C. E., Lewis S. A., Pitchapatek F. M. J. Precise measurement of the $2^3P_0 - 2^3F_1$ fine-structure interval of helium. «Phys. Rev. Lett.», 1971, 26, № 26, 1613—1616 (англ.)

С помощью улучшенного варианта описанной ранее авторами методики (РЖФиз, 1968, 11Д251) проведены точные измерения $2^3P_0 - 2^3P_1$ -интервала тонкой структуры гелия. Пучок Не в основном состоянии возбуждался электронной пушкой в 2^3S_1 -состояние, из которого с помощью неоднородного магн. поля выделялись атомы с $M_J = 0$, возбуждаемые затем излучением гелиевой разрядной лампы на зеемановские уровни 2^3P -состояния. Полученное значение $v_{01} = 29\ 616,864 \pm 0,036$ дает возможность вычислить значение константы тонкого расщепления α с точностью $\sim 10^{-6}$. Библ. 20. К. Н. Кошелев

тонкая
структур

Ф. 1971. 11Д

He

1971

11 Д268. Молекулярные состояния гелия. Mat-sen F. A. Helium molecular states. «Chem. Dyn.» New York e. a., 1971, 1—5 (англ.)

Сообщаются результаты расчета молекулярных термов He_2 , коррелирующих с состояниями 1^1S-2^3S , 1^1S-2^1S , 1^1S-2^3P , 1^1S-2^1P разъединенных атомов. Использо-

вались базисные ф-ции, построенные на слэйтлеровских и эллиптич. орбитах с оптимизацией орбитальных экспонент. Рассчитанные термы обладают максимумами (за исключением терма ${}^3\Pi_g$), величины которых находятся в качественном согласии с экспериментом. Рассчитаны также спектроскопич. константы термов, которые сравниены с эксперим. данными. Это сравнение показывает, что неэмпирич. расчеты простых молекул могут служить для предсказания параметров спектров. Отмечается, что использованный базис может служить для неэмпирич. расчета молекул с 10—20 электронами при условии большей затраты машинного времени.

Е. Е. Никитин

X. 1971 N 11

He

1971

22 Б9. Молекулярные состояния гелия. Mat-
isen F.A. Helium molecular states. «Chem. Dsp.» New
York e. a., 1971, 1—5 (англ.)

Обзор расчетов низших связанных состояний ${}^1,{}^3\Sigma_{g,u}+$,
 ${}^1,{}^3\Pi_{g,u}$ молекулы He_2 . Расчеты выполнены в базисе
слейтеровских и (или) эллиптич. орбиталей с оптимиза-
цией орбитальных экспонент. Для каждой потенциаль-
ной кривой вычислены колебательные и вращательные
уровни. Приведены рассчитанные потенциальные кривые
и нек-рые из спектроскопич. постоянных, а также коле-
бательные термы $\Delta G(v+1/2)$. Точность расчета энергий
диссоциации соответствует точности лучших спектро-
скопич. данных, равновесные расстояния несколько за-
вышены. Библ. 18.

М. Е. Ерлыкина

НО
МКР

Х. 1973 № 22

He

1971.

Изотопы
спектр

5 Д20. Синглет-триплетное смешивание в возбужденных атомах гелия. Mel Parish R., Mires Raymond W. Singlet-triplet mixing in excited helium atoms. «Phys. Rev. A: Gen. Phys.», 1971, 4, № 6, 2145—2160 (англ.)

С целью выяснения отступлений от рассел-саундеровской связи в возбужденных состояниях Не произведена диагонализация гамильтониана в базисе ф-ций конфигураций $1snl$. Учитывались кулоновское взаимодействие электронов, спин-орбитальное и спин-спиновое ди-

φ. 1972. 5Д

польное взаимодействия. Ф-ции указанных конфигураций строились в виде антисимметризованного произведения ф-ции внешнего электрона в поле остова на ф-цию внутреннего электрона. При этом учитывалась угловая корреляция электронов и поляризация электрона остова внешним электроном. Уровни энергии вычислены в терминах радиальных интегралов. Рассмотренное приближение дает плохие результаты для P -состояний. Для D -состояний теория правильно описывает относительное положение уровней, предсказывая справедливость расселсаундеровской схемы связи. Для F -состояний имеется значительное смешивание синглетов и триплетов, а для G - и высших состояний имеется полное смешивание. Этот результат объясняет механизм возникновения He в состоянии n^3D при столкновениях $\text{He}^*(n^1P)$ с $\text{He}(1^1S_0)$ вследствие переходов через промежуточное возбужденное состояние nF , в котором происходит эффективное смешивание синглетов и триплетов.

Е. Е. Никитин

He (cuerpos) XI 2629 1971.

Sando R. et al.,

Mol. Phys., 1971, 21, N3, 439-447 (avai.)

The emission of radiation
near 600 \AA° by helium.

Breiten, 1972, 3520 10

He

XI-2646

1971

С 1 Д296. Точное измерение длины волны $1s2p^3P^o - 2p^{2\ 3}P$ перехода в ${}^4\text{He}\text{I}$. Tech Jack L., Ward John F.
Accurate wavelength measurement of the $1s2p^3P^o - 2p^{2\ 3}P$
transition in ${}^4\text{He}\text{I}$. «Phys. Rev. Lett.», 1971, 27, № 7, 367—
370 (англ.)

2.
61

Получено точное значение длины волны $1s2s^3P^o - 2p^{2\ 3}P$ перехода из дважды возбужденного слабоавтоионизационного состояния ${}^4\text{He}\text{I}$ ($\lambda = 320,2926 \pm 0,0007 \text{ \AA}$). Спектр возбуждался в ВЧ-гелиевом разряде ($p \approx 0,2 \text{ ми рт. ст.}$) и регистрировался 10,7-м вакуумным спектрографом по схеме Игля (1200 штрих/мм; $0,78 \text{ \AA/мм}$). В качестве стандартов длин волн использованы линии ArII, OI, NI, NII, HI и CII. Измерения проводились во втором и третьем дифракционных порядках. Энергия уровня $2p^{2\ 3}P$ составляет $481\,301,5 \pm 1,2 \text{ см}^{-1}$. Тонкая структура перехода не разрешалась. Проведено сравнение экспериментальных данных с теоретич. расчетами. К. Н. К.

99, 1972, 12

He

1971

A-2214

(y)
no good.
no good

79331p Empirical formulas for calculating ionization potentials. Tverdokhlebov, G. N.; Tolok, Ya. N.; Smirnov, I. A. (USSR). *Tr. Buryat. Inst. Estestv. Nauk, Buryat. Filial, Sib. Otd., Akad. Nauk SSSR* 1971, No. 10, 221-7 (Russ). Empirical formulas were found for calcg. the ionization potentials of He-, Li-, Be-, and B-like ions. The calcd. ionization potentials were compared with exptl. data. Luba Jirovcova

Li, Be, B⁺



t3



C.A.

1973

79 N12

1971

He

Van Dyk R.S. et al

(2^1S_0 -соч)

Phys. Rev. A: Gen. Phys.,
1971, 4, n 4, 1324

Σ

Радиационное зерно
некоторых изомеров атомного
состава ядра 2^1S_0

[форма]

1970,

1972, 1957

He I

XI - 3139

1972

(ε_i)

- 1 68188n Energies and lifetimes of doubly excited states in helium[He I]. Berry, H. G.; Desesquelles, J.; Dufay, M. (Lab. Phys. Atmos., Univ. Lyon 1, Villeurbanne, Fr.). *Phys. Rev. A* 1972, 6(2), 600-6 (Eng). By using the beam-foil technique radiative transitions were obsd. between doubly excited states of He I. From previous calcns., it was possible to classify many of these transitions. Some of the lifetimes of the upper states were obtained from decay-time measurements. There is good agreement between theory and expt. for both wavelengths and radiative lifetimes. A transition between doubly excited states in Li II was also obsd., and expt. and theory are compared for higher members of the He I isoelectronic sequence.

Cit. 1972. 7. 10

He^{2+}

1972

W0161

(E)

168995s Ground states of the dipositive or tripositive ions of ionized atoms. Casanova, Gaston (Paris, Fr.). *C. R. Acad. Sci., Ser. B* 1972, 275(2), 53-5 (Fr). Satisfactory agreement with expt. was obtained for the ground-state energies (E) of He^{2+} , Li^{2+} , Be^{2+} , B^{2+} , C^{2+} , N^{2+} , O^{2+} , Li^{3+} , Be^{3+} , B^{3+} , C^{3+} , N^{3+} , O^{3+} , F^{3+} , and Na^{3+} that were calcd. by using the relations for E defined in terms of characteristic theoretical orbitals with radii proportional to $n^2/(Z - k)$, where n is the principal quantum no., $(Z - k)$ is essentially the effective at. no. of the atom, and k is detd. by geometrically minimizing the interelectronic repulsive forces in the ground state. The agreement between the calcd. and exptl. E values increased with increasing Z .

C.A. 1972.77.N26

He

1972

9 Д138. О потенциальной кривой метастабильной молекулы гелия. Gupta B. K. On the potential curve of the metastable helium molecule. «Mol. Phys.», 1972, 23, № 1, 75—79 (англ.)

Методом валентной связи с учетом конфигурационного взаимодействия рассчитана кривая метастабильного

$2s\sigma^3\Sigma_u^+$ -состояния молекулы гелия. Расчет проведен в области межъядерных расстояний $R=1-10$ ат. ед. с использованием 7-членной воли. ф-ции, построенной в смешанном базисе слэтеровских и эллиптич. орбиталей. Полученная кривая лежит при $R \leq 3,0$ ат. ед. ниже кривой, рассчитанной с использованием 12-членной ф-ции, и при $R \leq 2,0$ ат. ед. ниже кривой, рассчитанной при помощи 21-членной ф-ции. Рассчитанное равновесное расстояние $R_e = 2,026$ ат. ед. при эксперим. $R_e = 1,975$ ат. ед. Достигнуто хорошее согласие с экспериментом и для ряда других спектроскопич. постоянных. Расчет указывает на существование барьера высотой в 0,14 эв при $R = 4,66$ ат. ед.

А. Резников

(м.в)

Ф. 1972. 90.

He

VIII - 5563

1982

25079k Empirical formulas for ionization potentials of elements. Lewin, G. F. (Phys. Dep., Brunel Univ., Uxbridge, Engl.). *Phys. Lett. A* 1972, 39(2), 121-2 (Eng). An equation is given for calcg. the ionization potential (I) (to within $\pm 5\%$ of the exptl. I value) for various isoelectronic series, that is a function of the I of at. H, the principal quantum no., the at. no., the no. of electrons, and 2 consts. A and B , where A and B are const. along any 1 series, but are different for different series. Values of A and B are given for He, Li, Be, B, C, N, O, F, He, Na, Mg, Al, Si, P, S, Cl, Ar, Sc III, Cu, Ag, and Au.

CJ

C.A. 1982. 77-4

⁴
He
-

1972.

107405c Fine structure of the helium negative ion. Mader,
D. L.; Novick, R. (Columbia Astrophys. Lab., Columbia
Univ., New York, N.Y.). *Phys. Rev. Lett.* 1972, 29(4), 199-202
(Eng). • Fine-structure transitions were obsd. in the metastable
($1s2s2p$) 4P_J state of ${}^4\text{He}^-$ using a radio frequency resonance
technique. Preliminary detns. were made of the energy sepns.:
 $|E_{5/2} - E_{3/2}| = 825.23 \pm 0.82$ MHz and $|E_{5/2} - E_{1/2}| = 8663 \pm$
56 MHz. The $J = {3/2}$ level lies between the $5/2$ and $1/2$ levels.
These results are to be compared with the current theoretical
ests. of $E_{5/2} - E_{3/2} = -2030$ MHz and $E_{5/2} - E_{1/2} = -9410$
MHz.

C.A. 1972. N16. 77

³He

⁴He

Mace -
cnewsp.

1972

103515m Magnetic resonance mass spectrometer for studying the isotopic composition of helium. Mamyrin, B. A.; Shustrov, B. N.; Anufriev, G. S.; Boltenkov, B. S.; Zagulin, V. A.; Kamenskii, I. L.; Tolstikhin, I. N.; Khabarin, L. V. (Fiz.-Tekh. Inst., Leningrad, USSR). *Prib. Tekh. Eksp.* 1972, (6), 148-50 (Russ). The parameters of a mass-spectrometric system for measuring the abs. and relative contents of ³He and ⁴He isotopes in solid and gaseous specimens of varying origin down to ³He/⁴He = 10^{-10} are given. The max. sensitivity of a mass analyzer with respect to ³He = 5×10^5 atoms. B. Krawiec

C.A. 1973, 78 n16

1972

He

расчет
энергии
атома

15 Б23. Электронная корреляция в атомах. Musher J. I. Electron correlation in atoms. «Theor. Chem.» London e. a., 1972, 1—40 (англ.)

Обзор. Дано краткое общее рассмотрение проблемы электронной корреляции в атомах и анализ развития работ в этой области. Рассмотрены методы теории возмущений и выбор гамильтониана нулевого приближения. Обсуждаются различные вычислительные процедуры: аналитич. метод, вариац. метод, метод численного интегрирования, диаграммная техника многочастичной теории, эмпирич. и полуэмпирич. методы, метод кластерных разложений, метод конфигурац. взаимодействия и другие. Приведена сводка результатов расчета энергии атомов He и Li, СТС для Li и N, электрич. поляризуемости Be и константы спин-спинового взаимодействия молекулы HD.

А. Багатурьянц

Х. 1974 № 15



73

Li, HD, обзор.

He

IK-Y₂₁₄

1972

(γ)

Safranova U.I.

Opt. Spectrosk.

1972, 33(5), 813-16.

• (c.u. H; II)

^4He (nomens. Kruebae,
k8. mex. pacrem) XI 3458 1972

Shook I. K., Watts R.O.,

Aust. J. Phys., 1972, 25, N6, 735-41
(cont.)

Ab initio calculations for heli-
um-4 of thermodynamic and
transport properties of the gas
and the ground state energy
of the liquid.

CA, 1973, 78, N8, 47913a

³He

1972

9 Д316. Структура оптического перехода $2^3P - 2^3S_1$, ${}^3\text{He}$; изучение методом эмиссионной и абсорбционной спектроскопии. Timsit R. S., May A. D. Structure of the $2^3P - 2^3S_1$ optical transition of ${}^3\text{He}$: a study by emission and absorption spectroscopy. «Can. J. Phys.», 1972, 50, № 2, 67—72 (англ.; рез. франц.)

(Vi)

Методом абсорбционной и эмиссионной спектроскопии изучена сверхтонкая структура перехода $2^3P - 2^3S_1$, ${}^3\text{He}$ (1,083 мк). Обнаружено расхождение эксперим. отношений интенсивностей $[(2^3P_2 \rightarrow 2^3S_1) : (2^3P_1 \rightarrow 2^3S_1) : (2^3P_0 \rightarrow 2^3S_1)] = 1,0 : 0,66 : 0,26$ и теоретических $(1,0 : 0,6 : 0,20)$. Частотные положения линий, экспериментально и теоретически полученные, согласуются хорошо.

9.1972.90

1973

He

6 Г44. Исследование частотной зависимости многофотонной ионизации метастабильных атомов гелия.
Bakos J., Nagajeva M. L., Ovchinnikov V. G., Rubin G. Investigation of the frequency dependence of the multiphoton ionization of the metastable helium atoms. «11th Int. Conf. Phenomena Ionized Gases, Prague, 1973». Prague, s. a., 19 (англ.)

Экспериментально исследовалась трехфотонная ионизация метастабильных атомов гелия в плазме послесвечения разряда постоянного тока в длинной стеклянной трубке при давлении ~ 1 мм рт. ст. и токе ~ 5 ма. Плазма с концом метастабильных атомов $\sim 10^{12}$ см $^{-3}$ освещалась лучом рубинового лазера, включаемого спустя заданный промежуток времени после выключения тока разряда. Частота излучения лазера составляла 14 407,1 см $^{-1}$ и 14 418,6 см $^{-1}$. Плотность ионов, образовавшихся при облучении, измерялась ленгмюровским

иониз. вспом.

Ф. 1974 № 6 г.

зондом. Зависимость этой плотности от времени включения лазера характеризует время жизни метастабильного состояния атома гелия. Установлено, что излучение с частотой $v=14\ 407,1\ \text{см}^{-1}$ вызывает ионизацию триплетного состояния 2^3S , в то время как при $v=14\ 418,6\ \text{см}^{-1}$ ионизируется синглетное состояние 2^1S . Излучение с $v=14,412,3\ \text{см}^{-3}$ приводит к фотононизации обоих состояний. Определенная по эксперим. данным скорость ионизации состояния 2^3S ($\alpha=10^{73}\pm 2\ \text{см}^6\cdot\text{сек}^2$) существенно отличается от величины, вычисленной с помощью теории возмущений. К. Б. Карташев

30927.4543

отмечено 1225

Ph, TE, AR, MGU

28841

1983

He

Bahr, John L.

Photoelectron spectroscopy

"Contemp. Phys.", 1973, 14,
N 4, 329-355

(англ.)

946 952

Документ

ВИНИТИ

He

Bsp - 3391-XI

1973

9 Д159. Исследование временной зависимости излучения атомов He в вакуумной УФ-области. Ваггерт D. M., Гурст G. S., Wagner E. B. Time-dependent studies of vacuum-ultraviolet emissions from helium. «Phys. Rev. A: Gen. Phys.», 1973, 7, № 3, 1068—1078 (англ.)

Исследована временная зависимость излучения атомов He в вакуумной УФ-области (ВУФ) (резонансная линия 584 Å и континуум 600—950 Å) при столкновениях с быстрыми протонами ($E=1$ — 4 Мэв). Приведена схема и описание эксперим. установки. По скорости затухания интенсивности определено, что уровень 2^1P разрушается гораздо быстрее столкновениями с протонами, чем излучением с метастабильного уровня 2^1S . Распад континуума имеет две временные компоненты — быструю и медленную. Рассчитано число ионов и заселение 10 нижних

экспериментов

9.1973 № 9

см. на обложке

уровней Не при условии, что протоны теряют часть кинетич. энергии, а вторичные электроны — всю энергию. Показано, что около 30% кинетич. энергии протонов идет на возбуждение атомов Не, причем половина из них возбуждается в 2^1P -состояние. Предполагалось, что ВУФ-излучение возникает в результате распада *D* и *B* молекулярных состояний He_2 . Сечения возбуждения атомов Не оценивались в борновском приближении. Приведены графики временной зависимости скорости затухания при различных давлениях атомов Не. Приведена схема молекулярных термов He_2 , построенная на основании эксперим. и теоретич. результатов. Обсуждаются различные модели механизмов, приводящих к ВУФ-излучению. Библ. 42.

В. П. Шевелько

He I

B9P-4892-X

1973

Berry H.G.; et al.

(ε_i)

"Nuel. Inst. and Meth."

1973, 110, 43-49

• (eei-Li; \overline{III})

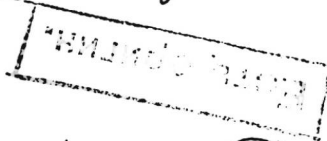
He (ε_i)
Li (ε_i)

X 7892

1973

Berry H.G., Desesquelles J., Dufay M.,
Nucl. Instrum. and Meth., 1973, 110,
43-49. discuss, 49-50 (cont.).

Doubly-excited states in light atoms.



Dufay, 1973, 128413

10

(2)

Не

XI-3754

1973

2 Д5. Виртуальные орбитали, энергии возбуждения и силы осцилляторов. Björn Noga l.v. Virtual orbitals, excitation energies, and oscillator strengths. «J. Phys. B: Atom. and Mol. Phys.», 1973, 6, № 8, 1412—1417 (англ.)

Обсуждается схема расчета виртуальных орбиталей в методе ССП, предложенная Хузинагой и Арнау (см. РЖФиз, 1971, 1Д1.1, 8Д148) и основанная на модификации хартри-фоковского оператора. Показано, что метод Хузинаги и Арнау эквивалентен ограниченному учету конфигурац. взаимодействия в немодифицированной схеме ССП. Указанная схема испытана на примере расчета энергий возбуждения и сил осцилляторов переходов атома Не. Результаты расчета свидетельствуют о хорошей применимости метода.

А. Б.

4 1974 № 2

1973

He

D 6 Д30. Энергии и коэффициенты Z-разложения для D-состояний изоэлектронного ряда гелия. Blanchard Paul, Drake G. W. F. Energies and Z-expansion coefficients for the D states in the helium sequence. «J. Phys. B: Atom. and Mol. Phys.», 1973, 6, № 12, 2495—2503 (англ.)

В нерелятив. приближении выполнен вариац. расчет энергий состояний $1s3d(^1,^3D)$ двухэлектронных атомных систем с зарядом ядра Z от 2 до 10. Пробная волн. ф-ция определялась в виде разложения по 50 коррелированным базисным ф-циям, представляющим собой симметризованные комбинации членов типа $-\alpha r_1 - \beta r_2 r_1^m r_2^n r_{12}^k$ ($\alpha = Z$). Т. обр. найдены наиболее точные из известных значений энергии $^1,^3D$ -состояний. Для HeI: $E(^3D) = -2,055620115$ ат. ед., $E(^3D) = -2,055635968$ ат. ед. Полученные результаты использованы далее для определения по методу конечных

φ. 1974 № 6

значестей первых шести коэф. E_k разложения E по степеням Z^{-1} . Установлено хорошее согласие найденных значений E_k с результатами прямого расчета этих величин по теории возмущений. Сумма 11 членов разложения по Z^{-1} , полученных по теории возмущений, с высокой степенью точности воспроизводит результаты вариац. расчета энергии при всех $Z=2 \div 10$. Аналогичный вариац. расчет для конфигурации $1s4d$ HeI дает: $E(4^1D) = -2,0312772$ ат. ед. и $E(4^3D) = -2,0312873$ ат. ед.

А. И. Шерстюк

^4He

1973

12 Д208. Расчет и определение энергии основного состояния тримеров гелия. Bruch L. W., McGee J. A. Calculations and estimates of the ground state energy of helium trimers. «J. Chem. Phys.», 1973, 59, № 1, 409—413 (англ.)

(E)

Проведены вариац. расчеты энергии основного состояния тримеров ^4He . В расчетах предполагалось, что потенц. энергия трехчастичной системы является суммой парных зависящих от спинов сферически-симметричных парных потенциалов. Расчеты проводились с использованием разного типа полуэмпирических парных потенциалов, при этом в зависимости от типа потенциала вычислennая энергия основного состояния находилась в области от $-0,05 \text{ см}^{-1}$ до $-0,2 \text{ см}^{-1}$ (верхняя граница). Р. Дагис

ф. 1973 № 12

Не

1973

Правило
Гунда

5 Д8. Правила Гунда и интерпретация обычно неправильно интерпретируемых разностей энергий термов.
Соlpa J. P., Brown R. E. Hund's rules and the interpretation and common misinterpretation of energy differences. «Mol. Phys.», 1973, 26, № 6, 1453—1463 (англ.)

Отмечается, что правило Гунда о порядке расположения атомных термов, возникающих из одной конфигурации, не согласуется с теорией возмущений, использующей в качестве параметра $1/Z$. Эта теория возмущений, удовлетворяющая в каждом порядке теореме вириала, предсказывает, что расщепление термов обязано одинаковым вкладам изменения электрон-ядерного и электрон-электронного взаимодействий при переходе от одного терма к другому. Обычная интерпретация расщепления как следствие различного электростатич. вза-

Ф. 1974 № 5

имодействия электронов в состояниях различной мультиплетности и различного углового момента противоречит теореме вириала. С привлечением полученных ранее (РЖФиз, 1973, 9Д5) разложений для разности электрон-ядерной, электрон-электронной и кинетич. энергий по степеням $1/Z$ показано, что при больших Z вклады двух первых взаимодействий в расщепление термов одинаковы по абрс. величине, т. е. терму с наибольшей энергией отвечает наименьшая (а не наибольшая) энергия отталкивания электронов. Предсказываемая теорией зависимость расщеплений термов $^1P - ^3P$ серии He($1s2p$), 3P , 1D , 1S серии C($2p^2$), 4S , 2D и 2P серии N($2p^3$) от $1/Z$ сравниена с эксперим. данными. Проведено аналогичное сравнение для термов $^1\Pi_u$ и $^3\Pi_u$ молекулы H₂.

Е. Никитин

1973

He
He₂
LiH
H₂
расчеты
основы.
состав.

10 Б13. Явный учет электронной корреляции в молекулярных расчетах. Коррелированная однодетерминантная (КОД) волновая функция. Согласно Nagold, Koller Robert D. Explicit electronic correlation in molecular calculations. The correlated single determinant (CSD) wavefunction. «Comput. Chem. Res. and Educ. Proc. Int. Conf., Ljubljana — Zagreb, 1973. Vol. 2». Amsterdam e. a., 1973, 4/177—4/202 (англ.)

Предложен метод проведения молек. расчетов с использованием коррелированной однодетерминантной (КОД) волновой функции, к-рая представляется в виде произведения двух сомножителей, один из к-рых является антисимм. произведением одноэлектронных функций, а другой полносимм. произведением выражений, зависящих от всех межъядерных расстояний. В расчетах использовано простейшее выражение $C = \prod_i <_j (1 + \tau_{ij}/2)$. Оптимизация параметров пробных волновых функций проведена с помощью предложенно-

(73)

A

2. 1975 10

го авторами метода поправок по главным направлениям, к-рый представляет собой модификацию метода Ньютона — Рафсона: вместо обращения Гессиана используется диагонализация с последующим движением вдоль главных направлений, отвечающих положительным собственным значениям Гессиана. Метод применен к численному расчету нек-рых систем с 2 и 4 электронами. Рассчитаны основные состояния атома Не, молекул He_2 , LiH , H_2 (последнее в широком интервале межъядерных расстояний). Показано, что простейшая форма КОД функции позволяет учесть 75—95% энергии корреляции.

Б. И. Жилинский



1973

He

6 Д26. Расчет некоторых автоионизационных состояний гелия методом стабилизации. Eliezer Isaacs, Moualem Avne. Some helium autoionization states and the stabilization method. «J. Chem. Soc. Faraday Trans.», 1973, Part 2, 69, № 12, 1835—1838 (англ.)

Для расчета автоионизационных состояний атома гелия использован метод стабилизации корней секулярного ур-ния, возникающего при применении метода наложения конфигураций для определения уровней энергии атома. Корни этого ур-ния, стабилизирующиеся при увеличении числа конфигураций, определяют энергии как стационарных, так и квазистационарных автоионизационных состояний. Расчет производился на базе одноэлектронных орбиталей, построенных вариац. способом в сфероидальных координатах. Определены энергии трех низших 1P_0 автоионизационных состояний. Результаты хорошо согласуются с экспериментом.

Л. Н. Лабзовский

(ε_i)

φ. 1974 № 6

1973

He

6 Д24. Шестипараметрический расчет 1^1S -состояния гелия. Esquivel J. L., De Tégamond G. F. A six parameter calculation of the 1^1S state of helium. «Phys. Lett.», 1973, A46, № 4, 297—298 (англ.)

Ei, расчет

Вариационным методом с волн. ф-цией, содержащей 6 параметров и множитель вида $\exp(-\alpha r_{12})$, вычислена энергия основного состояния гелия, равная $-2,90346$ ат. ед. Полученное значение энергии лучше значений, найденных ранее с ф-циями такого же типа.

И. В. Чиплис

ф.1974н6

31031,4511

TE, Ph, Ch

He

40892

1973

1274

Gehanken_Aharon, Raz Baruch,

Jortner Joshua.

Emission spectra of homonuclear diatomic rare gas molecules in solid neon.

"J. Chem. Phys.", 1973, 59, N 4, 1630-1633
(англ.)

1993 год

973 975 978

ВИНИТИ

He
17-4382

(2)

Омск 17-4382

Ф. 1974
N4

44. Прямой расчет энергий ионизации. Переходный оператор для метода ΔE_{CCP} . Goscinski O., Pickup B. T., Purvis G. Direct calculation of ionization energies. Transition operator for the ΔE_{CCF} method. «Chem. Phys. Lett.», 1973, 22, № 1, 167—171 (англ.)

Рассмотрена задача прямого расчета энергий ионизации многоэлектронных систем в рамках метода ССП с учетом поправок к теореме Купманса, позволяющего достаточно точно воспроизвести величины, полученные как разность энергий ССП основного и ионизованного состояний (метод ΔE_{CCP}). Показано, что использование «переходного» оператора Хартри — Фока, который представляет собой оператор для «переходного» состояния в терминологии Слэттера (т. е. состояния, в котором данная орбиталь заполнена наполовину), позволяет получить результат, совпадающий с точностью до 2 порядка теории возмущений с результатом метода ΔE_{CCP} . В качестве примера проведены расчеты энергий ионизации атомов He, Li, Be, Ne и Ar, и найдено, что метод переходного оператора и ΔE_{CCP} дают согласующиеся с экспериментом близкие результаты.

А. Багатурьянц

1973

17-4382

~~17-4382~~

(+1) д.р

(+1) иссл.

He

1973

10 Д119. Приближенный метод локализованных орбиталей. Кипп А. Вагг у. Approximation to the method of local orbitals. «J. Phys. B: Atom. and Mol. Phys.», 1973, 6, № 4, L47—L50 (англ.)

Рассматривается первое приближение по интегралам неортогональности к решению уравнения Адамса—Гильберта (РЖФиз, 1970, 4Е919). Показано, что это приближение имеет весьма широкую область применимости и дает хорошее приближение к оптимальным локализованным орбиталям. Метод проиллюстрирован на примере расчета системы He_2 при межъядерных расстояниях от 2 до 10 ат. ед. Энергии системы, рассчитанные по ограниченному методу самосогласованного поля и по методу локализованных орбиталей в первом приближении по перекрыванию, совпадают с 4 значащими цифрами, исключая наименьшее из рассмотренных расстояний, для которого метод ССП дает результат на 0,2% более точный:

Т. К. Ребане

ф. 1973, № 10

1973

He^{2+}

M. N.

naeves

Llaguno, Claro T., et al.⁸

Int. J. Quantum Chem.,

1973, 7(4), 819-34.

(err. H_2^+ ; III)

40222.755I

TE, Ph., MGU

He

1973

42529

1789

Lepanov L., Browne J. G., Olson R. E.

Theoretical low-energy inelastic-scattering cross sections for He(2^3S) + He(1^1S) --> He(2^1P) + He(1^1S): curve cross-

СМ. ПРОД. 1

0047 244

037 037 340

ВИНИТИ

120 7551

прод. 1

sing between the $c^3\Sigma^+$ and $b^3\Pi$ sta-
tes of He_2 . "Phys. Rev. A: Gen. Phys.", 1973,
8, N5, 2380-2386

УГР

(англ.)

0047 ник

037 037 40

ВИНИТИ

1973

He

B. Liu,
A.D. Mc Lean.

"J. Chem. Phys"

1973, 59, 4557.

Accurate calculation of
attractive interaction...

He

Оренбург 12699 1973

безуменение
абиотическая
ситуация

Акобеевский р.р.

Серебреческий р.р.

22 км.
Узапад

Онмана и окресты.
1973, 34, form. 6, 1046 -
-1052

1973

He⁻

A-2710
MAKITA T., et al.

Mass spectrosc., 1973, 21,
N 4, 293-301.

Ar⁻

j

He I

XI-3818

1973

(E_i)

130761r Energy levels of neutral helium (He I). Martin,
W. C. (Inst. Basic Stand., Natl. Bur. Stand., Washington, D.C.).
J. Phys. Chem. Ref. Data 1973, 2(2), 257-65 (Eng). A review
with 47 refs. The compilation of all identified levels is based
on the most accurate available observations, and includes 48
levels above the He II 1¹S limit (2-electron excitation).

CA1973

79,22

40305.6649

He

1973

Ph, Ch, TE

96201

45-3919

McCullough E.A., Jr. Seminumerical
SCF calculations on small diatomic
molecules. "Chem. Phys. Lett.", 1974,
24, N 1, 55-58
(англ.)

0058 РКК

041 042 0.5

ВИНИТИ

1973

He

) 7 Д21. Вариационные расчеты связанных состояний позитрона и гелия. Moussa A. H., Radi H. M. A. Variational calculation of the positron-helium bound state. «Physica», 1973, 69, № 2, 587—597 (англ.)

расч. 71

Вариационные расчеты Рэлея—Ритца для исследования возможности существования связанных состояний позитрона и гелия выполнены с помощью 9 различных прооных ф-ций, содержащих от 4 до 18 параметров. Найдено, что позитрон не образует связанного состояния с атомом Не, что согласуется с адиабатич. приближением для условий существования связанных состояний и противоречит подобным расчетам, использующим 4 параметрич. ф-ции.

99/1974 N7

40411.1801

научное сообщество

1973

Ph, TE, MGU

34469
атомов He

02

ХУ 4446

Nageshwar Prasad. Quantum mechanical interpretation & analysis of the interaction of two neutral helium atoms.

"Indian J. Pure and Appl. Phys.", 1973,
11, N 8, 541-544

(англ.)

0083 МИК

069 070

076

ВИНИТИ

1973

He

*Неупруг.
рассеяние*

6 Д94. Неупругое рассеяние He(2^3S) на He(1^1S) при малых энергиях. Olson R. E., Morgenstern R., Lorents D. C., Browne J. C., Lenamon L. Low energy inelastic scattering of He(2^3S) on He(1^1S). «Phys. Rev. A: Gen. Phys.», 1973, 8, № 5, 2387—2389 (англ.)

Времяпролетный метод применен для измерения энергетич. потерь метастабильных атомов He(2^3S) при рассеянии на атомах He(1^1S). Нейтральный пучок, содержащий атомы He в основном и метастабильном состояниях, получен при перезарядке ионов He $^+$ в парах Cs. Рассеянные метастабилии детектировались с помощью поворотного каналового умножителя. Другой каналовый умножитель, установленный при фиксированном угле рассеяния, служил монитором интенсивности пучка. Времяпролетные спектры метастабилей измерены при энергии $E=8,65$ эв (Ц-система) и углах рассеяния $\theta=1^\circ$, 3° и $5,5^\circ$. Установлено, что при $\theta=1^\circ$ рассеяние является в основном упругим, а при больших углах θ в

ф. 1974. № 6

⊗ +1 He₂

спектре появляется второй пик, соответствующий энергетич. потерям 1,15 эв и связанный с возбуждением $\text{He}(2^3P)$ -состояния. Расчет диффер. сечений упругого и неупругого рассеяния произведен по методу сильной связи с использованием потенц. кривых и матричных элементов. Наблюданное согласие между теорией и экспериментом как в отношении величин сечений, так и их структуры указывает на то, что механизм возбуждения обусловлен вращательной связью между $c^3\Sigma_g^+$ - и $b^3\Pi_g$ -состояниями He_2 .

И. Флакс



40214.8861
TE, Ph, MGU

^4He

23025

1973

45-3228

Parlinski K.

Moments of the density-density correlation function of liquid He^4 .

"Acta phys. pol.", 1973, V 44, N 6,
813-827

(англ.)

0044 ПМК

025 029

ВИНИТИ

1973

He (cleanup)

101987j The 600-Å bands of helium. Peatman, William B.; Wu, Dan T. C. (Chem. Dep., Vanderbilt Univ., Nashville, Tenn.). *Chem. Phys.* 1973, 2(3), 335-41 (Eng). Time resolved spectroscopy indicates that the states which give rise to the 600-Å bands of He are populated via He(1^1S), He(2^1S) collisions in the hot arc (initial) period of the discharge. Pronounced differences are obsd. in the emission curves of the mol. He continuum at 623, 670, and 800 Å which are briefly related to the kinetics involved in the resp. excitation processes.

He

Pochat Amédée

1973

богдунг.
кошмарнис
и пурхсог

Thess doct., sci phys. Univ
Bretagne occidentale, 1973,
170p, ill (pp)

(all O₂; \overline{III})



He (2^3S) with

$N_2, O_2, CO, HBr,$
 HCl, Cl_2

W.C. Richardson,
D.W. Setser

J. Chem. Phys., 1973,
58(5), 1809-25

"Penning ionization optical
spectroscopy: metastable helium
(He 2^3S) atoms with ..."

1973

He

11 Д26. Влияние тонкой структуры линий гелия на измерения концентрации метастабильных атомов методом оптического поглощения. Rajotte Raymond. Influence de la structure fine des raies de l'hélium sur les mesures de concentration d'atomes métastables par absorption optique. «Can. J. Phys.», 1973, 51, № 9, 1024—1025 (англ.; рез. франц.)

Получена ф-ла для коэф. пропускания $T(k_0L)$ с учетом тонкой структуры линий (на примере перехода

измер.
Концентр.

$3^3P \rightarrow 2^3$ в He) в случае произвольного поглощения. Расчет $T(k_0L)$ с учетом структуры и в пренебрежении ею (по Митчелу и Земанскому) показывает, что при большом поглощении ошибка в определении k_0L и, соответственно, плотности метастабильных атомов может достигать 100%.

А. Резников

дк. 1973 № 11

диссертация

1973

He

Ne

Ar

пригоден
для сис-
темы
изуч.

ф. 1975 № 8

8 Д 80 Д Определение относительных сечений ионизации возбужденных долгоживущих атомов He, Ne, Ar электронным ударом. Shearer Walter. Détermination des sections efficaces relatives d'ionisation des atomes excités de longue durée de vio de l'helium, du neon et de l'argon par bombardement électronique. Thèse doct. sci. Univ. Paris-Sud, 1973, 128 p., ill. (франц.)

Описан метод изучения возбужденных долгоживущих атомов, основанный на использовании атомарного пучка, пересекаемого двумя пучками электронов. Получены величины относит. сечений ионизации возбужденных атомов He, Ne, Ar электронами с энергией на 2—3 эв ниже потенциала ионизации соответствующего атома в основном электронном состоянии. В процесс ионизации вносят вклад как метастабильные атомы, так и атомы в высоковозбужденных ридберговских состояниях. Основные разделы диссертации: Гл. 1. Свойства возбужденных атомов He, Ne, Ar с большим временем жизни. Гл. 2. Эксперим. методы. Гл. 3. Аппаратура. Гл. 4. Эксперим. методика. Гл. 5. Точность измерений. Гл. 6. Эксперим. данные. Гл. 7. Обсуждение результатов. Библ. 136.

Г. К.

42

41

д. л.

18

30625.8891
Ph, TE, EM MGU

He

42529 *

485

Sol C., Boulmer J., Delpech J.-F.

Elastic electron-neutral-atom interaction measurements in helium at ultralow energies.

"Phys. Rev. A: Gen. Phys.", 1973, 7, N 3,
1023-1028

(англ.)

0902 ник

883 886

895

ВИНИТИ

50924.6049

Ph,TE,MGU

He

Синчен

308097GR

1148

Steichen J.C., Franklin J.L.

"Discharge emission identification by
photoelectron spectroscopy."

"Appl.Opt.", 1973, 12, N 8, 1971-1975

(англ.)

0367 ВИНИТИ

952 954 960

ВИНИТИ

31031.4522

Ph, Ch, TE, MGU

He

1973

40892

1807

Wang P.S.C., Benston Margaret Lowe,
Chong D.P.

Constrained variation method for excited
state energies of atoms and molecules.

"J. Chem. Phys.", 1973, 59, N 4,
1721-1725 (энгл.) 0993 РИК

973 975

86

ВИНИТИ

1973

He
Ne

(E_i)

3 Д32. Высоковозбужденные состояния гелия и неона. Wing W. H., Lea K. R., Lamb W. E., Jr. Highly excited states of helium and neon. «Atom. Phys. 3. Proc. 3rd Int. Conf., Boulder, Colo, 1972». New York-London, 1973, 119—141 (англ.)

Для изучения микроволи, расщеплений высоковозбужденных состояний применяется смешанная (экспериментальная и теоретическая) методика, основанная на модели квантового дефекта. В эксперим. технике используется метод микроволи. оптич. резонанса. Основное внимание уделено состояниям с $n=7$, $l \geq 2^4\text{He}$, хотя некоторые оптич. линии измерены и идентифицированы для $n=9, 10, 11$ и 20. При интерпретации аналогичных данных для неона возник ряд затруднений,

ф. 1975 № 3

(+) □

обусловленных близким взаимным расположением некоторых уровней энергии (разность между ними составляет $1-2 \text{ см}^{-1}$). Библ. 21.

З. Б. Рудзикас

CP

50116.7201
Ph,TC,MOU

He

42529 02

1974

* 4-7998

Anderson M.T., Weinhold F.

Relative accuracy of length and velocity
forms in oscillator-strength calculations.

"Phys. Rev. A : Gen. Phys.", 1974, 10, N 5,
1457-1463
(англ.)

0274 ФИК

263 263

263

ВИНИТИ

40530.7217
Ph, TE, MOU

He

42529

1974

кареин сима Od
весибашоров

X45104

Anderson M.T., Weinhold F.

Dipole oscillator strengths, with
rigorous limits of error, for He
and Li⁺.

"Phys. Rev. A : Gen. Phys.", 1974, 9, N 1, 118-128
(англ.)

099 101 Q 1/13

Д.Д. ВИНИТИ

41119.1857

Ph, TC, Ch

He

29864 02

1974

2467

Archibald Robert M., Armstrong David R.,
Perkins Peter G. Molecular calculations
 using spherical gaussian orbitals. Part
 1. Optimisation of the atomic parameters
 for the first-row atoms.

"J. Chem. Soc. Faraday Trans.", 1974,
 Part 2, 70, N 9, 1557-1569 (англ.)

216 219 0228

0236 пикнити

40513.8871
TE, Fn, MGU

He 30053 02 1974
2403

Banyard K.E., Seddon G.J.

The influence of electron correlation on
generalized oscillator strengths for He.

"J. Phys. B: Atom. and Mol. Phys.", 1974,
7, N 4, 429-439

(англ.)

0108 РКХ

088 090 0100

ВИНИТИ

41014.8731

Ch, Ph, TC, MGU

40892

02

1974

He

*4-6829

Bromberg J. Philip.

Absolute differential cross sections of electrons elastically scattered by the rare gases. I. Small angle scattering between 200 and 700 ev.

"J.Chem.Phys.", 1974, 61, N 3, 963-969

(англ.) 0211 пик

181 181

-209

ВИНИТИ

41008.3883
Ch, Ph, TC, NGU

30063 02 1974

He (спектр) *

4-6605

Cvejanovic S., Read F.H.

A new technique for threshold excitation spectroscopy.

"J. Phys. B: Atom. and Mol. Phys.", 1974, 7, N10,
1180-1193

(англ.)

0208 пик

170 175

18

ВИНИТИ

He (I)

11 Д296 Д. Анализ профилей и измерения относительных вероятностей переходов некоторых синглетных линий гелия. Damaschini Roland. Le grade de docteur es-sciences. Analyse de profils et mesures de probabilités de transition relatives de quelques raies de Singulet de l'helium. Thèse doct. sci. phys. Univ. Paris-Sud, 1974. 102 p., ill. (франц.)

1974

*Диссертация
закончена,
заключение
и приложения.*
Диссертация состоит из трех глав, введения, заключения и четырех приложений. Гл. 1 посвящена изучению спектральных линий синглетов HeI. Оценен вклад автоионизации, степень излучения, дан общий анализ изучения профилей спектральных линий. С помощью интерферометра Фабри—Перо измерены профили линий 5047 Å ($2^1P - 4^1S$) и 4292 Å ($2^1P - 4^1D$), которые сравниваются с теоретич. расчетами. В гл. 2 методом полного поглощения описаны результаты измерений относит. вероятностей переходов 8 синглетных линий уровней HeI. Дано подробное описание установки и метода измерения т-ры. В гл. 3 обсуждается полученное отличие между профилями линий излучения и поглощения HeI и возможные причины, которые приводят к этому отличию. Основные результаты диссертации резюмированы в заключении. В. П. Шевелько

1976

fin.

*1976
n 11*

40711.6163

Ph. TC

42531 02

He

1974

2196

Dunning F.B., Stebbings R.F.

Absolute cross sections for the photoionization of He ($n^1, ^3P$) atoms."Phys. Rev. Lett." 1974, 32, N23, 1286-

1289

(англ.)

0143 ГРН

122 126 140

ВИНИТИ

40513.8856
TE, Ph, MGU

He

30063 02

1974

2107

Froeze Fischer Charlotte.

Correlation effects important for accurate oscillator strengths.

"J. Phys. B: Atom. and Mol. Phys.", 1974,
7, N 4, L91-L96

(англ.)

0108 РКМ

ВИНИТИ

He

1974

изделий
изделий

9 Д307. Штартковские профили линий излучения He при больших плотностях. Greig J. R., Jones L. A., Lee R. W. High-density Stark profiles of two neutral Helium lines and their forbidden components. «Phys. Rev. A: Gen. Phys.», 1974, 9, № 1, 44—51 (англ.)

Измерены профили линий 4471 Å ($4^3D - 2^3P$), 4470 Å ($4^3F - 2^3P$) и их компонент в He при плотностях электронов $N_e = (1,6 - 4,4) \cdot 10^{17}$ см⁻³ и т-ре $T_e \sim 25\ 000^\circ$ К. Расчеты профилей проводились методом случайной фазы для электронов и в квазиклассич. приближении для ионов. Вычисленные и измеренные профили линий находятся в хорошем согласии. Библ. 32.
В. П. Шевелько

cf. 1974. 11.9

1974

He

 H_2^+

*расчет
энергии
основного состояния*

ЗД163.. Теория возмущений Бриллюэна — Вигнера и обобщенное уравнение на собственные значения. Laughlin C., Woodward M. R., Amos A. T. Brillouin-Wigner perturbation theory and the generalized eigenvalue equation. «Int. J. Quant. Chem.», 1974, 8, № 4, 491—498 (англ.)

Предложена методика решения обобщенной задачи ~~на~~ собств. значений в рамках теории возмущений Бриллюэна — Вигнера. Рассмотрены случаи, когда возмущенный и невозмущенный операторы имеют как одноковую, так и различную симметрию. Развитая методика применена к расчету энергии основного состояния атома He и молекулярного иона H_2^+ . Собств. значения, как обычно, определялись итерационным методом. Найдено, что в рассмотренных задачах теория возмущений Бриллюэна — Вигнера в общем дает более удовлетворительные результаты, чем теория Рэлея — Шредингера.

А. И. Шерстюк

Ф. 1975 № 3



1974

He

CO₂

(расчет)

(E_i, e_{inf.},
осцилл.)

З Д328. Метод уравнений движения: неупругое рассеяние электронов в гелии и CO₂ в борновском приближении. McCurdy Clyde W., Jr., Mc Coy Vincent. Equations of motion method: inelastic electron scattering for helium and CO₂ in the Born approximation. «J. Chem. Phys.», 1974, 61, № 7, 2820—2826 (англ.)

С помощью метода ур-ний движения рассчитаны энергии возбуждения и обобщенные силы осцилляторов для гелия и CO₂. Показано, что этот метод позволяет получить энергии возбуждения системы без расчета волн. ф-ций основного и возбужденных состояний и что он очень хорошо подходит для расчета матричных элементов оператора, используемого в борновском приближении. Результаты для гелия хорошо согласуются с расчетами других авторов. Для молекулы CO₂ рассчитанные энергии возбужденных состояний $^1\Pi_g$, $^1\Delta_u$, $^1\Sigma_u^+$ и $^1\Pi_u$ отличаются от эксперим. значений, полученных из спектра энергетич. потерь, не более чем на 10%. Более подробная информация об электронном спектре CO₂ получается при сравнении теоретич. и эксперим. значений обобщенных сил осцилляторов. В. Г. Левин

Ф. 1975
№ 3

41

He

X-8631

1974

6 Д137. Полученные самосогласованные расчеты для малых двухатомных молекул. McCullough E. A., J. Seminumerical SCF calculations on small diatomic molecules. «Chem. Phys. Lett.», 1974, 24, № 1, 55—58 (англ.)

Предложен метод полученного решения ур-ний Хартри—Фока для двухатомных молекул, состоящий в численном интегрировании по эллиптическим координатам $\xi = (r_A + r_B)/R$ и аналитич. интегрировании по координатам $\eta = (r_A - r_B)/R$ и ϕ . Полученные этим методом полученные решения для He, He₂ и LiH оказались существенно точнее известных аналитич. решений у ядер молекулы; энергии же улучшились только на несколько единиц в пятом—шестом знаке. И. В. Чиплинс

ф. 1974 № 6

+2

He

12 Б15. Полученные расчеты малых двухатомных молекул методом ССП. McCullough E. A., Jr. Seminumerical SCF calculations on small diatomic molecules. «Chem. Phys. Lett.», 1974, 24, № 1, 55—58 (англ.)

1974

Предложен метод частичного численного интегрирования ур-ний Хартри—Фока для двухатомных молекул (случай замкнутых оболочек). Орбитали Хартри—Фока записываются в эллипсоидальных координатах: $\psi_n(\xi, \eta, \phi) = \chi_{nmt}(\xi, \eta) \exp(it\phi)$, причем функции χ_{nmt} представляются частными суммами ряда $\chi_{nmt} =$

$$= \sum_{l=|m|}^{\infty} f_{nmt}(\xi) P_l^m(\eta), \text{ где } P_l^m \text{ — присоединенный полином Лагерра, а } f_{nmt} \text{ — подлежащая определению функция переменной } \xi.$$

После подстановки ψ_n в ур-ния

д. 1974 № 12

+2

He₂; LiH;

Хартри—Фока и интегрирования по ϕ и η получается система интегродифференциальных ур-ний для функций f_{nml} . Эти ур-ния интегрируются численно, в силу чего метод и назван «получисленным». Преимущество метода заключается в возможности получить равномерное приближение для точных орбиталей во всех областях пространства — как вблизи, так и вдали от ядер. Приведены результаты расчета данным методом атома Не (атом формально принят за молекулу с межъядерным расстоянием 2 ат. ед. и с нулевым зарядом одного из ядер), молекул He_2 (4 функции f_{nml}) и LiH (12 функций f_{nml}). По полной и орбитальной энергиям метод дает практически те же результаты, что и обычный матричный вариант метода Хартри—Фока, однако при расчете величин максимумов функций на ядрах результаты получаются точнее.

М. Е. Ерлыкина

1974

He

квазипересечения
сингл-триплетных
уровней

11 Д16. Наблюдение синглет-триплетных квазипересечений в He. Miller Теггу A., Freund Robert S., Tsai Foch, Cook Thomas J., Zegarski Bernard R. Observation of singlet-triplet anti-crossings in He. «Phys. Rev. A: Gen. Phys.», 1974, 9, № 6, 2474—2484 (англ.)

Изучалось квазипересечение синглетных и триплетных уровней атома гелия — уровнями 7^1D и 7^3D и уровнями 8^1D и 8^3D , которые имеют место, соответственно при напряженностях магн. поля 9710 ± 20 и 6750 ± 25 Гц. В окрестности точки квазипересечения происходит (взаимно компенсирующее друг друга) изменение интенсивностей излучения с синглетного и триплетного уровней. Из анализа формы сигнала квазипересечения определены по-

Ф. 1974. N 11

вые, уточненные значения синглет-триплетных расщеплений (13642 ± 28 МГц для $7d$ -состояния и 9483 ± 35 МГц для $8d$ -состояния). Эти результаты показывают, что ошибки наилучших оптич. измерений синглет-триплетного расщепления составляют несколько гигагерц. Определены также недиагональные матричные элементы спин-орбитального взаимодействия между синглетным и триплетным состояниями; они в несколько раз больше соответствующих диагональных матричных элементов. Отмечается перспективность метода квазипересечений для изучения характеристик ридберговых состояний атомов и молекул, точное измерение которых оптич. методами затруднительно.

Т. К. Ребане

50422.7621

Ph, MGU, TC

42529

He

May 7. 1974
(Eg)

1974

* 4-8798

Mueller R.O., Rau A.R.P., Spruch Larry.
Lowest energy levels of H⁻, He, and Li⁺
in intense magnetic fields. "Phys. Rev.
A: Gen. Phys.", 1974, 11, N 3, 789-795

(см H⁻, III)

(англ.)

0349 РИК

322 327

08 6 7

ВИНИТИ

He

($A\bar{e}$)

XI - 4093

1974

10 Д47. Возбужденные состояния отрицательных ионов и определение их энергии связи методом отрыва электрона электрическим полем. Опарин В. А., Ильин Р. Н., Серенков И. Т., Соловьев Е. С. «Ж. эксперим. и теор. физ.», 1974, 66, № 6, 2008—2019 (рез. англ.)

Исследовался отрыв электрона от отрицат. ионов под действием внешнего электрич. поля с напряженностью $E < 450$ кв/см. Показано, что возбужденные метастабильные состояния с энергией связи $\epsilon < 0,2$ эв имеются у следующих ионов: He⁻^(4P), C⁻^(2D), Si⁻^(2P), Al⁻^(1D). По скорости распада этих состояний в поле E определена величина их энергии связи, которая составляет: $(0,075 \pm 0,005)$ эв для He⁻^(1s2s2p⁴P), $(0,037 \pm 0,003)$ эв для C⁻^(2D), $(0,035 \pm 0,004)$ эв для Si⁻^(2P), $(0,095$ эв) для Al⁻^(1D). Получена оценка энергии связи основного состояния Al⁻^(3P) (сродства к электрону) $(\geq 0,2)$ эв.

Автореферат

ф. 1974 № 10

+3



Чурвиц

He
N₂
(и.н.)

ХI - ХII

(+)

☒

φ. 1974. N 11

11 Д131. Атомные и молекулярные электронные спектры и другие свойства, рассчитанные с помощью электронного пропагатора. Ригвис Георг D., Оргн Йнгве. Atomic and molecular electronic spectra and properties from the electron propagator. «J. Chem. Phys.», 1974, 60, № 10, 4063—4069 (англ.).

Метод электронного пропагатора (ф-ции Грина) применен к расчету линейчатых фотоэлектронных спектров, полных энергий основных состояний и электронных свойств атомов и молекул. Численные результаты приведены для атома гелия и молекулы азота. Наилучший результат для электронной энергии основного состояния He равен —2,9004 ат. ед., а для основного состояния молекулы азота — 54,671 ат. ед. Вычислен также линейчатый спектр фотоэлектронов молекулы азота в интервале энергий от 50 до 10 эв (что соответствует энергиям связи валентных электронов). По мере уточнения приближения положения и интенсивности пиков все лучше согласуются с эксперим. спектром фотоэлектронов и передают даже наличие сателлитов в спектре. Подчеркивается зависимость результатов, получаемых по методу электронной ф-ции Грина при использовании конечной системы базисных ф-ций, от выбора базиса.

Т. К. Ребане

He

BQ - 4786 - IX

1974

(paeret)

(ϵ_0)
(ϵ_i)

Santos, M. L., Santos,
E., J. Chem. Phys.,
1974, 61, NG, 2471

1974

He
Li

8 Д22. Релятивистские Z-разложения для возбужденных состояний He и Li. Snyder R. Relativistic Z-expansions for excited states of He and Li. «J. Phys. B: Atom. and Mol. Phys.», 1974, 7, № 3, 335—341

Для возбужденных конфигураций изоэлектронных рядов He и Li, содержащих 3 p - и 4 p -электроны получены коэф. E_1 и E_2 разложения релятив. энергии E

по обратным степеням заряда ядра: $E = \sum_{j=0}^{\infty} E_j Z^{4-j}$. Вели-

чина E_1 определена обычным способом посредством вычисления матричных элементов электростатического и брейтовского взаимодействий. Найдено, что при вычис-

релятивист.
Z-разложени.

Ф. 1974. N8



лении средней по jj -конфигурации энергии двух неэквив. электронов брейтовская часть взаимодействия дает вклад только через посредство обменных членов. Коэф. E_2 возбужденных двухэлектронных состояний получен с помощью экстраполяции результатов вариаци. расчета (РЖФиз, 1972, 2Д47). Найденные разложения использованы для расчета дублетного расщепления уровней терма $1\ s^2np^2P$ ($n=2, 3, 4$). Результаты срав-
нены с имеющимися теоретич. и эксперим. данными.

А. И. Шерстюк

40523.842

TE, Ph

He 22024

наречініє прородиці
к прогносту

02

1974

* 45030

Tamássy-Lentei I., Szaniszló J.

Calculation of the proton affinity of
several small molecules by the FSGO
method.

"Acta phys. Acad. sci. hung.", 1974, 35, N1-4,
201-211

(англ.)

011-5000

092 097

1 2 4

ВИНИТИ

He

1974

(Primo. CCR)

7808w Higher Rydberg states of helium using the polarized orbital method. Comments. Temkin, A.; Silver, A. (Goddard Space Flight Cent., NASA, Greenbelt, Md.). *Phys. Rev. A* 1974, 10(4), 1439-41 (Eng). Rydberg states of He of the configuration $(1s\ nl)^{1,3}D, ^{1,3}F$ for $n = 3-7$ were calculated using polarized-orbital and related approximations, notably the extended-polarization approximation. The singlet states are superior in the full polarized-orbital approximation whereas the triplet cases are better in the extended-polarization approximation. Reasons for this behavior are given. Comparison is also made with recent diagrammatic calculations of Chang and Poe. A comment on some recent polarized-orbital calculations of photoionization is included.

C.A. 1975 82 N2

He Tsui Francis S. M. 1974
Freed Carl F.
"Chem Phys" 1974, 5, N 3,
337-349 (ausz)
(au Be; III)

JK - 4971

x. 1975. N 7.

40920.6718

A, TC

49088

He

(nonsp. сечени
атомна. дин.
енергия)

1974

45-6425

Tully J.A., Serrão J.M.P. Electron impact excitation of metastable helium-like ions. "Astron. and Astrophys.", 1974, 33, N 2, 187-189

(англ.) 0194, ***

157 162

186

ВИНИТИ

Ar, Kr, Ne, Xe, He (E_i). XI 4155 1974.

Yakozawa M., Matsuzaki H.,

Kamegaya T., Nakajima M.,

J. Opt. Soc. Amer., 1974, 64 (3),
396-7.

Grottrian charts for atoms and
ions of rare gases.

C.A. 1974. 80. N24. 138736e,

to

8

He^-

He^{2-}

(3)

равен

автореферат

1975

Абрамченков А. В.

Годуцистрический
раем энергетических
свойств атомов и
 2^{λ} ам. ядерн. физ.

50403.9010

49587

1975

Ch, TC, MGU

He

3137

Ahlrichs Reinhart, Driessler Frank.
Direct determination of pair natural
orbitals. A new method to solve
the multi-configuration Hartree-
Fock problem for two-electron wave func-
tions. "Theor.chim.acta", 1975, 36, N4, 275-
287 (англ.)

304 305

0329 0337 ПИК ВИНИТИ

He

ЗД13. Возбужденные состояния He: поведение функции межэлектронного углового распределения. Van Hyard K. E., Ellis D. J. Excited states of He: the behaviour of interelectronic angular distribution functions. «J. Phys. B: Atom. and Mol. Phys.», 1975, 8, № 14, 2311—2319 (англ.).

Введенная авторами ранее (см. РЖФиз, 1973, 5Д27) ф-ция межэлектронного углового распределения (ФМУР) вычисляется для возбужденных состояний атома гелия. ФМУР определяется как интеграл от двухэлектронной матрицы плотности по координатам электронов, за исключением координаты межэлектронного угла θ_{12} , и пропорциональна, т. обр., плотности вероятности последнего. Для расчетов использовались точные хартри-фоковские волны, ф-ции и ф-ции, учитывающие межэлектронную корреляцию. Разность ФМУР, рассчитанных с корреляционными и хартри-фоковскими ф-циями, определяется как «угловая дырка» (УД). Найдено, что для всех возбужденных синглетных и триплетных состояний при $\theta_{12}=0$ существует УД, однако глубина ее меньше, чем в основном состоянии. Несмотря на то, что ФМУР для различных состояний имеет различную форму, ширина и форма УД для них почти совпадает, а глубина убывает в ряду: $^3S > ^3P > ^1P$. Даны новая формулировка правила Гунда в терминах углового распределения электронов.

Е. П. Смирнов

возбужд.
состоян.
кв. расчет

Х 1976 № 3

1975

He

с. (8 д106.) Образование отрицательных ионов гелия путем захвата электронов из атомов гелия в основном состоянии. Bagagiola R. A., Salvatelli E. R. Formation of negative helium ions by electron capture from ground-state helium atoms. «J. Phys. B: Atom. and Mol. Phys.», 1975, 8, № 3, 382—387 (англ.)

сформулировано

Измерены сечения захвата электронов σ_{01^-} атомами He в основном состоянии при столкновениях с атомами Mg и Pb в диапазоне энергий 20—40 кэв. Атомы He получались в результате перезарядки анализируемого по массе моноэнергетич. пучка ионов He^+ . Пучок атомов He затем проходил через камеру, содержащую пары исследуемого металла. Появляющиеся при этом заряженные компоненты анализировались в магн. поле и детектировались подвижным детектором. Сечения σ_{01^-}

(41)

д. с.

09 1975 N8

определялись из наклона кривой зависимости относит. величины тока отрицат. ионов He^- от толщины мишени. В случае столкновений атомов He с атомами Pb ионы $\text{He}^-({}^4P)$ могут образоваться путем перехода двух внешних электронов от Pb к He и одного из электронов от He к Pb: $\text{He}({}^1S) + \text{Pb}({}^3P) \rightarrow \text{He}^-({}^4P) + \text{Pb}^+({}^2P)$. В системе $\text{He}({}^1S) + \text{Mg}({}^1S)$ подобный процесс образования ионов $\text{He}^-({}^4P)$ маловероятен из-за нарушения правила сохранения спина Вигнера и наблюдение ионов He^- может служить подтверждением представления о существовании связанныго дублетного состояния He^- .

И. Флакс

1975

He

ЗД287. Измерение интервалов $n^1D \rightarrow n^3D$ в He для
 n от 8 до 11. Веуег Н. І., Коллат К. І. Measure-
ment of the $n^1D - n^3D$ intervals in He, $n=8$ to 11.
«J. Phys. B: Atom. and Mol. Phys.», 1975, 8, № 14,
L326—L330 (англ.)

*Сверх-
тонкая
структур
а*

Измерены интервалы сверхтонкой структуры гелия
для $n=8$ (перепроверка ранее полученных значений) и
для $n=9, 10, 11$ (впервые) с использованием метода
антипересечения синглет-триплетных сигналов. Установ-
ка включала в себя запаянную стеклянную ампулу с ге-
лием при давл. $1 \cdot 10^{-2}$ мм рт. ст., которая помещена в
зазор электромагнита. Параллельно силовым линиям

X 1976 №3

магн. поля направлен пучок электронов с энергией 100 эв. Свет, излученный перпендикулярно магн. полю, проходит через линейный поляризатор. Спектральные линии $n^1(^3)D \rightarrow 2^1(^3)P$ выделяются монохроматором. Интенсивность света регистрировалась как ф-ция напряженности наложенного магн. поля. Получены следующие значения: 9326 ± 35 ($n=8$), 6644 ± 35 ($n=9$), 4889 ± 30 ($n=10$), 3696 ± 30 ($n=11$) МГц.

Л. С. Гуляева

1975

He

7 Г310. Температура атомов в основном состоянии в гелиевом послесвечении. Bouvier Annie, Bouvier Albert, Monteil André, Samba Charles. Evaluation de la température des atomes à l'état fondamental dans postluminescence d'hélium. «С. г. Acad. sci.», 1975, 281, № 23, B587—B590 (франц.; рез. англ.)

(T_0)
Вычислена т-ра атомов в основном состоянии в течение 12 мксек после окончания импульсного микроволнового разряда. Для расчетов использовались эксперим. данные об энергетич. балансе и электронной т-ре в послесвечение Не при давл. 4 мм рт. ст. Полученное таким образом значение т-ры составляет $T_0 = 700 \pm 100^\circ\text{K}$.

Резюме

Ф. 1976 № 7

60108.1206

Ph, Ch, TC, MGU

30088

He

1975

3655

Datta D.K., Ghoshal S.K., Sengupta S.
Hartree-Fock wave functions and oscillator strengths for the helium isoelectronic sequence.

"J. Quant. Spectrosc. and Radiat. Transfer",
1976, 16, N1, 49-52. (англ.) 0536 ник

507 510

ВИНИТИ

60328°
TC, MGU, Ch, Ph

He

1975

4-1186-0

Daudel R., Mezey P.G., Goddard J.D.,
Csizmadia I.G. A relationship between
the sizes and ^energies of atomic orbitals.
"Can. J. Chem.", 1975, 53, N 24, 3739-3746
(англ., рез. франц.)

0587

562.567 5.79

ВИНИТИ

3

³Henominally,
not - cm⁻¹

1975

15945z Nonadditive potential in the triatomic helium system. Gonzalez, T. L. (Esc. Super. Fis. Mat., Inst. Politec. Nac., Mexico City, Mex.). Report 1973, INIS-mf-1270, 63 pp. (Span). Avail. INIS Sect., Int. At. Energy Agency, Vienna, Austria. From *Nucl. Sci. Abstr.* 1975, 31(6), Abstr. No. 14995. The nonadditive energies of 3 bodies were calcd. for different geometric configurations in one of the simplest systems, that formed by 3 He atoms. The basis was the Roothaan selfconsistent field method with linear combinations of at. orbitals for interat. distances permitting overlapping. The POLYATOM program was used for the calcn. The calcns. were 1st made for linear configurations in general. The nonadditive potential was also calcd. for isosceles triangular configuration and for scalene triangles in general. The nonadditive effect is most important for short interat. distances where the electron overlapping is large. The effect is attractive for equilateral triangles and becomes repulsive to the extent that the triangular configuration becomes linear.

C.A. 1975. 83 N2

1975

He
slop

Kalitejewski N.J., et al.

Afsl. Pljss. PZO. 4th

Jut. - Conf. Heidelberg, 1975

New York - London, 1975, 19-45

- less kb, III)

He

1975

2 Дз. Новое значение постоянной тонкой структуры, полученное из измерений тонкой структуры гелия. Lewis Michael L. A new value of the fine structure constant from helium fine structure. «Atom. Phys. 4». Proc. 4th Int. Conf., Heidelberg, 1974. New York—London, 1975, 105—118 (англ.)

Выражение для энергии уровней 2^3P_0 , 2^3P_1 , 2^3P_2 He, определяющее величину тонкого расщепления триплет-

постоянной
тонкой
структур.

Р 1977 № 2

ных P -состояний $v_{01} = E(2^3P_0) - E(2^3P_1)$, $v_{12} = E(2^3P_1) - E(2^3P_2)$ представлено в виде ряда по степеням константы тонкой структуры α . Во втором порядке теории возмущений рассчитаны коэф. этого разложения порядка α^4 и $\alpha^2(m/M)$. Суммы по промежуточным состояниям ограничены членами 3P -, 1P -, 3D -, 1D -, 3F -симметрий. Их воли. ф-ции вычислялись вариационным методом в базисе из 286 ф-ций. Предполагается, что учтенные члены дают основной вклад в разложение для энергии. Для α^{-1} тогда получается величина 137,03548 (2,0 млн. долей). Приводится сравнение с величинами, вычисленными с помощью других экспериментов.

Ю. Дмитриев

He

11 Д242. Эмиссионные спектры гелия. I. Исследование при средних давлениях. Lott Dempsey E., III, Glick R. E., Llewellyn J. A. Helium emission spectra. I. Intermediate pressure studies. «J. Quant. Spectrosc. and Radiat. Transfer», 1975, 15, № 6, 513—526 (англ.)

1975

поперечные
сечения
возбуждения
уровней

Измерены поперечные сечения возбуждения уровней гелия n^1P ($n=3,4,5,6$) и $n^{1,3}D$ ($n=4,5,6,7$) в диапазоне давлений $(5 \div 200) \cdot 10^{-3}$ мм рт. ст. при возбуждении электронным пучком энергией $\sim 1,5$ кэв. В тех же условиях измерено поперечное сечение уровня 4^1S для выяснения влияния вторичных электронов. Проведен подробный анализ механизмов переноса возбуждения с уровнем n^1P с учетом столкновений и радиационных процессов. Для уровней с $n=4$ и $n=5$ проведены расчеты поперечного сечения переноса при столкновениях $n^1P \leftrightarrow nF$, результаты которых согласуются с принципом детального равновесия. Анализ поперечного сечения 6^1P показал, что при переносе энергии с уровнем n^1P в результате столкновений процессы вида $n^1P \leftrightarrow nF$ становятся заметными при $n=6$. Оценка поперечных сечений состояний $n^{1,3}D$ показала, что прямое заселение и потери при столкновениях становятся более заметными при увеличении n . Библ. 22. Резюме

†. 1975
N 11

60408.4264

41125

1975

Ph, Ch, TC

He

* 15-12406

Norf_R.B., Jr. Pressure broadening
 of the $J=1 \leftarrow 0$ transition of hydrogen
 cyanide. "J.Mol.Spectrosc.", 1975, 58,
 N 3, 479-480 (англ.)

0594 ннм

568 569 586

ВИНИТИ

He

1975

10 Д150. Метод парциальных волн самосогласованного поля для двухатомных молекул: вычислительный формализм и результаты для малых молекул. McCullough E. A., Jr. The partial-wave self-consistent-field method for diatomic molecules: computational formalism and results for small molecules. «J. Chem. Phys.», 1975, 62, № 10, 3991—3999 (англ.)

Предложен метод расчета электронной структуры двухатомных молекул, в котором одноэлектронные волны Ф-ции записываются в эллипсоидальных координатах в виде ряда типа $\sum X_{nlm}(\xi) Y_l^m(\eta\varphi)$, где Y_l^m — шаровые Ф-ции (метод парциальных волн). Для нахождения Ф-ций $X(\xi)$ получены ур-ния, решение которых производится путем численного интегрирования. Для атомов He и Be и молекул Li₂, H₂, He₂, HeH⁺ и LiH произведено сравнение результатов, полученных обычным методом Рутана и методом парциальных волн. Обсуждаются достоинства и недостатки обоих методов с точки зрения затрат машинного времени, погрешностей в расчетах физич. свойств молекул, быстроты «насыщаемости» базиса.

В. И. Барановский

расчет
электро-
структур
сферукс

ф. 1975

н10

4

+6

61104.7533

Ch, TC

He, He⁻

(J; He)

29864

19-6

4745

Baughan E.C. Ionization potentials, electron affinities and screening constants. Part 8. Further developments.
 "J. Chem. Soc. Faraday Trans.", 1976,
 Part 2, 72, N 7, 1275-1279 (англ.)

0740 ник.

699 707 732

ВИНИТИ

70218.4218
Ph, Ch. TC

30526GR 1976

X4-17067

He

Dagro P.D., Watts C.J. Molecular MCSCF calculations by direct minimization. III. Extension of the single excitation MCSCF method to include some double excitations. "Mol. Phys.", 1976, 32, N 5, 1437-1449 (англ.)

6815

ВИНИТИ

775 778

807

He

1976

12 Д13. Расчет энергий возбуждения ридберговых состояний HeI в приближении поляризационной модели. Deutsch C. Rydberg states of He I using the polarization model. «Phys. Rev. A: Geh. Phys.», 1976, 13, № 6, 2311—2313 (англ.)

В приближении поляризационной модели (См. РЖФиз, 1971, 9Д23) энергии возбужденных ридберговых состояний $1snl$ атома Не можно разложить в ряд.

$$\sum_{k=0}^m C_k \langle nl | R^{-k} | nl \rangle,$$

где $\langle nl | R^{-k} | nl \rangle$ — матричные элементы, вычисленные с водородными ф-циями. С учетом членов до $m=7$ рассчитаны энергии состояний $1snl$ с $n \leq 9$, $l \leq n-1$.

Л. Н. Иванов

Ф 1976 N 12

1976

He

8 Д69. Автоионизация гелия при электронном ударе. Gelebart F., Tweed R. J., Peresse J. Autoionisation of helium by electron impact. «Comments Atom. and Mol. Phys.», 1976, 5, № 3, 79—87 (англ.)

Описан метод измерения абс. диффер. сечений автоионизации атомов инертных газов при электронном ударе, основанный на измерении энергии электронов, излученных или рассеянных под различными углами к оси монохроматич. возбуждающего электронного пучка, пересекающегося под прямым углом с атомным пучком. Приведены и обсуждаются результаты, полученные для абс. диффер. сечений автоионизации гелия. В. Ю. О.

ударе.

(+) 24. Удар. 

Ф. 1976 № 8

60513:7594

Ph, TC, MGU

42539 (cp)
 ^3He

1976

X43-12805

Halperin W.P., Archie C.N.,
 Rasmussen F.B., Alvesalo T.A., Richardson
 R.C. Specific heat of normal and superfi-
 liuid ^3He on the melting curve. "Phys.
 Rev. B: Solid State", 1976, 13, N 5, 2124
 -2131 (англ.)

0613 7448

599 600

ВИНИКТИ

Li^+/He (K.S. Mex. paciem)

1976

BX-14

Harikaran P.C., Staemmler V.

Chem. Phys., 1976, 15(3), 409-14.

Potential energy curve of ${}^1\Sigma^+$ lithium(+) / helium.

C.A. 1976, 85, n20, 149303p

10



60823.1252

И. ТС. ИГУ

(ур-ние
40910

He

Черезчук

1976

и-14203

Hawk I.L., Hardcastle D.L. Finite-difference solution to the Schroedinger equation for the ground state and first-excited state of helium. "J.Comput.Phys.", 1976, 21, N2, 197-207 (англ.)

0686 ник

652 662

678

ВИНИТИ

Барнаул 4814

1976

He
Ar

Энергет.
спектр

З Д 53. Времяпролетная спектроскопия высокого разрешения для инжектируемых из He и Ar электронов с использованием импульсного электронного пучка. Keppeгу R. E., Bonham R. A. High-resolution pulsed electron beam time-of-flight ejected-electron spectroscopy of He and Ar. «Chem. Phys. Lett.», 1976, 43, № 2, 245—249 (англ.)

Измерен энергетич. спектр вторичных электронов, инжектируемых атомами He и Ar под углом 90° к потоку первичных ионизирующих электронов с энергией 2 кэв. Для определения указанного спектра использованы времяпролетная методика (с временным разрешением $\sim 4 \cdot 10^{-10}$ сек) и импульсный пучок ионизирующих электронов (с длительностью импульса $\sim 1,5 \cdot 10^{-9}$ сек). Полученные спектры хорошо согласуются с данными других измерений и обнаруживают тонкую структуру.

Б. Ф. Гордиец

Ф. 1977 № 3

(+1)
11

He

1976

5 Д2. Точное решение задачи на связанные состояния одномерной системы из трех тел с δ -образным взаимодействием. Kiang D., Niégawa A. Exact bound-state solution of a one-dimensional three-body system with a δ -interaction. «Phys. Rev. A: Gen. Phys.», 1976, 14, № 3, 911—914 (англ.)

расчет

Рассмотрена задача образования связанного состояния трех частиц произвольной массы за счет парного δ -образного взаимодействия в одномерном пространстве. Исследуются ограничения на массы частиц и интенсивности их взаимодействий, обеспечивающие существование простых решений. Полученные результаты применяются к одномерному атому гелия.

А. Ф. Шестаков

р. 1977 NS

1976

He (I)

5 Д334. Фотоэлектронная спектроскопия с использованием поляризованного HeI излучения. Karlsson L., Mattson L., Jadrny R., Siegbahn K., Thimm K. Valence electron spectroscopy using polarized HeI radiation. «Phys. Lett.», 1976, A58, № 6, 381—384 (англ.)

Для получения поляризованного HeI (584 Å) излучения применён поляризатор отражающего типа. В качестве отражающих элементов использованы 4 стеклянных зеркала, покрытых золотом. Степень поляризации HeI излучения после прохождения поляризатора составила 97 %. Исследовано угловое распределение фотоэлектронов, выбитых поляризованным HeI излучением из валентных орбиталей Kr и бензола. Получены параметры анизотропии углового распределения фотоэлектронов β (в скобках даны соответствующие потенциалы ионизации в эВ): Kr $\beta = +1,30 \pm 0,05$ (14,0), $+1,23 \pm 0,05$ (14,665), C₆H₆ $+1,11$ (9,24), $-0,02$ (11,49), $+0,20$ (12,3), $+0,33$ (13,9), $-0,11$ (14,75), $+0,45$ (15,46), $+0,57$ (16,84).

Ю. В. Чижов

*Фотоэл.
спектроск.
без*

Ф. 1974. N5

1976

He^{2+}

Leclerc J. C.

J. Chem. Soc. Faraday Trans.,
1976, Part 2, 72, N^o 4, 759-64.
(paerei
monelym)

● (cell H₂) III

He

1976

2 Д4. Постоянная тонкой структуры, полученная из измерений тонкой структуры гелия. Lewis M. L., Serafino P. H., Hughes V. W. The fine structure constant from helium fine structure. «Phys. Lett.», 1976, A58, № 2, 125—126 (англ.)

Рассчитан вклад второго порядка теории возмущений по взаимодействию Брейта. Неоднородное ур-ние для поправки первого порядка состояния атома решалось вариационным способом. Использована базисная система ф-ций Хиллерааса из 455 членов для 3P промежуточных состояний и из 286 членов для 1P -, 3D -, 1D - и 3F -состояний. Вклад вычисленных членов уточняет разложение по константе тонкой структуры α энергий 2^3P_0 , 2^3P_1 , 2^3P_2 состояний He, а соответствующее разложение для $v_{01} = E(2^3P_0) - E(2^3P_1)$ приравнивается эксперим. значению. В результате относит. ошибка получаемого значения для α будет $\sim 0,94$ млн. долей, а $\alpha^{-1} = 137,03609$ (13).

Ю. Дмитриев

тонкая
структур

φ. 1977, № 2

61104.7501
Ch, Ph, TC

29864
He (нг. неф.
пакет) № 5-14875
1976

Pakiari Ali H., Linnett John W.
Applications of a simple molecular
wavefunction. Part 12. Open-shell floa-
ting spherical Gaussian orbital calcula-
tions for some atoms and ions. "J. Chem.
Soc. Faraday Trans.", 1976, Part 2, 72,
N 8, 1281-1287 (англ.)

0740 РМК

701 707

732

ВИНИТИ

He^-

1976

7 Д14. Метастабильные автоионизационные состояния отрицательного иона гелия. Safronova U. I., Senashenko V. S. Metastable autoionizing states of the negative helium ion. «Phys. Lett.», 1976, A55, № 7, 401—402 (англ.)

автоионизационные На основе теории возмущений по межэлектронному взаимодействию вычислены времена жизни и энергии возбуждения автоионизационных состояний отрицательного иона гелия и нейтрального атома лития в конфигурациях $(1s2s^2)$, $(1s2s2p)$ и $(1s2p^2)$. Полученные результаты сравнительно хорошо соответствуют имеющимся эксперим. данным. Библ. 19. З. Б. Рудзикас

Ф 1976 № 4

He

1976

Ne

Ar

Фотописка
заявки

11 Д39. Двойная ионизация инертных газов. II.
Образование ионов при фотонном ударе. Schmidt V.,
Sandner N., Kuntzemüller H., Dhez P.,
Wuilleumier F., Källne E. Double ionization of
rare gases. II. Ion formation by photon impact. «Phys.
Rev. A: Gen. Phys.», 1976, 13, № 5, 1748—1755 (англ.)

В диапазоне энергий фотонов ионизирующего
излучения $E = 70 \div 200$ эв измерены отношения ионных
конц-ий $\frac{\text{He}^{2+}}{\text{He}^+}$, $\frac{\text{Ne}^{2+}}{\text{Ne}^+}$, $\frac{\text{Ar}^{2+}}{\text{Ar}^+}$, при фотоионизации атомов
He, Ne, Ar. В эксперименте использовалось синхро-
тронное излучение и двухрешетчатый монохроматор.

(+2)

10

ф. 1976 № 11

Найдено, что с ростом E от 73 до 200 эв отношение $\frac{\text{Ar}^{2+}}{\text{Ar}^+}$ меняется мало и лежит в пределах $(1,81 \div 2,12) \cdot 10^{-2}$, а отношение $\frac{\text{Ne}^{2+}}{\text{Ne}^+}$ увеличивается от $1,5 \cdot 10^{-2}$ до 0,115. Величина $\frac{\text{He}^{++}}{\text{He}^+}$ от $2,4 \cdot 10^{-2}$ при $E = 100$ эв растет до $4,1 \cdot 10^{-2}$ при $E = 150$ эв. Результаты хорошо согласуются с расчетами. Ч. I см. реф. 11Д59.

Б. Ф. Гордиц